



245 ๑๐ ๘๙/ราชบัณฑิตยสถาน
รายงานการวิจัย

เรื่อง

การศึกษาสมบัติทางเคมีของตะกอนในทะเลสาบอุบลฯ และทะเลสาบลูang =
๑๖

(Study of Chemical Properties of Sediments from Thale Noi and Thale Luang)



โดย

นายสมศักดิ์ มโนพงศ์

นางสาวสุภาพร รักເມື່ອງ

คณะกรรมาธิการธรรมชาติ มหาวิทยาลัยสงขลานครินทร์ วิทยาเขตหาดใหญ่

๒๕๓๑

Order Key	18638
BIB Key	156203

050 ๗๒๒	๑๕ ๒๕๔๑
เลขที่บันทึก	QE 571
เดือนปีที่บันทึก	๕/๒ ๒๕๔๒

บทตัดย่อ

ทะเบียนส่งขลาเป็นแหล่งทรัพยากรป่าไม้ที่สำคัญของประเทศไทย การพัฒนาทางด้านเศรษฐกิจและสังคมรอบ ๆ ทะเบียน ทำให้มีของเสียปริมาณมากถูกพัดพาไปลงสู่ทะเบียน ตั้งนี้ทะเบียนแห่งนี้จึงอยู่ในภาวะเสี่ยงที่จะเกิดปัญหามลภาวะ เช่นด้วยภัยบนทะเบียนหลาย ๆ แห่งทั่วโลก การตรวจสอบและติดตามสภาวะของทะเบียนอย่างต่อเนื่องจึงมีความจำเป็น เพื่อให้สามารถวางแผนหรือมาตรการป้องกันและแก้ไขปัญหาได้ก่อนถึงขั้นที่มีผลกระทบอย่างรุนแรง งานวิจัยนี้เป็นการศึกษาต่อเนื่องจากโครงการพลวัตของระบบน้ำในทะเบียนส่งขลาตอนนอก และโครงการระบบน้ำและการใช้ทรัพยากรชั่วคราว เพื่อให้ได้รับมูลค่าสูงสุดของทะเบียนทั้งระบบ เนื่องจากโครงการทั้งสองได้ทำการศึกษาเฉพาะทะเบียนส่งขลาตอนนอก

ของเสียหลายชนิดเมื่อถูกพัดพาลงสู่แหล่งน้ำจะเกิดการสะสมอยู่ที่ริมฝายน้ำที่ต้องลอดต่อไป การศึกษาต่อเนื่องจึงสามารถใช้เป็นเครื่องชี้บ่งสภาวะการเปลี่ยนแปลงน้ำได้เป็นอย่างดี งานวิจัยนี้ได้เก็บตัวอย่างตระกอนโดยใช้ห่อโลหะไว้ในร่ม กานต์เส้นผ่าศูนย์กลาง 5 เมตรติดต่อกัน นำตัวอย่างตระกอนที่เก็บได้มาตัดแบ่งเป็นห่อ ๆ ละ 10 เมตรติดต่อกัน นำมาอบในเตาอบที่อุณหภูมิ 60°C จนแห้ง บดและร่อนด้วยตะกรองที่มีขนาดช่อง 2 มิลลิเมตร แล้ววิเคราะห์ความเป็นกรดเป็นด่าง อินกริวัตตุ ในโครงการ พอสฟอรัส โพแทสเซียม กำมะถัน เหล็ก แมงกานิส ทองแดง สังกะสี นิกเกิล แคดเมียม และโครเมียม

ผลการวิเคราะห์พบว่า ตระกอนจากต้านทิศเหนือของทะเบียนมีปริมาณอินกริวัตตุสูงตลอดทั่วความสูงที่เก็บตัวอย่าง (ประมาณ 1 เมตร) ในขณะที่ตระกอนจากต้านทิศใต้มีปริมาณอินกริวัตตุลดลงเฉพาะตระกอนชั้นบนเท่านั้น ตระกอนจากทะเบียนอยู่ส่วนใหญ่เมื่อทำให้แห้งพบว่าเป็นกรดจัด ($\text{pH} < 4$) ส่วนตระกอนจากทะเบียนพบว่าเป็นกรดจัดเฉพาะบางบริเวณเท่านั้น และตระกอนชั้นบนมักเป็นกรดมากกว่าตระกอนในชั้นต่ำลงไป ลักษณะการกระจายของในโครงการพบว่ามีความสัมพันธ์กับปริมาณอินกริวัตตุ ตระกอนจากทะเบียนลงด้วยมีมากกว่าตระกอน ทึ่งนี้อาจเนื่องมาจากอิทธิพลของน้ำทะเล เมื่อเปรียบเทียบกับผลกระทบการศึกษาในอดีต พบว่าปริมาณอินกริวัตตุ ในโครงการ พอสฟอรัส โพแทสเซียม และกำมะถัน มีแนวโน้มสูงกว่า

ผลการศึกษาความเข้มข้นของโลหะหนักพบว่าตระกอนจากทะเบียนอยู่ท้องแดง สังกะสี นิกเกิล แคดเมียม และโครเมียม สูงกว่าตระกอนจากทะเบียนลง ลักษณะการสะสมของท้องแดงและสังกะสีพบว่ามีความสัมพันธ์เชิงบวกกับอินกริวัตตุ ระดับความเข้มข้นของโลหะหนักทุกชนิดในการศึกษานี้พบว่าอยู่ในระดับปกติ รังแม้จะมีรายงานการศึกษาในอดีตระบุว่าความเข้มข้นของท้องแดงและแคดเมียมสูงกว่าระดับปกติมาก ตั้งนี้จึงอาจสรุปได้ว่าตระกอนทั้งจากทะเบียนและทะเบียนลงไม่มีการปนเปื้อนของโลหะหนักอย่างมีนัยสำคัญ

สารบัญ

เรื่อง

หน้า

ประวัติความผู้เขียน

บทคัดย่อ

1. บทนำ

1

2. ลักษณะการกระจายของอินเทอร์เน็ต ในโตรเจน พอสฟอรัส

และโพแทลเชี่ยม

คำนำ

10

อุปกรณ์และวิธีการ

11

ผลการวิเคราะห์และวิจารณ์ผล

12

สรุป

28

เอกสารอ้างอิง

29

3. ลักษณะการกระจายของโลหะหนักในตะกอน

คำนำ

31

อุปกรณ์และวิธีการ

32

ผลการวิเคราะห์และวิจารณ์ผล

34

สรุป

58

เอกสารอ้างอิง

59

4. ภาคผนวก

ตาราง พ. 1 ผลการวิเคราะห์ความเป็นการเป็นต่าง อินเทอร์เน็ต ในโตรเจน

พอสฟอรัส และโพแทลเชี่ยม

61

ตาราง พ. 2 ผลการวิเคราะห์เหล็ก แมงกานีส ทองแดง สังกะสี นิกеле

ตะกั่ว แคดเมียม และโคโรเมียม

67

บทที่ ๑

บทนำ

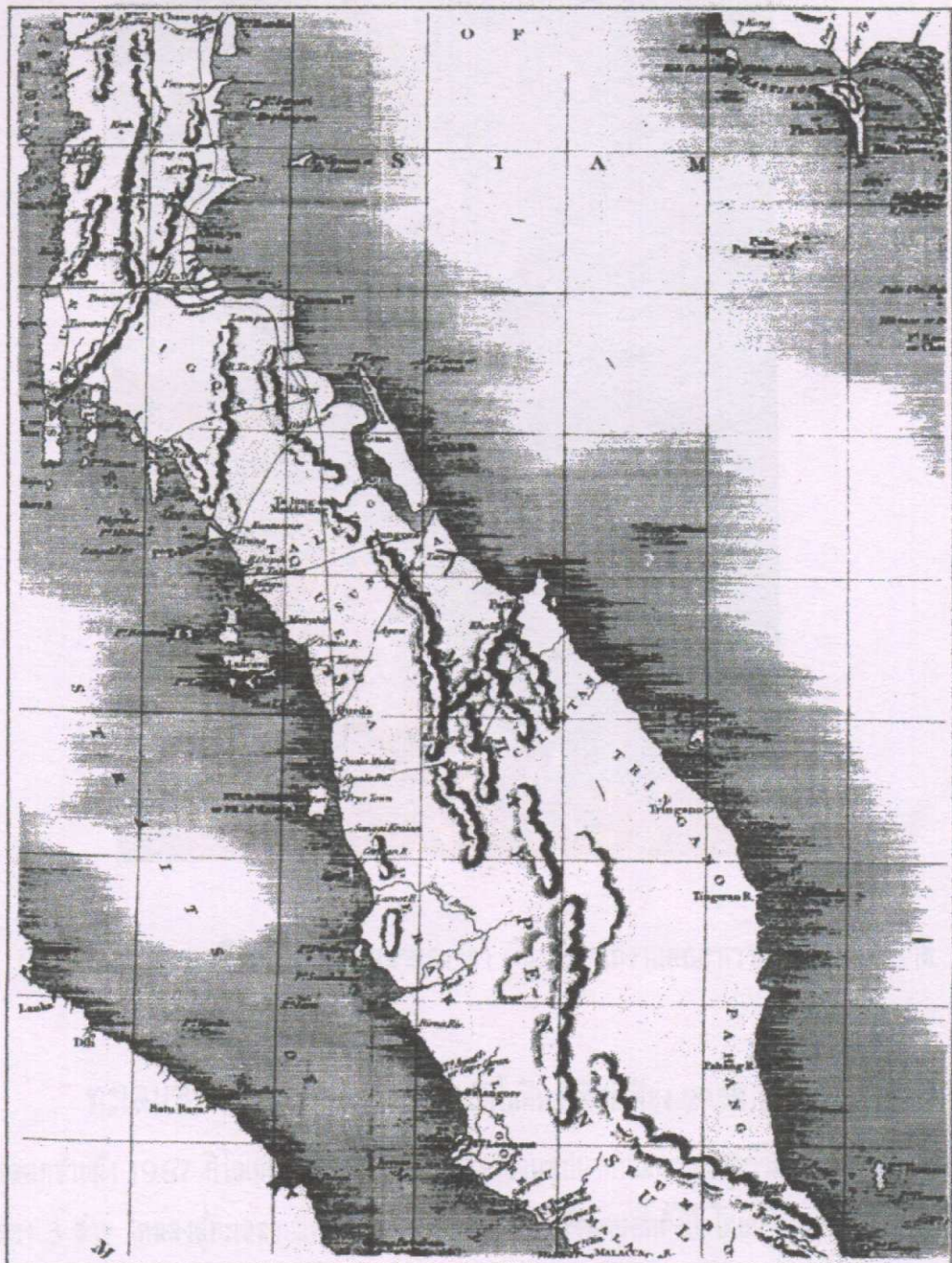
ทะลสานสังขลาไม้ลักษณะเป็นทะลสถาบัน (lagooon) เกิดจากการปิดกั้นของสันกรายนอกชายฝั่ง สันกรายตั้งกล่าวโดยศิริยาจาร อ.ปากพัง จ.นครศรีธรรมราช จนถึง อ.สิงหนคร จ.สังขลา มีอายุไม่น้อยกว่า 5,000 ปี (ที่ว่า ศุภจารย์, 2535; สำนักงานคณะกรรมการวิจัยแห่งชาติ, 2538) การขยายตัวของสันกราย ได้ริเริ่มมาตั้งแต่ ๑ นากราชปั่งทะลเข้าด้วยกัน ประกอบกับการขยายตัวของแผ่นดินและการตื้นฟื้นอย่างรวดเร็ว ทางด้านหน้าของทะลสถาบัน ทำให้ทางออกทะลทางทิศเหนือถูกปิดกัน จากแผนที่โบราณที่ทำขึ้นโดยชาวผู้ร่วมศรัทธา เดอลาลูแบร์ ในปี พ.ศ. 2229 แสดงให้เห็นว่า ทางออกชายฝั่งทะลบริเวณที่ปัจจุบันเป็นเพียงแกะ ๕ เกาะเท่านั้นเอง แต่แผนที่ทำขึ้นโดย John Crawfurd ในปี พ.ศ. 2371 และ Sir John Bowring ในปี พ.ศ. 2400 พบว่าแกะทั้ง ๕ เป็นอุทยานแหล่งเพียงแกะเดียว เริงชัย ทัพสกุล (2535) สันนิษฐานว่าทะลสถาบัน สังขลาฯ จะมีอายุเพียงประมาณ 100 ปีเท่านั้นเอง

ทะลสถาบันสังขลาที่มีลักษณะอย่างบีบีบัน ตั้งอยู่ระหว่างเส้นรุ้งที่ $7^{\circ}08'$ เหนือถึง $7^{\circ}49'$ เหนือ และ ระหว่างเส้นแบงที่ $100^{\circ}07'$ ตะวันออกถึง $100^{\circ}36'$ ตะวันออก มีพื้นที่ทั้งหมด 986.8 ตารางกิโลเมตร ตั้งอยู่ในเขตการปกครองของ แขวง ๓ จังหวัดคือ สังขลา พังงา และนครศรีธรรมราช ทะลสถาบันสังขลาแบ่งเป็น ๓ ตอน คือ ทะลน้อย ทะลสถาบันตอนใน (ทะลสอง) และทะลสถาบันตอนนอก (ทะลสามสังขลา)



Office of the priminister. 1979. Thailand into the 80's. Office of the priministry, Bangkok.

รูปที่ 1-1 แผนที่ประเทศไทยทำขึ้นโดยเดอลาลูแบร์ในปี พ.ศ. 2229 (ตัดลงจากฯ เริ่งขึ้น ต่อสกุล, 2535
มาตรการล้านแตกต่างจากต้นฉบับ)



Crawfurd, J. 1987 (reprint). *Journal of an embassy of the courts of Siam and Cochinchina*.

รูปที่ 1-2 แผนที่ประเทศไทยทำขึ้นโดย John Crawfurd ในปี พ.ศ. 2371 (คัดลอกจาก เว็บไซต์ ต้นสกุล 2535 มาตราส่วนแตกต่างจากที่แนบบัน)



รูปที่ 1-3 ภาพถ่ายดาวเทียมบริเวณทะเลสาบสังขลา (ที่มา สำนักงานคณะกรรมการการจัดซื้อแห่งชาติ, 2538)

ทะเลสาบ เป็นหนองที่อยู่เหนือลุ่มแม่น้ำพันทีน้อยที่สุดเพียง 29.58 ตารางกิโลเมตร ความชาร์ดโดยรอบตลอดชายฝั่ง 19.67 กิโลเมตร ปริมาตรน้ำ 3254 ล้านลูกบาศก์เมตร และความลึกเฉลี่ย 1.1 เมตร มีผ้าจากลักษณะ 3 สาย ไหลลงสู่ทะเลสาบแห่งนี้ น้ำในทะเลสาบเป็นน้ำจืดตลอดทั้งปี โดยมีความเค็มต่ำเพียง 0.3 ppt (Kuwabara, 1995) ในทะเลมีพืชผ้าหลากหลายชนิดที่นับเป็นจำนวนมาก โดยมีความหนาแน่นเฉลี่ยประมาณ 15 กิโลกรัม/ตารางเมตร จากการสำรวจระหว่างเก็บตัวอย่างตะกอนในงานวิจัยนี้ พบว่าพืชผ้าล้วนใหญ่มี 14 ชนิด คือ

- ❖ บัวหลวง (*Nelumbo nucifera* Gaertn.)
- ❖ บัวสาย (*Nymphaea lotus* L.)

- ❖ บ้าผ็น (*N. capensis* Thunb.)
- ❖ บ้าบา (*Nymphoides indica* (L.) O.K.)
- ❖ ผักตบชวา (*Eichhornia crassipes* (Mart) Solms)
- ❖ กก (*Cyperus difformis* Vahl.)
- ❖ กก (*Hanguana malayana* Jock. Merr.)
- ❖ กะจุก (*Lepironia articulata* (R.) Domin)
- ❖ จอกหูลุ (*Salvinia cucullata* Roxb.)
- ❖ หญ้าพองลม (*Hydroryzo aristata* (Retz) Nees)
- ❖ หญ้าใบเสี้ยว (*Paspalum vaginatum* Sw.)
- ❖ สาหร่ายทางการอาง (*Hydrilla verticillata* (L.f) Royle)
- ❖ สาหร่ายข้าวเหนียว (*Utricularia aurea* Lour.)
- ❖ สาหร่ายพุงระโถ (*Ceratophyllum demersum* L.)

พืชน้ำเหล่านี้บางชนิดสามารถใช้เป็นวัสดุในการตักหอยได้เมื่อย่างตี จึงสร้างอาชีพและรายได้ให้แก่ประชาชนในท้องถิ่น บางชนิดมีค่าทางเศรษฐกิจและเป็นแหล่งอาหารของนกน้ำนานาชนิด ทะลุน้อยจึงสามารถใช้ประโยชน์เพื่อการท่องเที่ยวได้อีกด้วย ปลาที่จับได้ในทะเลสาบแห่งนี้ประมาณ 17 ชนิด ตอนหนึ่งของทะลุน้อยเป็นป่าพุด เรียกว่าพุด ความเค็ม

ทะเลสาบตุน ใน (ทะเลหลวง) เป็นทะเลสาบขนาดใหญ่ที่สุด ในมีพื้นที่ 832.93 ตารางกิโลเมตร ความยาวโดยรอบตลอดชายฝั่ง 238.59 กิโลเมตร ปริมาตรน้ำ 1334.03 ล้านลูกบาศก์เมตร ความลึกสูงสุด 26 เมตร และความลึกเฉลี่ย 1.6 เมตร มีน้ำจากลำคลอง 75 สาย ไหลลงสู่ทะเลสาบ น้ำ ความเค็มของน้ำในทะเลสาบนั้นอยู่กับฤดูกาล (ปริมาณน้ำเค็มที่ไหลลงสู่ทะเลสาบ) น้ำในทะเลสาบเป็นน้ำเค็มในช่วงฤดูฝน (ตุลาคม - มกราคม) และมีน้ำทะเลไหลเข้ามาผสมในช่วงฤดูแล้ง ความเค็มเฉลี่ยของน้ำอยู่ระหว่าง 6 - 7 ppt (Kuwabara, 1995) เกษตรการที่ต้องการใช้น้ำเค็มจากทะเลหลวง มีกประสงค์ปัจจุบันในช่วงฤดูแล้ง ซึ่งเป็นช่วงที่น้ำเค็มจากทะเลสาบเนินไปยังต้นน้ำของทะเลสาบ John Taylor & Sons et al. (1985) เดินทางสำรวจการตักหอยของทะเลสาบไว้เพียง 0.3 มิลลิเมตร/ปี ทั่วโลกนี้แค่เดือนกันยาของ Bhongsuwan and Chittarakarn (1997) ที่พบร่องรอยการตักหอยในช่วง 21 - 8.0 มิลลิเมตร/ปี โดยมีอัตราการตักหอยบนบริเวณชายฝั่งตะวันออกสูงกว่าฝั่งตะวันตก

ทະເລສາບຕອນນອກ (ທະເລສາບສົງຂລາ) ເປັນພອນໄມ້ປາກທາງອອກສູ່ກະເລ ພັນທີ 183.49

ตารางໄລໂມຕາ ດາວ່ານາໄຕຍາອບຄວດຢ່າງສິ່ງ 79.94 ກິໂລມົດ ປຶນາກວ່າ 260.67 ລັ້ນລູກນາຄົກໍພົດ ດາວ່ານາໄຕຍາອບຄວດຢ່າງສິ່ງສຸດໃນທະເລສາບ 4.0 ເມຕາ ແລະ ດາວ່ານາໄຕຍາເລື່ອຍໍ 1.4 ເມຕາ ດາວ່ານາໄຕຍາອົງຮ່ວງໜ້າປາກທາງອອກສູ່ກະເລປະມານ 9 ເມຕາ ມິນ້າຈາກສໍາຄລອງ 13 ສ້າຍ ໄທສອງສູ່ກະສາບນີ້ ດາວ່ານາໄຕຍາອົງຮ່ວງໜ້າແປລືຍແປລືຍອໝູ້ໃນໄໝກກ້າງຮ່ວງ 4 - 32 ppt ຂັ້ນອໝູ້ກັບປົມານີ້ເຈີດ ແລະ ອີກີພິລຈາກນີ້ເຈີດນີ້ລັງ (Kuwabara, 1995) ອົດວາກາຖກທະກອນບວງທະເລ ພລາງອໝູ້ໃນໄໝ 5.1 - 6.3 ພິລສີເມຕາ/ປີ (Bhongsuwan and Chittrakarn, 1997) ສັກະນະທະກອນບວງທະເລ ປາກທະເລສາບເປັນຕະກອນແນ້ອຫຍານ ແຕ່ຈະນີ້ເລະເອີຍຕົ້ນເມື່ອທ່າງຈາກປາກທະເລສາບເນົາໄປກາຍໃນ ແວ້ດີ່ນິ້ນຍາສ່ານ ໄທຜູ້ອໝູ້ໃນກຳລຸ່ມ kaolins (ສົມຕັກຕີ ມັນເພິງຕີ ແລະ ທ້າໄຕຕີ ມັກສຸມໄຕ, 2537) ທະເລສາບສົງຂລາຕອນນອກເປັນບວງທະເລ ກາງໃໝ່ແລະ ພັກທ້າຂອງສົດວັນ້າ ບວງທະເລສົດວັນ້າທີ່ລາກທລາຍຂົນຕົກ ຈາກກາສ້າງຈາກ ຕີຣິມອນຕາປົນ (1995) ຮະຫວ່າງປີ พ.ສ. 2534 - 2536 ພບປັລາ 97 ຮິນິດ ຖັນທະເລ 9 ຮິນິດ ປຸກທະເລ 3 ຮິນິດ ແລະ ກົງທຶກແດນ 2 ຮິນິດ ສົດວັນ້າ ສ່ານໃຫຍ່ເປັນສົດວັນ້າກ່ວ່າຍ (50 ຮິນິດ) ວອງສອນມາເປັນສົດວັນ້າເທິ່ນ (47 ຮິນິດ) ສ່ານສົດວັນ້າຈີດພົບເພີຍ 13 ຮິນິດ ອອບ 1 ທະເລສາບຕອນນອກເປັນພື້ນທີ່ມີປະຫຼາກທານແນ່ນ ແລະ ມີໂຮງງານອຸດສໍາຫຼວມດ້າງ 1 ນາກນາຍກຳໄກມີ້ນັ້ນກົງໄທລ ຊົງສູ່ກະເລສາບຕອນນອກເປັນປົມານີ້ມາ ນາງຕີ ໃນ ເບີຍິ່ງໃໝ່ ແລະ ຄະນະ(2530) ເບີຍສ້າງຈາກປົມານີ້ກົງຈາກໂໄງ ຈາກອຸດສໍາຫຼວມໃນແຂດ ອົມອົງສົງຂລາ ແລະ ອ.ຫາດໃຫຍ່ ກົງປລ່ອຍລົງສູ່ກະເລສາບ ພບວ່ານີ້ປົມານີ້ 5123 ກິໂລກວັນ-
BOD/ວັນ ຂໍອຸ່ນຈາກສ້ານັກການອຸດສໍາຫຼວມຈົ່ງຫວັດສົງຂລາ (2538) ຮະບູກ່າມີ້ນັ້ນຈາກໂຮງງານອຸດທະວຸມດ້າງ 1 ປລ່ອຍລົງສູ່ກະເລສາບສົງຂລາຕອນນອກປະມານ 4560 ລູກນາຄົກໍພົດ/ວັນ ທະເລສາບຕອນນອກຈົງລ່ວມທ່ອງການເກີດ ປຶ້ງຫາມລກວາະນາກກ່າວທະເລສາບຕອນນີ້

ຄວາມສໍາຄັນແລະ ຖື່ນາຂອງປົນຫາທີ່ກໍາກາວວິຊີ່

ທະເລສາບສົງຂລາເປັນແຫ່ງທົກພົມການທີ່ມີຄວາມສໍາຄັນຍ່າງຍິ່ງທ່ອງປະການທີ່ກໍາກາວວິຊີ່ອ່ານ 1 ທະເລສາບແທ່ນີ້ ກໍາກາວໃໝ່ໂຍ່ນຈາກທະເລສາບມີທີ່ລາກທລາຍຽບແນບ ເບີຍ ກໍາກາວປະມານ ກໍາກາວເພີຍສົດວັນ້າ ກໍາກາວໃໝ່ເຈີດ ເພື່ອກາລປະການ ກໍາກາວໃໝ່ໂຍ່ນຈາກພົດນີ້ ແລະ ກໍາກາວໃໝ່ໂຍ່ນເພື່ອກາກ່ອງທ່ອງທີ່ຢ່າ ເປັນດັນ ດັນນີ້ຈີນີ້ຄວາມຈຳເປັນ ທົ່ວໂລງຕາມການແປລືຍແປລືຍແລະ ພົມກະບົບດ້າງ 1 ທີ່ອາຈາເກີດກັບກິຈການເຫັນໜີ້ ຮັນທີ່ພົມກະບົບອັນກາງຈະເກີດກັບປະການ ມහາວິທະຍາສົງຂລານຄວິງກ່າວໄດ້ມີບໍ່ທັກຫຍ່າງພາກທີ່ກໍາກາວວິຊີ່ທີ່ເກີນກັບທະເລສາບ ແລະ ໄດ້ຜົດຜລງຈານ ຈົ່ງຂອງການອ່ານຸ່າງທ່ອງແລະ ເປັນຈຳພານນາກ (Limpadananai, 1977; ນາງຕີ ໃນ ເບີຍິ່ງໃໝ່, 2522; John Taylor

๕ Sons et.al., 1985; Angsupapanich and Aruga, 1994) ในระหว่างปี พ.ศ. 2534-2538 คณะกรรมการชุดที่ ๑ของคณะกรรมาการธรรมชาติ มหาวิทยาลัยสงขลานครินทร์ และสถาบันนิรจัจกการเพาะเลี้ยงน้ำชายฝั่ง (NICA) ได้รับทุนสนับสนุนการวิจัยจากสำนักงานคณะกรรมการวิจัยแห่งชาติ (NRCT) และ Japanese Society for the Promotion of Science (JSPS) ให้กำกับจัดทำภาระเบบมิตรช่องทางเลือดสู่สหัสสาสน์ไทย แต่ด้วยข้อจำกัดทางด้านงบประมาณและระยะเวลา โครงการวิจัยดังกล่าวไม่สามารถขยายผลเพียงแค่ช่วงเวลาเดียว ให้ครอบคลุมช่องทางเลือดสู่สหัสสาสน์ได้ (เสาวภา อังสุวนิช และคณะ, 2537; เสาวภา อังสุวนิช และคณะ, 2539; Kuwabara, 1995) คณะผู้วิจัยเห็นว่าการพัฒนาความสมบูรณ์และมีประสิทธิภาพมากขึ้น หากสามารถดำเนินการวิจัยจนได้ร้อยละสี่สิบบูรณาธิการช่องทางเลือดสู่สหัสสาสน์ นอกจากนี้การประเมินของสำรวจก่อผลพิษทางน้ำดังที่จำเป็นต้องติดตาม เป็นระยะ ๆ เพื่อให้ได้ข้อมูลที่สามารถบ่งสภาวะปัจจุบันอยู่เสมอ จึงได้ตัดสินใจดำเนินโครงการวิจัยนี้ ต่อเนื่องจากโครงการที่ได้ดำเนินการไปแล้ว

โครงการวิจัยนี้จัดทำขึ้นเพื่อศึกษาข้อมูลพื้นฐานและข้อมูลรายละเอียด ทางด้านสมบูรณ์และองค์ประกอบทางเคมีของตะกอน แผนงานวิจัยดังกล่าวเสนอไว้โดยมีวัตถุประสงค์เพื่อกำกับจัดทำระเบบฯ 4 ปี โดยมีแผนงานที่เสนอไว้ในคำขอดังนี้

1. เพื่อศึกษาสมบูรณ์และองค์ประกอบทางเคมีของตะกอน ได้แก่ เมืองภูเก็ต แรดิโนนียา อินทีเรีย รัตตุ ราตชีวัมิค ราตพุติ ฟอร์ฟอร์ส กำมะเนิน ในโครงการ ส่วนใหญ่ และให้หนังสือ

2. เพื่อศึกษาลักษณะการกระจายขององค์ประกอบต่าง ๆ ในข้อ 1 ทั้งในแนวราบและแนวลิ่ว รวมทั้งศักยภาพในการเกิดผลกระทบทางน้ำด้วย

เนื่องด้วยปัญหาภัยตุตเติร์มรุกษาของประเทศไทย ทำให้โครงการนี้จำเป็นต้องตัดตอนแผนงานวิจัยลงเหลือเพียง 2 ปี และลดงบประมาณลงเหลือเพียงครึ่งหนึ่งของแผนงบประมาณที่เสนอไว้ทั้งหมด ดังนั้นคณะผู้วิจัยจึงมีความจำเป็นต้องปรับลดแผนงานที่เสนอไว้มาลง ดังนี้

1. ตัดตอนงานวิจัยที่เกี่ยวข้องกับแรดิโนนียาและส่วนที่เกี่ยวกับ ราตชีวัมิค และราตพุติ เนื่องจากต้องใช้ค่าใช้จ่ายในการเดินทางที่สูง

2. ตัดตอนงานวิจัยอินทีเรียทั้งหมดออกบางส่วน คือส่วนที่เกี่ยวกับ ราตชีวัมิค และราตพุติ เนื่องจากไม่สามารถจัดซื้อเครื่องมือวิเคราะห์ได้ทัน (การซื้อไม่ได้เป็นส่วนหนึ่งของงานวิจัยนี้)

เอกสารอ้างอิง

- ที่มา ศุภารักษ์. 2535. สภาพภูมิศาสตร์และการตั้งถิ่นฐานบริเวณเมืองสงขลา. ใน รายงานการสืบมหากาด วิชาการเรื่อง ลังกาศึกษา : ประวัติศาสตร์และโบราณคดีเมืองสงขลา. 27-29 สิงหาคม 2534 ณ สถาบันทักษิณศึกษา จ.สงขลา. หน้า 57-63.
- เงินชัย ตันสกุล. 2535. "ภูมิปัญญาชาวบ้าน" : การปรับเปลี่ยนทางเศรษฐกิจและสังคมรอบทะเลสาบสงขลา. ใน รายงานการสืบมหากาดวิชาการเรื่อง ลังกาศึกษา : ประวัติศาสตร์และโบราณคดีเมืองสงขลา. 27 - 29 สิงหาคม 2534 ณ สถาบันทักษิณศึกษา จ.สงขลา. หน้า 230-241.
- สำนักงานคณะกรรมการวิจัยแห่งชาติ. 2538. รายงานสันฐานประเทศไทยจากหัวข้อภายนอก. ดำเนินการพิมพ์.หน้า 1-70-171.
- สำนักงานอุดสาหกรรมจังหวัดสงขลา. 2538. ทำเนียบโรงงานอุดสาหกรรมจังหวัดสงขลาที่มีผลกระทบ. สำนักงานปลัดกระทรวงอุดสาหกรรม. กระทรวงอุดสาหกรรม.
- สมศักดิ์ มนีพงศ์ และ ชาโตชิ มัตสุโมโต. 2537. ภาพอนุภาคและองค์ประกอบทางแรดินเนียของตะกอนทะเลสาบสงขลาตอนนอก. ว.สังขลานครินทร์. 16:75-82.
- เสาวภา อังสุวนิช, วิเชียร จาภพจน์, อภิญญา กำนัลรัตน์, สมศักดิ์ มนีพงศ์, เจริญ นิติธรรมยง, จราย พะรัตน์, สุภาพร รักเรียว, ไพรัตน์ สุริมนาภรณ์, ประภา ໄสกโนดา, Yushio Matsumoto, Ren Kuwabara, Satoshi Matsumoto, Yukuya Yamaguchi. 2537. รายงานการวิจัยเรื่อง พลังงานระบบมีเดียนในทะเลสาบสงขลาตอนนอก ประเทศไทย. คณะกรรพยาการธรรมชาติ มหาวิทยาลัยสงขลานครินทร์ หาดใหญ่.
- เสาวภา อังสุวนิช, สมศักดิ์ มนีพงศ์, ไพรัตน์ สุริมนาภรณ์, วิจารณ์ มีผล, Ren Kuwabara. 2539. รายงานการวิจัยเรื่อง ระบบมีเดียนและการใช้กรรพยาการทายผึ้ง : การศึกษาเขตท่อเนื่องชายฝั่งทะเลสาบสงขลา ตอนนอกบริเวณคลองพะวงและคลองอุ่ตະเกา. คณะกรรพยาการธรรมชาติ มหาวิทยาลัยสงขลานครินทร์ หาดใหญ่.
- Angsupanich S. and Aruga, Y. ed. 1994. Ecosystem Dynamics of Outer Songkhla Lake, Southern Thailand. NODAI for International Programs, Tokyo University of Agriculture, Tokyo.

- Bhongsuwan, T. and Chitrakarn, T. 1997. Magnetic susceptibility stratigraphy of bottom core-sediments from Songkhla Lake. *Songkhanakarin J. Sci. Technol.*, 19:363-373.
- John Taylor & Sons, Readcon Australia, Asia Engineering Consultants, and Roger Tym & Partners. 1985. Songkhla Lake Basin Planning Study. Final reports, Vol. 6.
- Kuwabara, Ren 1995. Geomorphology and Formation of Lake Songkhla Lagoon System. In: The Coastal Environment and Ecosystem in Southeast : Studies on the Lake Songkhla Lagoon System, Thailand, Kuwabara ed. Faculty of Bio-Industry, Tokyo University of Agriculture.
- Limpadananai, D. 1977. Report on Ecological Impact Evaluation, Songkla Lake Research Project Publication No. 1. Prince of Songkla University.

ลักษณะการกระจายของอินทรีย์วัตถุ ในโตรเจน พอร์ฟอร์ส และโพಡาลเชิ่นม

ตะกอนดิน (sediment) เป็นอนุภาคของเม็ดดินที่แยกออกจากในร่องของแม่น้ำ ซึ่งประกอบมาระบบพื้นที่ดินที่ไม่มีการไหลที่เข้าลง ตะกอนดินอาจมาจากหินของลิ่มภูเขาต่าง ๆ ที่มีอยู่ในผืนดิน หรือจากกระบวนการพัดพาของตะกอนจากบริเวณอื่น ๆ ได้โดย ดังนั้นตะกอนดินเรียกว่าเป็นแหล่งสะสมของสารประกอบ แผลงเรืองร่าดูต่าง ๆ ได้แก่ สารอินทรีย์วัตถุ สารอินทรีย์ค่านอน ชาตุอาหาร และชาตุโลหะหนัก ซึ่งสารประกอบและเรืองร่าดูเหล่านี้จะมีบทบาทต่อสภาวะแวดล้อมและการดำเนินการขุดของลิ่มภูเขาด้วยความพื้นท้องดินที่มีอยู่ในตะกอนดิน นอกจากนี้ยังเป็นตัวที่บ่งบอกถึงความอุดมสมบูรณ์ของแหล่งน้ำและบริเวณพื้นท้องดินได้อีกด้วย

ตะเกลสานส์ชลา เป็นตะเกลสานที่สำคัญและใหญ่ที่สุดในพื้นที่ภาคใต้ของประเทศไทย มีพื้นที่ประมาณ 1,000 ตารางกิโลเมตร มีลักษณะเฉพาะที่แตกต่างไปจากตะเกลสานอื่น ๆ คือ มีทั้งระบบผิวน้ำค้างคั่ง น้ำกร่อย และน้ำเค็ม รวมอยู่ด้วยกัน โดยแบ่งเป็น 3 ส่วน คือตะเกลสานตอนบน (ตะเกลน้อย) มีลักษณะเป็นน้ำเค็ม ตะเกลสานตอนกลาง (ตะเกลกลาง) มีลักษณะเป็นน้ำกร่อย และตะเกลสานตอนล่างหรือตอนลาง มีลักษณะเป็นน้ำเค็มน้ำกร่อย บริเวณตะเกลสานส์ชลาถูกใช้ประโยชน์เพื่อการค้าขาย ทางเดินทางและเดินทาง บริเวณตะเกลสานส์ชลา ตะเกลสานส์ชลา และตะเกลสานตอนลาง มีการตั้งถิ่นฐานบ้านเรือนของบุคคล การทำเกษตรกรรม การประมง และโรงงานอุตสาหกรรม (จังจิตา, 2536) ซึ่งได้ก่อให้เกิดช่องเสียบจำนวนมาก และให้ลงสู่ตะเกลสาน ซึ่งเป็นแหล่งของรับน้ำของบริเวณนั้น และกิจกรรมทางการค้าทางน้ำที่บ้านบริเวณพื้นท้องตะเกลสาน การศึกษาวิจัยเกี่ยวกับน้ำศึกษาและสั่นสะ呼声ของตะเกลสานส์ชลาได้ก่อตั้งมาอย่างต่อเนื่อง เช่น โครงการวิจัยตะเกลสานส์ชลา ปี 2519-2522 (Limpadanan, 1972) การศึกษาพัฒนาดูแลน้ำตะเกลสานส์ชลาปี 2526-2528 (John Toylor and Sons, 1985) การศึกษาผลกระทบของระบบนิเวศในตะเกลสานส์ชลาตอนลาง (Angsupsanich and Aruga, 1994) ซึ่งงานวิจัยล่ามใหญ่เป็นการศึกษาข้อมูลพื้นฐาน และทำการศึกษาตะเกลสานส์ชลาเพียงบางตอน เนื่องจากปัญหา

ข่างประการ เช่น งบประมาณ เกจ้า ห่วงบุคลากร จึงทำให้ข้อมูลทางรายละเอียดทั้งหมดเป็นไปตามที่ต้องการ แต่หากการคิดเห็นของ การศึกษาวิจัยครั้งนี้เป็นการศึกษาการกระชายและการส่องตรวจอินไนท์วีดีโอและชุดอาหาารที่สำคัญในตะกอนดินบริเวณพื้นที่ท้องน้ำทะเลน้อยและทะเลล้วง โดยเปรียบเทียบปริมาณกับตะกอนที่ระดับความลึกต่างๆ กัน ในแต่ละบริเวณ เพื่อประเมินศักยภาพและสถานะของอินไนท์วีดีโอ และชุดอาหารที่จะมีผลกระทบต่อปัจจัยต่างๆ ในระดับผิวดินของทะเลสาบสังขยา และเป็นข้อมูลเพิ่มเติมและต่อเนื่องในการติดตามตรวจสอบลักษณะทางด้านของทะเลสาบสังขยาในสภาวะปัจจุบัน และแผนโน้มการเปลี่ยนแปลงในอนาคต

อุปกรณ์และวิธีการ

การเก็บตัวอย่างและเตรียมตัวอย่าง

ตัวอย่างตะกอนดิน ได้ทำการเก็บในวันเดือนมายา-พฤษภาคม 2541 การเก็บตัวอย่างดินตะกอน ได้เก็บห่างจากฝั่งประมาณ 1 กิโลเมตร เพื่อให้ได้ตัวอย่างที่ไม่ปนเปื้อนจากสารเคมีและรั่วตืดตุ่น ที่อัมกิตจากภัยภัยร้ายดังนั้นมาก่อน โดยใช้ห่อซีลกาวท์ที่มีขนาดเส้นผ่าศูนย์กลาง 5 เซนติเมตร ยาว 150 เซนติเมตร ปักลงไปบนพื้นทะเลสาบ และตีรีบีนมา ตันดินตะกอนที่อุ่น ในท่ออุกามาตีกับตัวอย่างอุ่นเป็นท่อนละ 10 เซนติเมตร ในแต่ละจุดทำการเก็บตัวอย่าง 3 ครั้ง รวมตัวอย่างที่ได้จากการฉีกตีมากันแล้วทั้งกัน เพื่อที่จะเป็นตัวอย่างร่วม (composite sample) เก็บตัวอย่างทึ่งหมอด้วยถุงพลาสติก เพื่อผ่าไปเคราะห์ท่อในห้องปฏิบัติการ ได้ทำการเก็บตัวอย่างดินตะกอนในบริเวณจุดต่างๆ ที่เป็นตัวแทนของทะเลน้อยและทะเลล้วง โดยเก็บตัวอย่างในทะเลน้อยทึ่งหมอด้วยถุงพลาสติก 5 จุด และทะเลล้วงทึ่งหมอด้วยถุงพลาสติก 14 จุด

นำตัวอย่างดินไปอบที่อุณหภูมิ 60°C จนแห้ง จากนั้นตัดตัวอย่างออกเป็นชิ้นๆ ขนาด $2 \times 2 \text{ มิลลิเมตร}$ เก็บตัวอย่างที่แห้งแล้วไว้ในกระป๋องพลาสติกเพื่อการวิเคราะห์ท่อไป

วิธีการ

วิเคราะห์ความเป็นกรดเป็นด่างของตะกอน (pH) : นำตัวอย่างดินที่แห้งมาใส่ในแก้วติมหัวกลิ้นในสัดส่วน 1:25 แล้วนำไปรีด pH ด้วยเครื่อง pH-meter

วิเคราะห์อินไนท์วีดีโอชุดวิชิพา : ใส่ตัวอย่างใน porcelain crucible ขนาด 30 cm^3 ที่ทราบแล้วประมาณ 1/4 ของปริมาตรถ้วย นำไปอบที่อุณหภูมิ 105°C นาน 3 ชั่วโมง จากนั้นนำไปเย็นในโถแก้วตุตความร้อน ชั่วหน้า แล้วนำไปเผาในเตาเผาที่อุณหภูมิ 550°C นาน 2 ชั่วโมง จากนั้นตั้งให้เย็นในโถแก้วตุตความร้อน และชั่วหน้าห้องอุ่น คำนวณปริมาณอินไนท์วีดีโอ จากน้ำหนักที่ลดลงเนื่องจากการเผา

วิเคราะห์อินทรีวัตถุและอินทรีค่าวันด้ามวิธีทำปฏิกิริยา กับการต่อต้าน : รังสีทั่วไปทั่วทิศ 0.5 - 25 กิริย์ ในภาครุปแบบพุ่งนาต 250 มิลลิลิตร เติมสารละลายน 1.0 N $K_2Cr_2O_7$ ลงไป 10 มิลลิลิตร และสารละลายน 1.5 % (W/V) Ag_2SO_4 ในกรด H_2SO_4 เท็มรังสีไป 15 มิลลิลิตร นำไปอุ่นบนหม้อน้ำอุ่นนาน 30 นาที ทิ้งให้เย็น แล้วได้เทราด้วยสารละลายน 0.5 N $FeSO_4$ ($NH_4)_2SO_4 \cdot 6H_2O$ คำหนานเปริมาณอินทรีวัตถุในตัวอย่างจากปริมาณ $K_2Cr_2O_7$ ที่ทำปฏิกิริยาไป โดยอนุมานว่าอินทรีวัตถุประกอบด้วยธาตุค่าวันด้าม 58 %

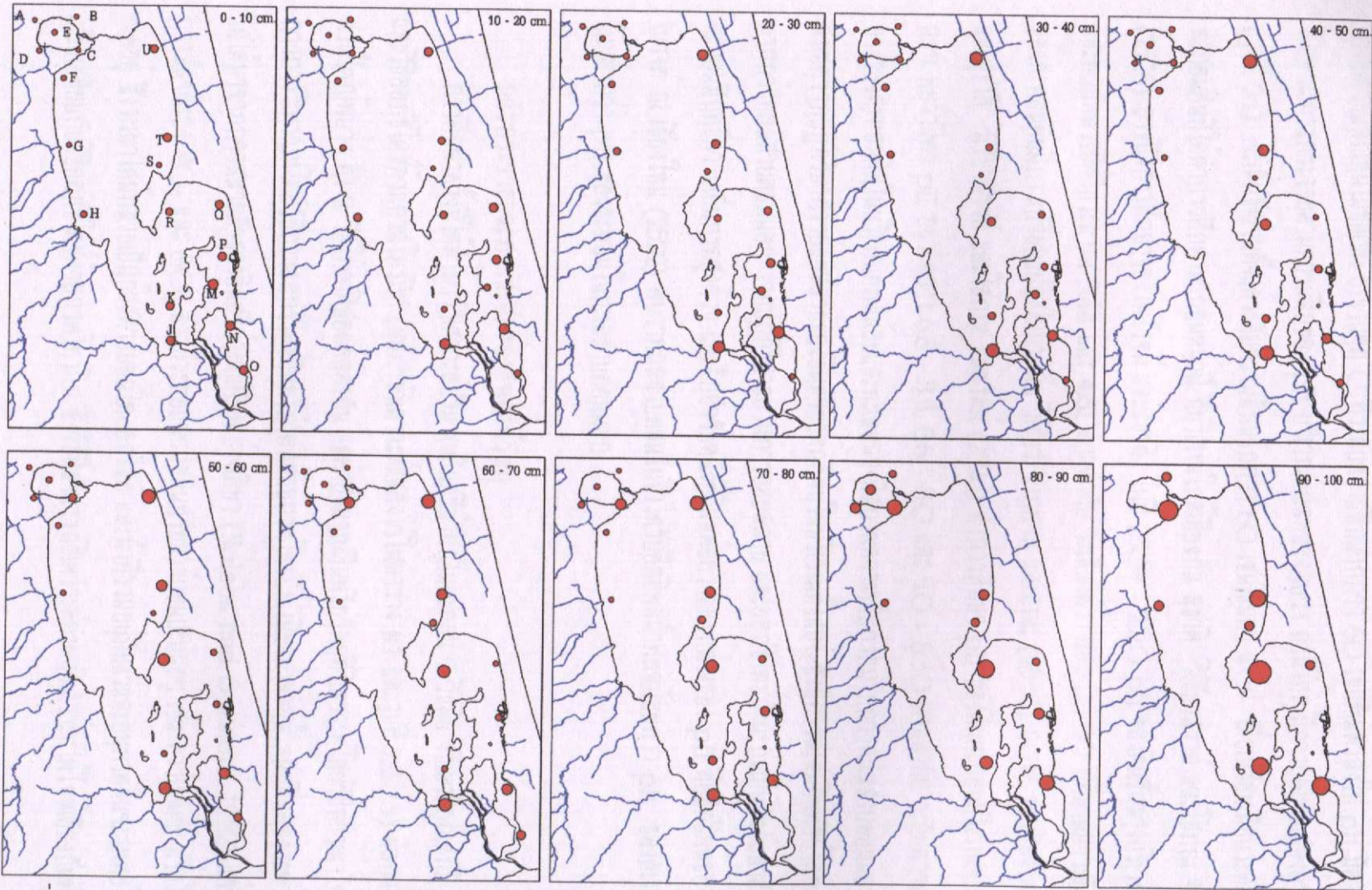
วิเคราะห์ห้าในโดยเจนท์หมอด : สืบทรับการวิเคราะห์ห้าปริมาณของในโดยเจนท์หมอดใช้หลักการของ การสันดาษเมีย (Wet Combustion) ใช้เป็นวิธีการของ Kjeldahl โดยทำ 2 ขั้นตอนคือ ขั้นตอนการย้อม เมื่อขั้นตอนการเปลี่ยนอินทรีวัตถุในโดยเจนท์ให้เป็น $(NH_4)_2SO_4$ ด้วยกรด H_2SO_4 เท็มรังสี โดยใช้สารร่วม $CuSO_4$ ผสมกับ SiC และ K_2SiO_4 และรักษาอุณหภูมิในการสันดาษ เมื่อกาลเปลี่ยน $(NH_4)_2SO_4$ เป็นแก๊ส NH_3 โดย เติม $NaOH$ ลงไปจับแก๊สที่เกิดขึ้นด้วยกรด H_3BO_3 ความเข้มรังสี 3 % ซึ่งเมื่อทำปฏิกิริยาแก๊ส NH_3 แล้ว นำไปเผาเทราด้วยสารละลายนกรด HCl ความเข้มรังสี 0.05 M (สมศักดิ์, 2537)

วิเคราะห์ห้าฟอสฟอรัส โพแทสเซียม และกำมะถัน : โดยทำการย้อมตะกอนดินโดยใช้การผัดสมนในตัวกรอง- เชื่อมต่อวัสดุวิชา ซึ่งจะสกัดธาตุต่าง ๆ ที่มีอยู่ในตะกอนดินของมาอยู่ในรูปสารละลายน แล้วนำมายิ่งห้าปริมาณ ฟอสฟอรัสทั้งหมดโดยใช้วิธีการ Vanado molybdate (สมศักดิ์, 2537) หากปริมาณโพแทสเซียมทั้งหมด โดยวิธี Flame Photometer (สมศักดิ์, 2537) และวิเคราะห์ห้าปริมาณกำมะถันทั้งหมด โดยวิธี Turbidimetry (สมศักดิ์, 2537)

ผลการวิเคราะห์และวิจารณ์ผล

ความเป็นกรดเป็นด่างของตะกอน (pH)

จากการศึกษาความเป็นกรดเป็นด่างของตะกอนในส่วนแพ้ง พบร้า ตะกอนจากหะเหล็กและหะเหล็กแดง มีภาวะ pH อยู่ระหว่าง 3.04 - 7.82 มีค่าเฉลี่ย 4.87 บวิวนะจะเด่นอย่างรับรังสี pH ของตะกอนเกือบทุกๆ ตัวมีค่า ต่ำกว่า 3 ยกเว้นจุด C ที่ระดับความลึกมากกว่า 60 เซนติเมตร หะเหล็กมีภาวะ pH เฉลี่ย 3.72 ซึ่งเป็น สภาพที่เป็นกรดจัดมาก ส่วนตะกอนจากหะเหล็กแดงส่วนใหญ่จะเป็นสภาพเป็นกรดจัดถึงจัดมาก pH ต่ำกว่า 5 ยกเว้นจุด K N และ U น่าจะเป็นผลจากการการสะสมของปริมาณของกำมะถัน จากการศึกษาครั้นนี้พบว่า ปริมาณ กำมะถันมีค่าเฉลี่ยประมาณ 12.996 mg-%/kg ซึ่งการอกรากได้กำมะถันเพิ่มกิจกรรมของตัวทำให้ pH ของตัวทำ



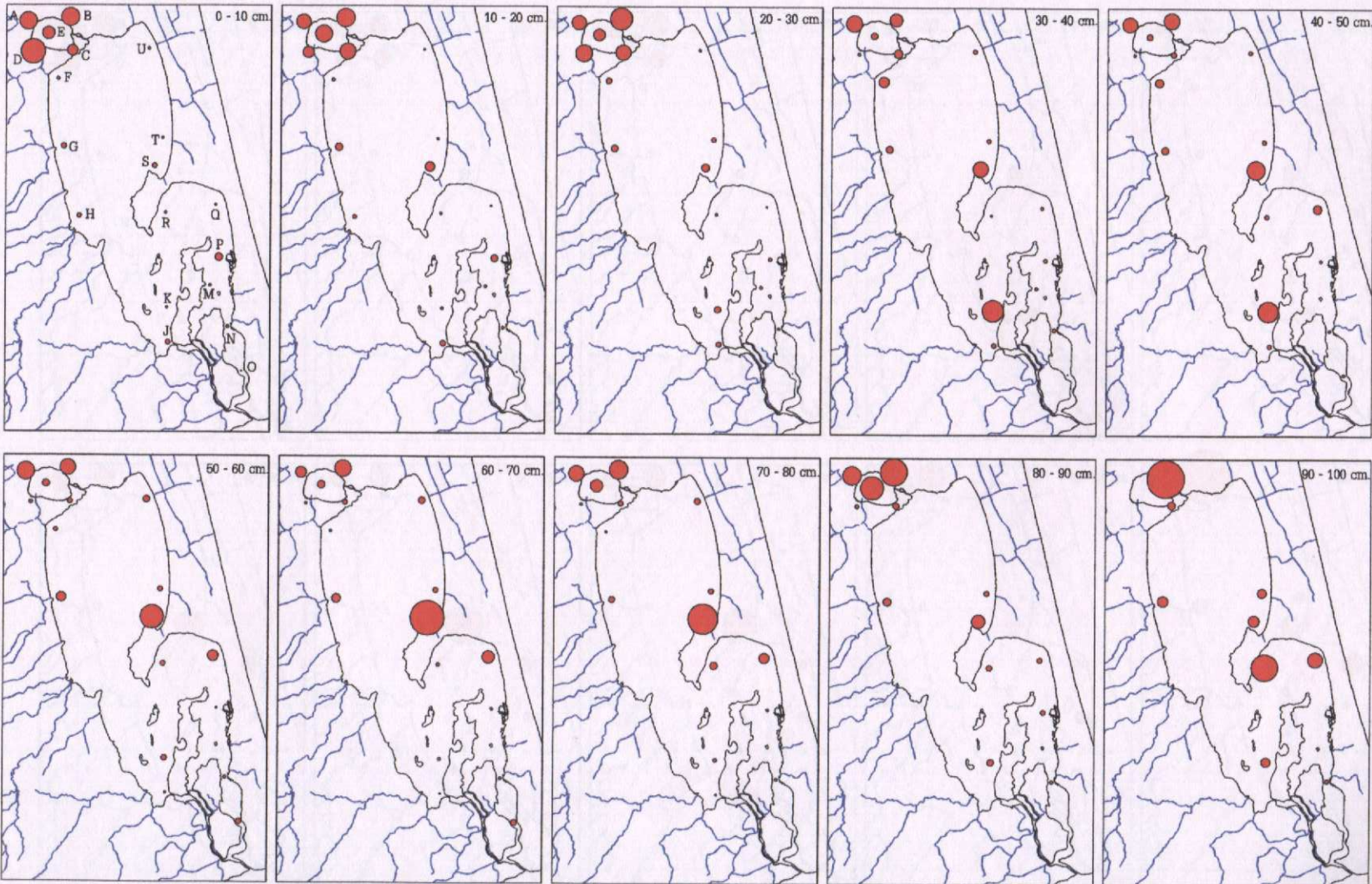
ภาพที่ 2.1 ลักษณะความเป็นกรดเป็นด่างของดินต่างกันบริเวณทรายเลน้อยและทรายเลหดวงที่ระดับความลึกต่างๆ

● : ค่าความเป็นกรดเป็นด่าง

figura 4 (McLean, 1982) ลักษณะการกระจายความถี่ในการเปลี่ยนแปลงของ pH ตามระดับความถี่ที่ไม่มีรัตเจน ยกเว้นจุด C ที่ระดับความถี่มากกว่า 60 เซ็นติเมตรลงไป pH มีค่ามากกว่า 6 ลักษณะการกระจายความถี่ของ pH บริเวณที่หลังพบร้า ล้วนใหญ่เมื่อการเปลี่ยนแปลงความถี่ (รูปที่ 21) จะเห็นว่าตัวเลขที่ตัวบ่งความถี่มากกว่า 60 เซ็นติเมตร ลงไป เมื่อเปรียบเทียบระดับ pH ของตัวอนตินได้ทำการศึกษามาก่อนหน้านี้ที่บริเวณใกล้เชียงกัน สุราษฎร์ วิเชียรบรรรค์ และโสภณ จันทร์รัตน์ (2526) ข้างต้นการศึกษาของไฟโตราน์ และสุราษฎร์ ในปี 2509 - 2510 pH ของตินน์ถ่างบริเวณที่เปลี่ยนอยู่และทะเลขลงมีค่าประมาณ 3.44 และ 4.81 ตามลำดับ จะเห็นได้ว่าระหว่างเวลา 30 นาทีผ่านมาจะตัวของ pH ของตัวอนตินมีการเปลี่ยนแปลงไม่มากนัก วิเชียร ชาญพานิช และคณะ (2537) นรนท. ณ นเรศร์ ใหม่ (2522) และสุราษฎร์ วิเชียรบรรรค์ และโสภณ จันทร์รัตน์ (2526) ทำการศึกษา pH ของตัวอนตินบริเวณที่หลังสานตตอน พบร้า มีค่า pH อยู่ระหว่าง 6.8 - 8.3, 6.6 - 8.0 และ 5.0 - 8.30 ตามลำดับ ระดับความเป็นกรดเป็นด่างของตัวอนตินในบริเวณที่เปลี่ยนอยู่และทะเลขลงมีสภาพความเป็นกรดมากกว่าทะเลขสานตตอนมาก อาจจะเป็นสาเหตุจากปฏิกิริยาการย่อยสลายของอินทรีย์ตากที่พบในบริเวณที่ส่อง ซึ่งมีการสะสมอินทรีย์ตากและกำมะถันมากกว่าทะเลขสานตตอนมาก จากปฏิกิริยาบนการย่อยสลาย และอาจนำไปได้ก่อให้เกิดภาวะถังเป็นปัจจัยสำคัญทำให้ตัวอนตินมีถูกต้องความเป็นกรดสูงด้วย และอีกปัจจัยหนึ่งที่มีผลต่อความแตกต่างของ pH คืออิทธิพลของน้ำทะเลข นรนท. ณ นเรศร์ ใหม่ (2522) พบว่าทะเลขสานตตอนในที่ได้รับอิทธิพลน้ำทะเลขด้อยกว่า pH ของตัวอนตินมาก โน้มตัวกว่า pH ของตัวอนตินในทะเลขสานตตอนมาก

การกระจายและการสะสมของอินทรีย์ตาก

การศึกษาครั้งนี้ได้ทำการวิเคราะห์บินามอินทรีย์ตากในตัวอนติน 2 วัสดุ วัสดุเพาท์อุณหภูมิ 550 °C และวัสดุอิฐได้ทั้งการต่อริมิก (ผลการวิเคราะห์แสดงไว้ในตาราง ผ.1 และรูปที่ 22-23) ผลการวิเคราะห์ส่วนใหญ่พบว่า ทั้ง 2 วัสดุให้ค่าที่สอดคล้องกัน แต่ค่าบินามอินทรีย์ตากที่เคราะห์โดยวิธีการเผาไหม้มีค่าสูงกว่าวิเคราะห์โดยวิธีการออกอิฐได้อินทรีย์ตากด้วยการต่อริมิก เนื่องมาจากผ้าหนังที่ลอดลงระหว่างการเผาไฟได้มาจากการสลายตัวของอินทรีย์ตากเพียงอย่างเดียว (Nelson and Sommers, 1982) แท้ทั้งเกิดจากการสลายของ NO₂ และ SO₂ สารประกายพากอนินทรีย์ที่รับอนเป็นอยู่ เช่น ควันบุหรี่ หรือไปควันบุหรี่ เนื่องจากอุณหภูมิ ซึ่งจะเพาท์อิฐก็สามารถเป็นก้าวควบคู่กันได้ด้วย และผ้าที่รวมอยู่กับแนวระดับดินจะระเหยไปด้วย เมื่อเปรียบเทียบกับวัสดุอิฐได้ทั้งการต่อริมิก ซึ่งวัสดุสามารถวิเคราะห์ทำผลวิเคราะห์ได้ใกล้เคียงกันตลอดเวลา



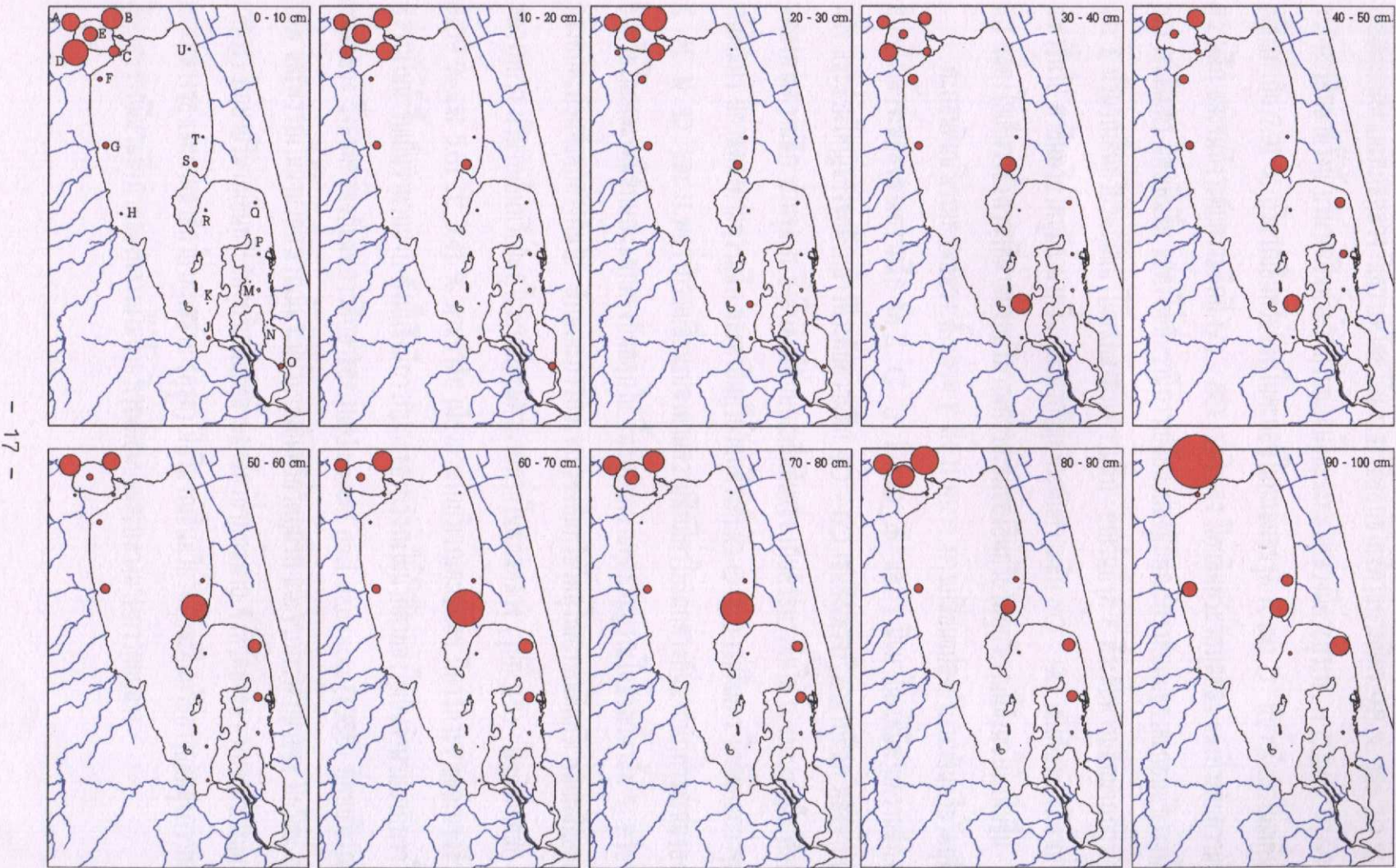
ภาพที่ 2.2 การกระจายของอันทรีย์วัตถุในดินตามกอนบริเวณทะเลน้อยและทะเลหลวง (วิเคราะห์โดยวิธีเพา) ที่ระดับความลึกต่างๆ

● : ปริมาณอันทรีย์วัตถุ



ภาพที่ 2.3 การกระจายของอินทรีย์วัตถุในดินตะกอนบริเวณทaleน้ำอยและทะเลลวง (วิเคราะห์ด้วยวิธีออกซิไดซ์กับการดีโครมิก) ที่ระดับความลึกต่างๆ

● : ปริมาณอินทรีย์วัตถุ



ภาพที่ 2.4 การกระจายของอินทรีย์คาร์บอนของดินตามบริเวณทางเลน้อยและทางเลหดวงที่ระดับความลึกต่างๆ

● : ปริมาณอินทรีย์คาร์บอน

ดังนั้นจึงใช้ค่าที่ได้จากการวิเคราะห์ตัวแปรนี้ในการเปรียบเทียบผล ปริมาณเฉลี่ยของอินกรีดิวตี้ในตะกอนบริเวณทะเลน้อยและทะเลกลาง วิเคราะห์โดยวิธีANOVA ได้ค่าที่ทางการมิค่า 9.8 % และ 7.9 % ตามลำดับ จากการศึกษาครั้งนี้ ปริมาณอินกรีดิวตี้ในทะเลน้อยและทะเลกลางมีค่าอยู่ระหว่าง 0.24 - 37.69 % และค่าเฉลี่ยเท่ากับ 7.91 % ปริมาณอินกรีดิวตี้ในตะกอนในทะเลน้อยจุด A และ B พบร่วมแนวโน้มเพิ่มขึ้นตามความลึก และจะนิ่งระดับความลึกที่ 60 - 80 เมตรมีค่าอินกรีดิวตี้ลดลง และที่ระดับความลึกมากกว่า 80 เมตรมีค่าเพิ่มขึ้น แสดงให้เห็นว่ามีการเปลี่ยนแปลงสักษณะการทับถมของตะกอนบริเวณนี้ จุด C, D และ E ปริมาณอินกรีดิวตี้ต่ำมีแนวโน้มลดลงตามความลึก ยกเว้นที่จุด E ที่ระดับความลึกมากกว่า 70 เมตร มีค่าเพิ่มขึ้นไป ค่าอินกรีดิวตี้มีค่ามากขึ้น และมากที่สุดที่ระดับความลึก 80 - 90 เมตร (มีค่าเท่ากับ 22.34 %) แสดงให้เห็นว่าช่วงเวลาที่ผ่านมาการเปลี่ยนแปลงของอินกรีดิวตี้บริเวณนี้มีแนวโน้มเพิ่มขึ้น

ตะกอนดินบริเวณทะเลกลาง ตั้งแต่จุด F ถึง U พบร่วม การเปลี่ยนแปลงปริมาณอินกรีดิวตี้ที่ระดับความลึกนี้แล้วจะลดลงตามความลึก จุด E, G, J, P, Q, T และ U มีแนวโน้มเพิ่มตามความลึกจนนิ่งระดับหนึ่ง และส่วนใหญ่ของจุดตั้งกล่าวที่ระดับความลึก 40 - 60 เมตรมีค่ามากที่สุด หลังจากนั้นมีแนวโน้มลดลงตามความลึก ส่วนจุด H ซึ่งพื้นดินมีสักษณะเป็นดินแข็ง เก็บตัวอย่างติดได้ 2 ระดับเท่านั้น คือชั้น O-20 เมตร มีค่าลดลงตามความลึก และค่าอินกรีดิวตี้ที่ระดับผิว O-10 เมตร มีค่าน้อยกว่าจุดอื่น ๆ จุด K, M, N, R และ U พบร่วมการเปลี่ยนแปลงตามความลึกมีค่าไม่แตกต่างกันมากผู้ทำการสำรวจอ้างว่าในแต่ละจุดมีสักษณะแตกต่างกันออกไป ซึ่งอยู่กับความอุดมสมบูรณ์ในช่วงเวลาหนึ่ง ๆ ที่อาจมาจากกระบวนการทัดตะกอนที่แตกต่างกันไป สักษณะการกระจายของอินกรีดิวตี้ในตะกอนดินบริเวณทะเลน้อยและทะเลพบร่วม ปริมาณอินกรีดิวตี้ในทะเลน้อยมีค่ามากกว่าในทะเลกลาง (รูปที่ 23) โดยมีค่าเฉลี่ย $13.57 \pm 8.09\%$ และ $5.61 \pm 3.41\%$ ตามลำดับ เนื่องมาจากการทะเลน้อย มีการกระจาดและมาลีร้าภายในพื้นที่เป็นจำนวนมาก ตั้งนี้จึงมีการทับถมของพื้นที่ที่ดายลงไปเป็นจำนวนมากกว่าในบริเวณทะเลกลาง ซึ่งสอดคล้องกับผลการศึกษาของ Hakkanson and Jonasson (1983) ที่พบบริเวณที่มีมาลีร้าภายในพื้นที่ไม่มากบริเวณนั้นจะมีปริมาณอินกรีดิวตี้มาก และจากการศึกษาของ ปิยะรัตน์ อุการสวัสดิ์ (2531) ศึกษาปริมาณอินกรีดิวตี้บริเวณเขตห้ามล่าสัตว์ป่าทะเลสาบ จังหวัดสงขลา พบร่วมบริเวณตอนบนและตอนกลางของเขตห้ามล่าสัตว์ป่าทะเลสาบ (คุกคุก) มีปริมาณอินกรีดิวตี้และอินกรีดิวตี้ค่อนข้างสูงกว่าตอนล่าง เนื่องมาจากการมีมาลีร้าภายในพื้นที่บริเวณตอนบนและกลางมากกว่าตอนล่าง

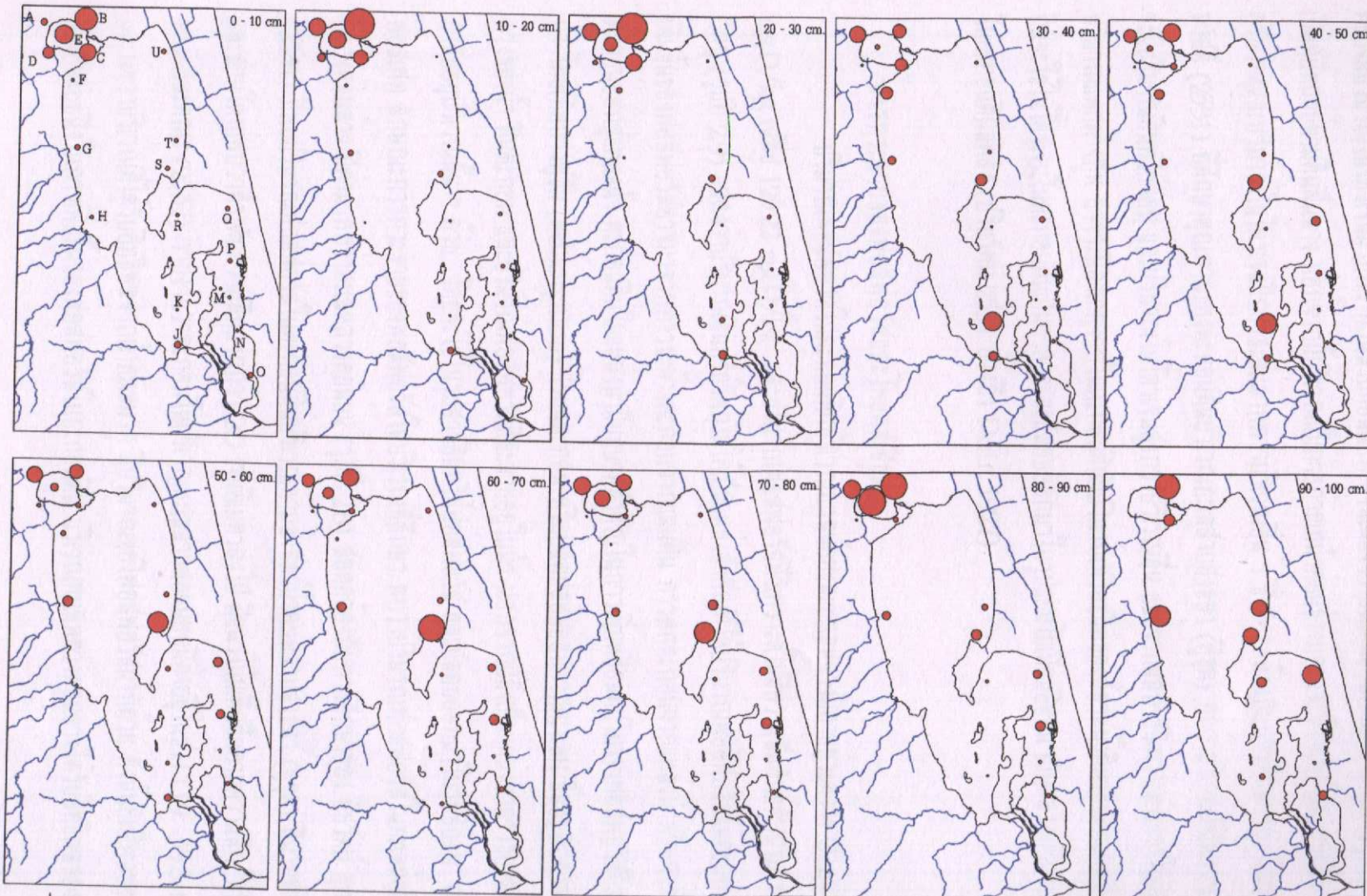
เมื่อเปรียบเทียบการเปลี่ยนแปลงของอินกริย์วัตถุในยะล่อน้อย และยะเหลืองที่ผ่านมา ยะล่อน้อยและยะเหลืองอนใน ในปี 2509- 2510 (สุรัติ และโภสกhan, 2526) จังหวัดการศึกษาของไฟโรจน์ และสุรัติ (2509-2510) พบว่า ปริมาณอินกริย์วัตถุเฉลี่ย 213 % แพร้าพารวน แสงสกุล (2528) ได้ศึกษาในบริเวณยะเหลืองช่วง พ.ศ. 2527 - 2528 พบว่ามีอินกริย์ค่ารับอนแพล็ช 0.63 - 2.65 % ใน การศึกษาครั้งนี้ปริมาณอินกริย์วัตถุและอินกริย์ค่ารับอนมีค่าเฉลี่ย 7.91 % และ 4.59 % แสดงให้เห็นว่าในช่วงระยะเวลาประมาณ 10 - 30 ปี ปริมาณอินกริย์มีการเพิ่มขึ้นอย่างมีนัยสำคัญ นั้นคือมีอัตราการลดทับมากของอินกริย์ในตะกอนดินเพิ่มขึ้น ซึ่งสอดคล้องกับการศึกษา การล้างเกตที่ผ่านมาพบว่ายะเหลืองล่างราดได้ดีและเป็นอันมาก โดยเฉพาะบริเวณช่าย ฝั่งในส่วนที่อยู่ในเขตยะล่อน้อยและยะเหลือง ทำให้เกิดเป็นสันดอนท่องร่อง (เสาวภาค, 2537)

จากการรายงานการศึกษาของวิชัย จาจุพจน์ และคณะ (2532) นเรศวร ณ รังษีพัน (2522) ศึกษาบริเวณยะเหลืองอน sola ปริมาณอินกริย์วัตถุอยู่ในช่วง 0.28 - 2.28% และ 0.82 - 1.30% ตามลำดับ การเปลี่ยนแปลงตามระยะเวลาที่ผ่านมาไม่มีอย่างมาก เนื่องจากบริเวณยะเหลืองอนนอกจากมีการไหลลงแล้วและของดินที่อยู่ในยะเหลืองโดยอิทธิพลของหินทรายน้ำ ดังนั้นจึงเป็นไปได้ว่าอินกริย์สารที่แขวนลอยอยู่ในหินทรายพัดพาอย่างสูงจะเลี้ยงด้วยแรงน้ำ ทำให้ไม่เกิดการสะสมในยะเหลือง ซึ่งตรงกันข้ามกับบริเวณยะล่อน้อย และยะเหลือง อิทธิพลของหินทรายน้ำล้วนท่อการไหลลงและของดินที่ถูกหล่อลงมา ฉะนั้นการระบายน้ำค่อนข้างมีน้อยและน้ำมีลักษณะน้ำใส ดังนั้นอินกริย์วัตถุจึงมีแนวโน้มการสะสมเพิ่มขึ้น

การกระจายของในโครงการทั้งหมด

ผลการวิเคราะห์ปริมาณในโครงการทั้งหมดในตะกอน (ตาราง ๔.๑)พบว่ามีค่าอยู่ระหว่าง 0.02-0.69% มีค่าเฉลี่ย 0.12% มีความล้มเหลวของอินกริย์วัตถุ (รูป 29) นั้นแสดงว่า อินกริย์วัตถุในตะกอนดินจะเป็นแหล่งที่ให้ชาติในโครงการในตะกอนดิน อินกริย์วัตถุในตะกอนจะมีสารประภูมิในโครงการอยู่ประมาณ 10-15% (Schananitzer, 1984) ตะกอนจะเป็นแหล่งสะสมสารอาหารต่าง ๆ ที่สำคัญเมื่อเข้าสู่กระบวนการย่อยสลายอินกริย์วัตถุจะปลดปล่อยสารอาหารออกมานิรูปนิยมในโครงการ ฟอร์ฟอร์ส เป็นต้น (Balzer, 1984 และ Blackburn and Herken, 1983) ซึ่งจะมีความสำคัญต่อการเจริญเติบโตของพืชน้ำ และเพลงที่อยู่อาศัย

จากการศึกษาการกระจายของในโครงการในตะกอนดิน (รูป 25) พบว่าแนวโน้มการเปลี่ยนแปลงมีลักษณะเป็นตีนากับอินกริย์วัตถุ ปริมาณในโครงการบริเวณยะล่อน้อย (เฉลี่ยประมาณ 0.21 %) มีค่าสูงกว่า บริเวณยะเหลือง (เฉลี่ยประมาณ 0.09%) และเมื่อเปรียบเทียบกับปริมาณในโครงการในตะกอนดินบริเวณยะ



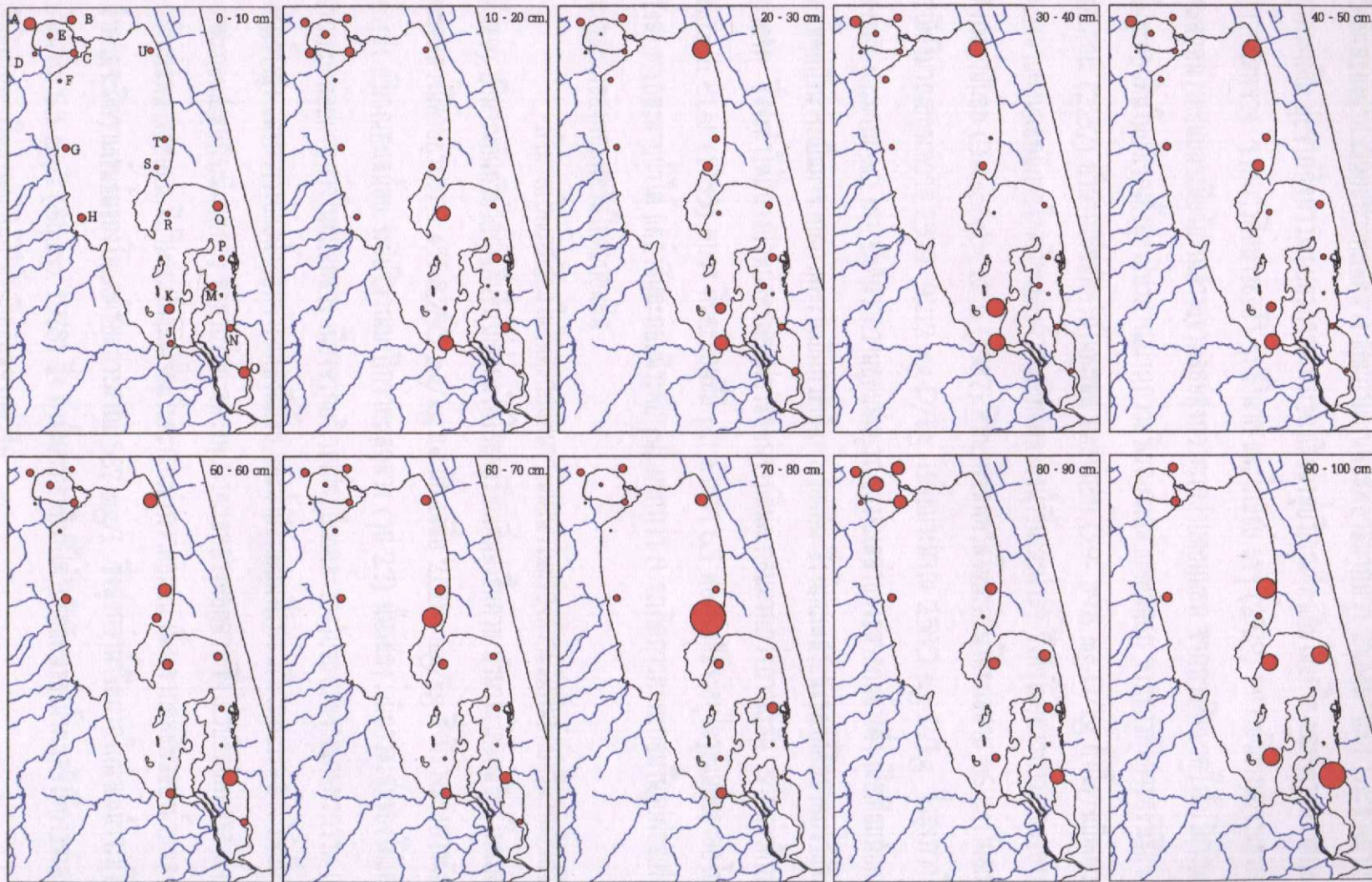
ภาพที่ 2.5 ลักษณะการกระจายของในโตรเจนทั้งหมดในดินตะกอนบริเวณท่าเรืออยและทะเลหลวงที่ระดับความลึกต่างๆ

● : ปริมาณในโตรเจนทั้งหมด

สำบสานอก จากการศึกษาของวิชีชรา จาภพน์ (2537) ที่มีค่าเฉลี่ย 0.07% จะพบผ้าทรายน้อยและตะไคร้ทรายมีปริมาณในโครงการมากกว่าหกต่อบาทยาน ทั้งนี้เนื่องจากตะไคร้ทรายมีพิษพิรารณ์ไม่น้ำอุ่นจานวนมากและเกิดปฏิกิริยาอุ่นตามดินเพลิง นอกจากนี้บริเวณผื้นทรายเท่านั้นคือหางน้อยและน้ำจะอุ่นในสภาพนึง ทำให้อันตรายต่อต้นไม้และปริมาณในโครงการมีการสะสมมากกว่าบริเวณอื่น ๆ ที่สอดคล้องกับการศึกษาของ ปีร์ต์ อุกรัสลต์ (2531) ที่ศึกษาคุณภาพของตะกอนดินบริเวณทะเลสาบสงขลา (ศูนย์) พบว่าบริเวณที่มีพิรารณ์ไม่น้ำมากจะมีปริมาณอินทรีย์ต่ำ และปริมาณในโครงการสูงกว่าบริเวณอื่น และจากการวิเคราะห์พบว่าในแต่ละจุดมีปริมาณแตกต่างกัน อาจจะมีสาเหตุจากในตะกอนดินมีปริมาณหินอ่อนมากซึ่งส่วนใหญ่เป็นหินแกรนิตและหินอ่อนที่น้ำใส่ในโครงการในตะกอนดินเป็นอาหารและปล่อยออกมาในรูปแบบโนเนียมอ่อน เป็นผลให้ปริมาณในโครงการในตะกอนดินลดลง (ปีร์ต์ 2531 ชั้งปีง Petr, 1927)

การกระจายของฟอร์สและโพแทสเซียม

ปริมาณฟอร์สในตะกอนดินบริเวณทะเลสาบน้อยและทะเลสาบทามที่คำอุ่นห่าง 2262 - 721.08 mg P/kg เฉลี่ย 125.22 mg P/kg และปริมาณฟอร์สที่เคราะห์ไม่มีความสมบัติบ่อมีปริมาณอินทรีย์ต่ำ (รูปที่ 29) แสดงว่าปริมาณอินทรีย์ต่ำไม่ได้เป็นแหล่งสำคัญที่ให้ปริมาณฟอร์สในตะกอนดิน การเพิ่มน้ำของฟอร์สอาจมาจากกระบวนการหลังตะกอนจากแพนดิน การตกตะกอนจากแหล่งน้ำหรือการละลายจากตะกอนออกสู่แหล่งน้ำ ตะกอนดินในแหล่งน้ำมีบทบาทสำคัญในการเพิ่มหรือลดปริมาณฟอร์สที่ละลายอยู่ในน้ำ โดยเกิดการดูดซึม (adsorption) ไว้บนตะกอน หรือปลดปล่อยออกจากการตกตะกอน ซึ่งอุ่นกับความเป็นกรดต่างของน้ำ ดินตะกอน และปริมาณฟอร์สที่ละลายอยู่ในน้ำ นอกจากนี้ยังเป็นแหล่งอาหารของสัตว์หันดินที่อาศัยอยู่บริเวณนั้น ๆ ด้วย โดยจะใส่ในรูปสารอินทรีย์ฟอร์ส และปล่อยออกมาในรูปอ่อน เช่น อ่อน-ฟอสเฟต ลักษณะการกระจายของฟอร์สในบริเวณที่ศึกษา พบว่าปริมาณฟอร์สในทะเลสาบ และทะเลสาบทอนล่า มีค่ามากกว่าทะเลสาบทอนบน (รูปที่ 26) สอดคล้องกับการศึกษาของ ปีร์ต์ อุกรัสลต์ (2531) ที่พบปริมาณฟอร์สในตะกอนดินบริเวณหัวแม่ล่าสัตว์ป่าทะเลสาบสงขลา (ศูนย์) มีมากทางตอนล่าง และส่วนใหญ่พบว่าทิ่งดับความลึกมากกว่า 20 เซนติเมตรลงไป มีแนวโน้มเพิ่มขึ้นตามความลึก วิเชชรา จาภพน์ และคณะ (2537) รายงานว่าตะกอนในบริเวณทะเลสาบต่อบาทยานมีค่าอุ่นในห่าง 0.9 - 39.8 mg P/kg และพบว่าบริเวณที่ได้รับอิทธิพลจากผ้าทรายมาก มีปริมาณอินทรีย์ฟอร์สมากกว่า ด้วย ทั้งนี้เนื่องจากอิทธิพลของผ้าทรายจะเป็นปัจจัยหนึ่งในการเพิ่มน้ำของฟอร์สในตะกอนดิน บริเวณทะเลสาบทอนล่างได้รับอิทธิพลของผ้าทรายมาก

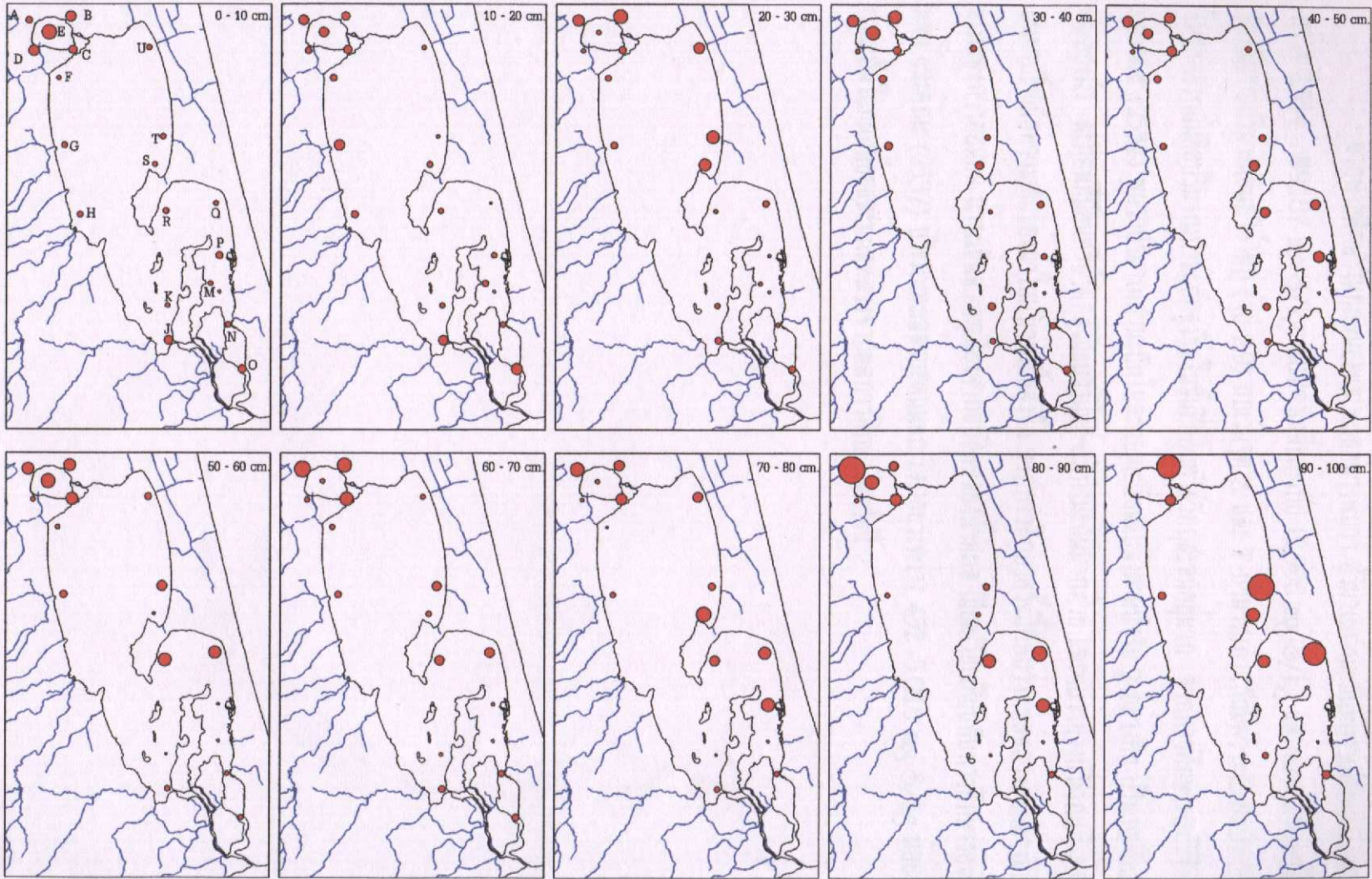


ภาพที่ 2.6 ลักษณะการกระจายของฟอสฟอรัสในดินตามกอนบริเวณที่เลน้อยและที่เลทางที่ระดับความลึกต่างๆ

● : ปริมาณฟอสฟอรัส

การตอบสนอง ตั้งนี้หมายความว่าเป็นสาเหตุหนึ่งที่ทำให้มีปริมาณฟอสฟอรัสมากกว่า สาหรับต่อจากหงส์เมืองอย่างไร่ได้รับ อิทธิพลของน้ำทะเลอย่างกว่าทะเลล้วง แม้เมื่อไม่มีฟอสฟอรัสมากกว่า สาเหตุนี้จะมีการระล้างปริมาณต่อจาก หาดแต่เดิน ปูชากิจกรรมเกษตรกรรม และของเสียลงสู่บัวเรือนนี้คงเดิมไม่แก้ไข และอัตราการตกต่อจากแมก้า กว่าทะเลล้วง จากการศึกษาของลิวี ทุกเชิง面 และไกรซ์ช์ แร่จู (2529) พบว่าปริมาณสารแขวนลอยใน ทะเลล้วงต่อนบนจะมีปริมาณสารแขวนลอยสูงกว่าทะเลล้วงต่อจาก จากการศึกษาครั้งนี้ปริมาณฟอสฟอรัส ในต่อจากนิดน์ในบริเวณที่ล่องมีปริมาณมากกว่าบริเวณทะเลล้วงต่อจาก จากการศึกษาของวิชัยฯ จากรพน์ แหล่งค่านะ (2537) ปริมาณฟอสฟอรัสในทะเลล้วงต่อจาก 0.9- 39.8 mg-D/kg ที่นี่อาจเป็นพาระบัวเรือน ทะเลล้วงต่อจากมีการไหลเวียนของน้ำตามอิทธิพลของน้ำเขื่อนและน้ำลง ซึ่งทำให้อัตราการสั่งสมของฟอสฟอรัส ตั้งกล้ามเนื้ออย Oeschrofsky, M. L. (1987) ศึกษาฟอสฟอรัสในต่อจากในทะเลล้วง 66 แห่ง ในอเมริกา พบ ว่ามีปริมาณอยู่ระหว่าง 1,329- 9,212 mg-D/kg เฉลี่ยประมาณ 2,580 mg-D/kg ซึ่งสูงกว่าในทะเลล้วง ตั้งกล้า ประมาณ 20 เท่า จะเห็นได้ว่าความอุดมสมบูรณ์ของทะเลล้วงตั้งกล้าค่อนข้างต่ำ เมื่อเทียบกับทะเลล้วงที่อื่น สาเหตุหนึ่งน่าจะเป็นมาจากการความเป็นกรดเป็นด่างของดิน ซึ่งในทะเลล้วงตั้งกล้าที่ศึกษาพบว่ามีสภาพเป็น กรดจัด ซึ่งจะทำให้มีการปลดปล่อยฟอสฟอรัสออกจากดินต่อจากแมก้ากว่าการสั่งสม จากการศึกษาของ Etsch et.al. (1983) พบว่า ต่อจากที่มี pH ต่ำกว่า 6.5 ฟอสฟอรัสจะอยู่ในรูปแบบของอะโซฟอสเฟต ซึ่งสามารถละลายได้ แต่ต่อต่อจากมีระดับ pH มากกว่า 8 จะเกิดการตกต่อจากในรูปฟอสเฟต ซึ่งเป็น การสั่งสมของฟอสฟอรัสในต่อจากนิดน์

ปริมาณโพแทสเซียมในต่อจากพบว่าไม่มีแนวโน้มของความสัมพันธ์กับปริมาณอินทรีวัตถุ (รูป ที่ 29) ปริมาณอินทรีวัตถุที่เพิ่มนี้ไม่ส่งผลให้โพแทสเซียมเพิ่มสูงขึ้นด้วย ปริมาณโพแทสเซียมในทะเลล้วงและ ทะเลล้วงมีค่าอยู่ระหว่าง 455-8,280 mg/kg และมีค่าเฉลี่ย 2,818 mg/kg ซึ่งมีทิวทัศน์ของการผันแปรต่อ หัวสูง บริเวณทะเลล้วง จะมีปริมาณมากกว่าทะเลล้วง (รูป 27) นั้นแสดงว่ามีการสั่งสมของโพแทสเซียมบี เกณฑ์ทะเลล้วงมากกว่าในทะเลล้วง นีองจากบริเวณนี้จะเป็นแหล่งของร่วนของเสียจากเกษตรกรรม เช่น จากบุ่ม ค่อนข้างสูง และการระบายน้ำออกจากการหลังน้อย และน้ำมีลักษณะนิ่งกว่าบริเวณทะเลล้วง ตั้งนี้อัตราการ ตกต่อจากสั่งสมก็จะมากกว่า สาหรับในทะเลล้วงบัวกว่าทะเลล้วงต่อจาก ซึ่งได้รับอิทธิพลของน้ำทะเล โดยที่นำไป น้ำทะเลจะมีความเข้มข้นของโพแทสเซียมประมาณ 387 mg/l ซึ่งสูงกว่าบัวจิตมากในน้ำแม่น้ำจะมีโพแทสเซียม ประมาณ 6.3 mg/l (Siharp, 1978) ซึ่ง ตั้งนี้ต่อจากนิดน์ที่ได้รับอิทธิพลของน้ำทะเลจึงมีการสั่งสมของโพแทสเซียมมากกว่าในต่อจากนิดน์ที่ได้รับอิทธิพลจากบัวจิต

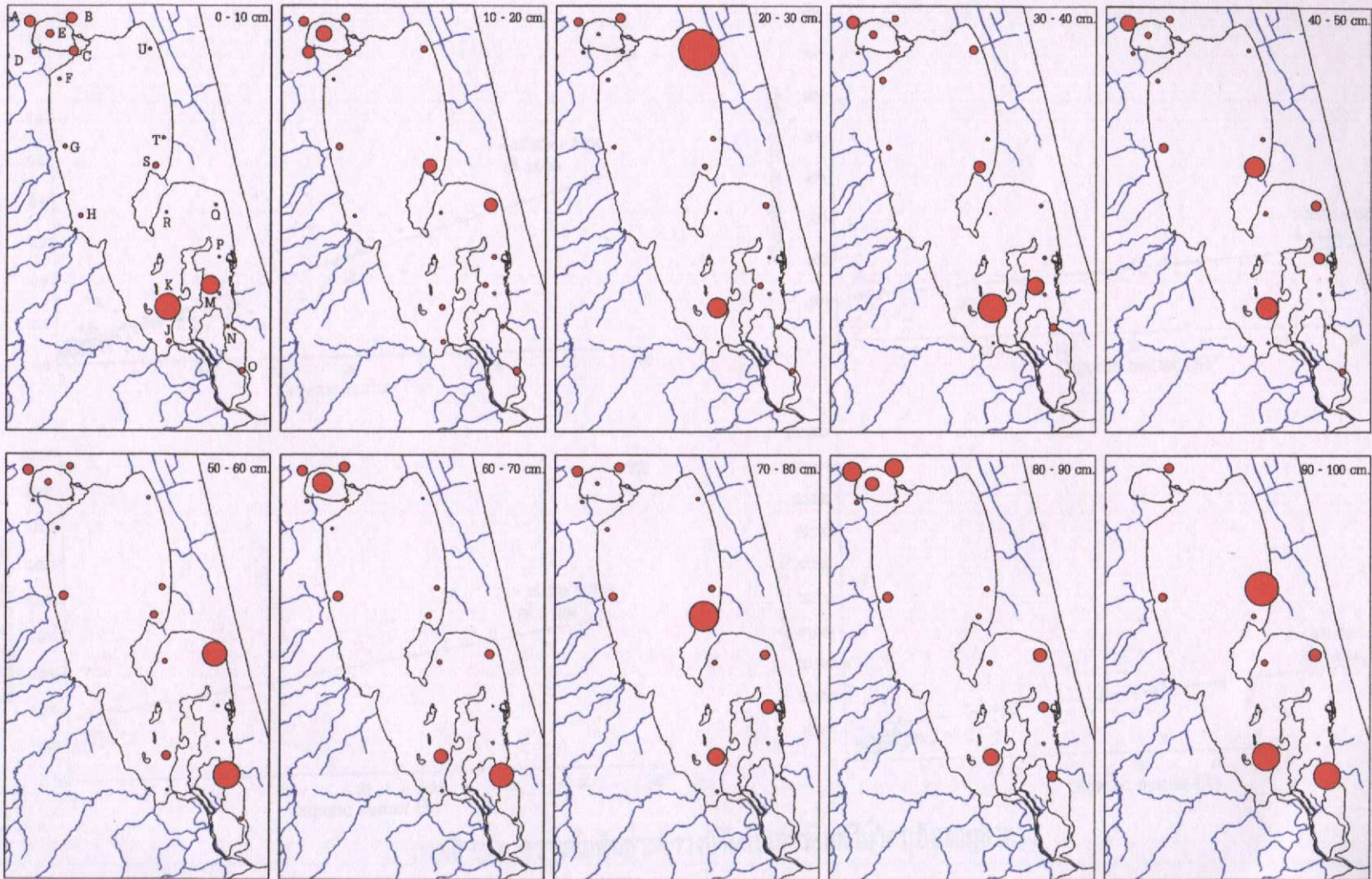


ภาพที่ 2.7 ลักษณะการกระจายของโพเดสเซียมในตระกอนดินบริเวณท่าเรืออยและท่าเรือหลวงที่ระดับความลึกต่างๆ

● : ปริมาณโพเดสเซียม

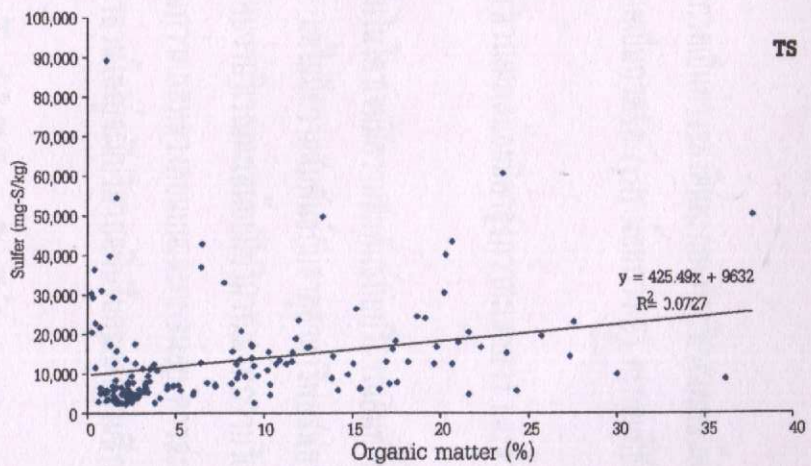
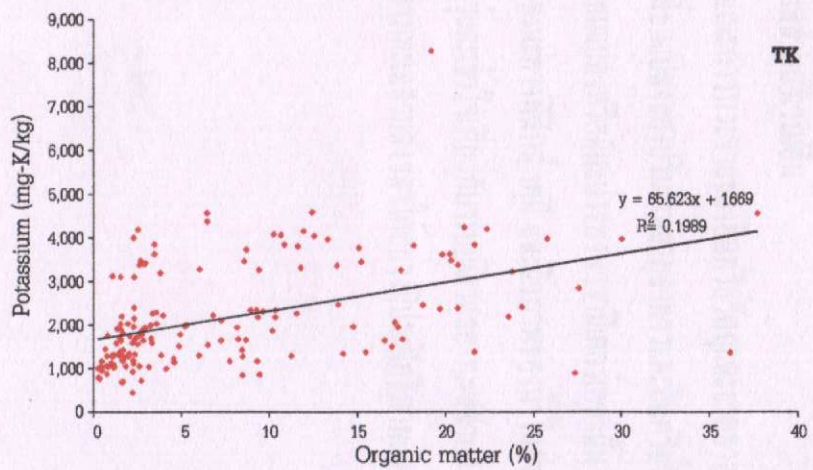
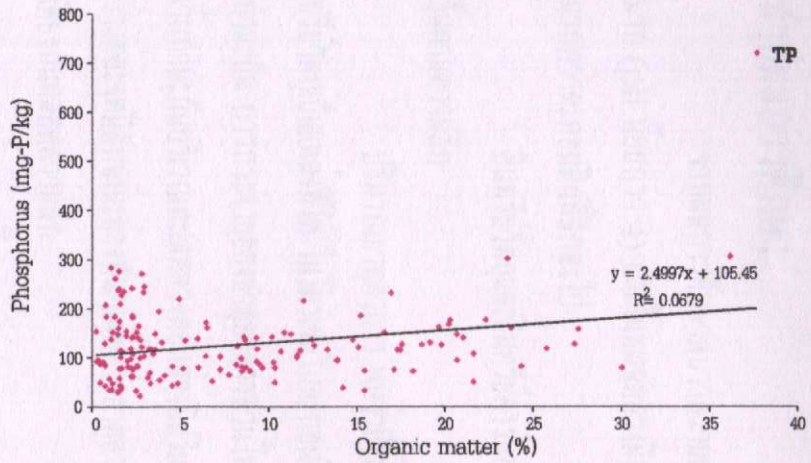
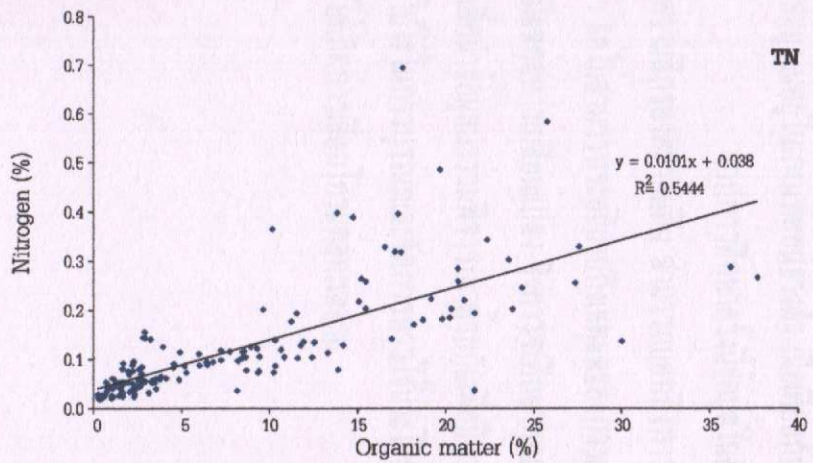
การกระจายของกำมะถัน

จากการศึกษาในทะเบียนและทะเบลุงพบว่า ปริมาณกำมะถันมีการเปลี่ยนแปลงอยู่ในช่วง
กว้าง 2,354 - 89,187 mg-T/kg และมีค่าเฉลี่ยเท่ากับ 12,996 mg-T/kg และพบว่าไม่มีแนวโน้มของความ
สัมพันธ์กับปริมาณอินทรีย์ต่ำ (รูป 29) มากเท่าๆ กัน A และ T ปริมาณกำมะถันมีความสัมพันธ์ส่วนใหญ่ในช่วง
ในการน้ำก้นที่ต่อปริมาณกำมะถันสูงขึ้นในชั้นที่มีอินทรีย์ต่ำส่วนอย่างมาก การการศึกษาของจิเรีย ชาญพาน
และคณะ (2537) พบว่าปริมาณกำมะถันในตะกอนเปลี่ยนแปลงตามปัจจัย 2 อย่างคือ ปริมาณอินทรีย์และความ
เค็มของน้ำ ตะกอนที่มีอินทรีย์ต่ำสูงมีแนวโน้มที่จะมีกำมะถันมากกว่า และพบว่าบางบริเวณปริมาณของกำมะ
ถันมากขึ้นเมื่อความเค็มของน้ำในบริเวณนั้นสูงขึ้น จากการศึกษาครั้นนี้พบว่าทะเบลุงดอนล่างมีปริมาณกำ
มะถันสูงกว่าตอนบน น่าจะเป็นสาเหตุเนื่องจากอิทธิพลของน้ำทะเล ผื่นเปรี้ยบเทียบกับการศึกษาของจิเรีย ชาญ
พาน และคณะ (2537) บริเวณทะเบลุงดอนออก มีค่าอยู่ระหว่าง 452 - 5,018 mg-T/kg น้อยกว่าปริมาณ
กำมะถันในทะเบียนอื่นและทะเบลุงจากผลการศึกษาในครั้นนี้



ภาพที่ 2.8 ลักษณะการกระจายของกำมะถันในตระกอนดินบริเวณทรายเลน้อยและทรายเหลวลงที่ระดับความลึกต่างๆ

● : ปริมาณกำมะถัน



ภาพที่ 29 ความสัมพันธ์ระหว่างปริมาณสารอินทรีย์กับธาตุอาหาร

สรุปผลการศึกษา

จากการศึกษาพบว่าความเป็นการเป็นทางของติดอกทั่วบริเวณทะลน้อยมีส่วนเป็นการซักมาก (รพ. ผู้ยกว่า 4) และในกระเพาะอาหารมีส่วนเป็นการซัก (รพ. ผู้ยกว่า 5) ติดอกที่รื้นแบบมีส่วนเป็นการมากกว่าติดอกดินที่สักลงไว้

อินไทร์วัตถุและอินไทร์ค่าวัสดุนวนบริเวณทะลน้อยมีค่าสูงกว่ากระเพาะอาหาร และส่วนใหญ่พบว่าจะเพิ่มรักษาความลึก

ประมาณราชตุาหาร พน้ำบีบีมานในโครงการนี้ความสัมพันธ์กับบริเวณอินไทร์วัตถุ แสดงว่าอินไทร์วัตถุเป็นแหล่งที่ให้ในโครงการในติดอกดิน แต่ไม่มีความสัมพันธ์กับราชตุาหารไฟฟอร์ส์ โพเดสเซียม และกำมะถัน การกระจายของราชตุาหารส่วนใหญ่พบว่าบริเวณทะลน้อยมีประมาณมากกว่าบริเวณกระเพาะอาหาร ยกเว้นกำมะถันบริเวณกระเพาะอาหารหันด้านมีประมาณกว่ากระเพาะอาหารหันด้านและทะลน้อย การสัมภักดีความลึกพบว่าแต่ละจุดมีสักษณะต่างกัน แต่พบว่าราชตุาหารส่วนใหญ่จะมีประมาณเพิ่มขึ้นลดความลึก แต่บางจุดมีค่าใกล้เคียงกันลดความลึก

ติดอกในกระเพาะและกระเพาะอาหาร โดยที่ร้าวไปมีประมาณอินไทร์วัตถุและราชตุาหารสูงกว่าการศึกษาในอดีตหนึ่งเดือนก่อนหน้าโน้มเพิ่มขึ้นของอินไทร์วัตถุและราชตุาหารในกระเพาะส่วนหลังท้ายนั้น โดยที่ร้าวไปพบว่าอุดมสมบูรณ์อยู่ในกระเพาะที่หันด้านที่มีผื่นเทียบกับกระเพาะบริเวณอื่น

จากการศึกษาครั้นนี้ยังมีในลักษณะการกระจายของอินไทร์วัตถุและราชตุาหารตามตำแหน่งและความลึกของติดอกดิน สามารถบอกถึงการเปลี่ยนแปลงของประมาณราชตุาหารและอินไทร์วัตถุในบริเวณต่างๆ แต่ไม่สามารถจะอธิบายถึงเหตุผลของการเปลี่ยนแปลงหรือผันแปรของพารามิเตอร์เหล่านั้น ซึ่งมีปัจจัยต่างๆ ที่มีผลต่อการเปลี่ยนแปลง จึงควรจะศึกษาคุณลักษณะทางพิสิกส์ เทม และรีวิวภาพของน้ำในร่างกายเวลาเดียวกัน เพื่อนำข้อมูลมาวิเคราะห์รายกรณีเพื่อมีความรู้และเข้าใจเกี่ยวกับระบบเผาผลาญของกระเพาะส่วนหลังท้ายเพิ่มขึ้น และนำไปใช้ในการบูรณะและจัดการการรักษาปะโยชน์จากกระเพาะส่วนหลังท้ายได้อย่างมีประสิทธิภาพและถูกต้อง โดยไม่ทำให้เกิดการเสื่อมโกร Müllner

เอกสารอ้างอิง

- จงจิตา ผู้นำทีมวิจัย. 2536. สืบแสวงห้องทะเลสาบสงขลา. การสัมมนาเรื่องการพัฒนาการอนุรักษ์พันธุ์สัตว์ป่าและน้ำในทะเลสาบสงขลา จังหวัดสงขลา ณ วิทยาลัยสงขลานครินทร์ ณ ปีชัยใหม่. 2522. รายงานผลการวิจัยโครงการทะเลสาบสงขลา. 2521-2522 มหาวิทยาลัยสงขลานครินทร์ อุตรารัตน์. 2531. การศึกษาคุณสมบัติทางกายภาพ และเคมีของตะกอนดินในบริเวณแม่ท้ามล่าสัตว์ป่าทะเลสาบ (คุกุ) จ.สงขลา. รายงานวิชาโครงงานทางวิทยาศาสตร์ มหा�วิทยาลัยสงขลานครินทร์. 51 หน้า เพาพวรรณ แสงสุก. 2528. ปริมาณอินทรีย์สารอินทรีย์ในตะกอนของทะเลสาบสงขลา เอกสารวิชาการ 2/25 28 กรมป่าไม้ 6 หน้า วิเชียร ชาญพจน์ และคณะ. 2537 "ตะกอนดิน" รายงานการวิจัยพลวัตของระบบมีเดียนในทะเลสาบสงขลาของนักประทศไทยหางトイ สำนักงานคณะกรรมการวิจัยแห่งชาติ หน้า 136-153 สมศักดิ์ มนิพงษ์. 2537 การวิเคราะห์ดินและฟื้นฟูคุณภาพน้ำในทะเลสาบสงขลา ศึกษาพัฒนาการวิชาระบบที่ดิน มหาวิทยาลัยสงขลานครินทร์ ศิริ ฤกษ์วิภาวดี และไวยัชร์ แซ่รุ. 2529 การศึกษาปริมาณสารอาหารลดลงในทะเลสาบสงขลา เอกสารวิชาการ 3/2529 กรมป่าไม้ 22 หน้า ศุชาติ วิเชียรสรรค์ และໄสกาน จันทร์กัณ. 2526 การศึกษาภาวะความอุดมสมบูรณ์ของดินในทะเลสาบสงขลา ตอบผอภ. รายงานการวิจัย กรมป่าไม้ 162-173 Angsupanich, S and Aruga, Y. 1994. Ecosystem Dynamics of the Outer Songkhla Lake, Southern Thailand. NODAI Center for International Programs, Tokyo University of Agriculture Balzer, W. 1984. Organic Matter Degradation and Biogenic Element Cycling in Nearshore Sediment (Kiel Bight). Limnol. Oceanogr. 29(6) : 1231-1246. Blackburn, T. H and Henriksen, K. 1983. Nitrogen Cycling Types of Sediment from Danish Water. Limnol. Oceanogr. 28(3) : 477-493

Entsch, S. et. al 1983. Phosphorus and Nitrogen in Coral Reef Sediments. Limno. Oceanogr. 28 (3) : 465-476

John Taylor and Sons. 1985. Songkhla Lan Basin Planning Study-Vol 2. National Economic and Social Development Board Bangkok.

Limpadananai, D. 1977. Report on Ecological Impact Lake Songkhla Project Publication No.1, Prince of Songkla University

Mc Lean, E.O. 1982. Soil pH and Lime Requirement In Methods of Soil Analysis. Part 2 A.L. Page (ed.) Soil Science Society of America, Wisconsin, USA p. 199-209

Nelson, D.W., and Sommers, L. E. 1982. Total Carbon, Organic Carbon, and Organic Matter. In Method of Soil Analysis. Part 2 A. L. Page (ed.) Soil Science Society of America, Wisconsin, USA. p. 539-572

Ostrofsky, M. L. 1987. Phosphorus Species in the Surficial Sediments of Lakes of eastern North America. Can J. Fish. Aquat. Sci. 44 : 960-966

Petr, T. 1977. Bioturbation and Exchange of Chemical in The mud-water interface in Golterman. Interaction between Sediments and Fresh water. Proceeding of on International Symposium hold at Amsterdam, Netherland September 6-10, 1976 p. 216-226

Sharp, D. 1978. Oceanography Chemical process. Stewart, J. and Sharp, D. eds . Open University, Keynes Great Britain p. 18

บทที่ 3

ลักษณะการกระจายของโลหะหนักในต่างๆ

การปนเปื้อนของโลหะหนักเป็นมีอยู่หลากหลายสัญญาณการหนังซองแหล่งน้ำหลายแห่งทั่วโลก ภัยธรรมชาติ ก่อให้เกิดการปนเปื้อนมีพิษอย่างชั่ววัน การทำเหมืองแร่ อุตสาหกรรม และการทิ้งขยะลงจากอาคารบ้านเรือนลงสู่แหล่งน้ำ เป็นต้น (Imamura, 1991; Bryan and Langston, 1992) การทำเหมืองแร่ดีบุกที่ อำเภอร่อนพิบูลย์ จังหวัดนครศรีธรรมราช ได้ก่อให้เกิดการปนเปื้อนของสารหมู่อ่างชั่ววันแรงในบริเวณใกล้เคียง จนเป็นเหตุให้ประชากรป่าไม้เป็นโรคเรื้อรังผิดภาพเป็นจำนวนมากทุกการณ์ท่านองค์เดียวแกนน์คายเกิต์ในจังหวัดมิอิชาจิ ประเทศญี่ปุ่น และเป็นเหตุให้ประชากรล้มป่วยและเสียชีวิตเป็นจำนวนมากกว่าเดียวแกน (Imamura, 1991) การทำเหมืองแร่ที่จังหวัดโถญามา ประเทศญี่ปุ่น เป็นเหตุให้เกิดการปนเปื้อนของแคตเมินในบริเวณลุ่มน้ำ ทำให้ประชากรที่อาศัยอยู่ในบริเวณนี้ป่วยเป็นโรคชั่วคราวเป็นจำนวนมาก โดยเฉพาะผู้หญิงจะมีโอกาสเกิดโรคได้ง่ายกว่าผู้ชาย (Imamura, 1991) ชื่อ “ชีไตอิ” เป็นอาการของโรคพิษจากสารแคตเมินในภาษาญี่ปุ่น แต่ปัจจุบันภาษาไทยเป็นเช่นเรียกโรคในแหล่งน้ำที่จะแสดงอาการร้ายแรงจากการทำเหมืองแร่หลายชนิด ได้แก่ ดีบุก วัลฟ์เรม ฟอลฟ์ฟ แบโรต์ ชีราต์ และอะก้า เป็นต้น ดังนั้น ผู้คนจึงมีความเป็นไปได้ที่จะเกิดการปนเปื้อนของโลหะหนักในแหล่งสับส่องชล被判 การปล่อยน้ำเสียจากนิคมอุตสาหกรรมลงสู่แหล่งสับส่อง เช่น Veneice ติดต่อกันเป็นเวลาหลายสิบปีในประเทศอิตาลี พบว่าเป็นสาเหตุให้เกิดการปนเปื้อนของปีรอก แคตเมิน อะก้า ทองแดง และสังกะสี (Donazzolo et al. 1984) การปล่อยน้ำเสียจากโรงงานเหล็กและก่อสร้างลงสู่แม่น้ำ Erhjin Chi ทางตะวันตกเฉียงใต้ของประเทศไทย ทำให้ปะการังเสียหายเป็นอย่างมาก ทำให้รับความเสียหายอย่างรุนแรง (Han and Hung, 1990) French (1993) พนักงานบัญชี บริษัทอุตสาหกรรม ในประเทศอังกฤษลั่งโพลให้ความเห็นว่า ทองแดง สังกะสี และอะก้า ในตะกอนจากบริเวณทะเล Severn ลุ่มน้ำ การใช้สิ่งปฏิกัดบุกทากเรือและสิ่งก่อสร้างในทะเลเพื่อป้องกันพริบ浪พบว่าได้สร้างความเสียหายให้กับการเพาะเลี้ยงหอยนางรมที่ Baie d’Arcachon ประเทศฝรั่งเศส (Goldberg, 1992) จึงทำให้พบว่าสาเหตุที่แม่น้ำจีวังเกิดจากสารประกอบ Tributyltin (TBT) Saeckl et al. (1993) พนักงานเสียหายรุนแรงเป็นเหตุให้ความเพี้ยนของสังกะสีในตะกอนจากทะเล Tegernsee ในญี่ปุ่น สูงกว่าระดับปกติ

การปนเปื้อนของโลหะในทะเลจากแหล่งสับส่องสามารถวัดตามมาตราสัมภารัตน์ เมื่อปี พ.ศ. 2521 น้ำเงิน (2522) ให้ผู้ที่กอนหน้าดินจากแหล่งสับส่อง 29 ชุด และแหล่งสับส่อง 11 ชุดมาวิเคราะห์ความเข้มข้นของเหล็ก แมงกานิส ทองแดง สังกะสี อะก้า และแคตเมิน พนักงานเห็นว่าความเข้มข้นของโลหะเหล่านี้อยู่ในระดับ

ปกติ ยกเว้นทองแดง และแคดเมียม ซึ่งมีความเข้มข้นสูงกว่าร่างทับปีกติประมาณ 6 และ 10 เท่า ตามลำดับ เมื่อปี พ.ศ. 2536 Maneepong (1996) Maneepong and Aungsupanich (1998) ได้ผ่าหัวใจจากกระเพาะปัสสาวะ สังเคราะห์อนพอก ทั้งที่เก็บโดยวิธี coring (เก็บตามความลึก) และ grab (เก็บตามผิวนิดเดียว) มาวิเคราะห์ความเข้มข้นของเหล็ก แมงกานิส ทองแดง สังกะสี ตะกั่ว นิกเกิล โคโรเนียม สารหนุน และแคดเมียม แต่ไม่พบความเข้มข้นที่สูงกว่าร่างทับปีกติเมื่อปี พ.ศ. 2522) รายงานไว้

งานวิจัยนี้ต้องการศึกษาความเข้มข้นของโลหะหน้าในตะกรอนจากกระเพาะปัสสาวะและกระเพาะปัสสาวะตามความลึกของตะกรอน เพื่อให้ได้ร้อมูลของกระเพาะปัสสาวะที่สมบูรณ์และต่อเนื่องจากการวิจัยที่คณาจารย์ผู้วิจัยเคยทำการศึกษาไว้ เมื่อปี พ.ศ. 2536 (Maneepong 1996; Maneepong and Matoumoto, 1994) นอกจากนี้ยังมีการศึกษาการปนเปื้อนของโลหะหน้าในกระเพาะปัสสาวะมาแล้วหลายครั้ง ในอดีต แต่ไม่ปรากฏรายงานการศึกษาลักษณะการกระจายของโลหะหน้าความความลึก และไม่ปรากฏรายงานการศึกษาในกรณีของตะกรอนจากกระเพาะปัสสาวะ

อุปกรณ์และวิธีการ

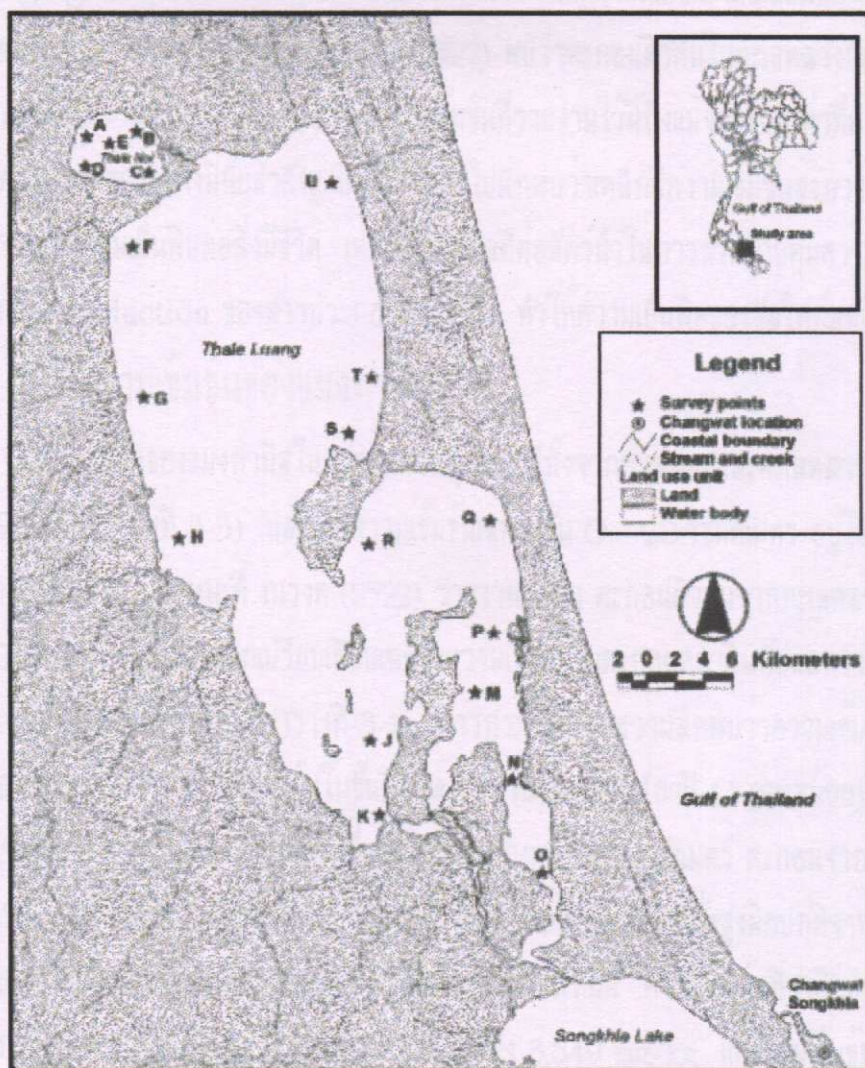
1. วิธีเก็บตัวอย่าง

ตัวอย่างตะกรอนที่ใช้ในการศึกษาครั้งนี้เป็นจากกระเพาะปัสสาวะ 5 สำานี และกระเพาะปัสสาวะ 14 สำานี (รูปที่ 3-1) ไนระหัวงเตือนเมษายน - พฤษภาคม พ.ศ. 2541 ตะกรอนทุกสำานีเก็บโดยใช้เครื่องมือเก็บตัวอย่างแบบห่อหักที่ทำด้วยโลหะไร้สนิม (stainless-steel core) ขนาดเล็กพิเศษสำหรับ 5 เซนติเมตร ยาว 150 เซนติเมตร ตะกรอนที่เก็บได้นำมาตัดเป็นห่อหัก กว้างละ 10 เซนติเมตร เพื่อจำแนกตะกรอนตามความลึก ในแต่ละสำานีได้ทั้งหมด 3 ครั้ง นำตัวอย่างที่เก็บได้จากความลึกเดียวกันมารวมกันเพื่อทำเป็นตัวอย่างร่วม (composite sample) ตัวอย่างถูกอบกับไฟฟ้าประมาณ 1 ชั่วโมงที่อุณหภูมิ 75°C จนตัวอย่างแห้งสนิท โดยใช้เวลาประมาณ 1 สัปดาห์ จากนั้นตัดตัวอย่างด้วยเครื่องเซอร์วามิคแล้วร่อนผ่านตะกรองขนาด 2.0 มิลลิเมตร เก็บตัวอย่างในภาชนะพลาสติกเพื่อรอการวิเคราะห์ในขั้นตอนต่อไป

2. วิธีวิเคราะห์ทางเคมี

รังตัวอย่าง 5.0 กรัม ใส่ในภาครูปทรงพู่ๆ ขนาด 125 มิลลิลิตร (ภาครูปทรงพู่ๆ นำมาใช้เป็นมาตรฐานในวิธีวิเคราะห์ ผ่านการแก้ในกรด HNO_3 เป็นเวลา 1 วัน ล้างด้วยน้ำกลืนและอบแห้งแล้ว) เติมกรดผสม $\text{HNO}_3 : \text{HClO}_4$ (1:1) ลงใน 10 มิลลิลิตร ข้อบนพานแพ่นความร้อน (hot plate) จนเกิดคันเดือหายกเสียง

ขาด ตัวอย่างที่มีอนุภูมิภาคได้ดินกรด HNO_3 เพื่อしながらการข้อมูลบุรุน์ ของลักษณะที่อยู่ได้ผ่านกระดาษของ Whatman เบอร์ 42 ลงในภาชนะตรา RECT 50 มิลลิลิตร และปรับปรุงตัวอย่างน้ำกลั่น และเก็บสารละลายนี้ที่ได้ในขาดโพลีเอธิลีน วิเคราะห์ความแม่นยำของเหล็ก แมงกานีส ทองแดง ลังกะสี นิกเกิล อะก้า โคโรฟิลม และแคนเดเมียม ในสารละลายนี้โดยวิธี Flame atomic absorption spectrophotometry (Flame-AAS) โดยใช้สารละลายน้ำร้อนสำเร็จรูปจากบริษัท Merck ประเทศเยอรมัน และใช้ตัวอย่างองค์ที่ได้จัดทำขึ้นเองภายในห้องปฏิบัติการเพื่อการสอบเทียบผลการวิเคราะห์



รูปที่ 3-1 แผนที่แสดงตำแหน่งเก็บตัวอย่างในทะเลสาบและทะเลสาบ

ผลการวิเคราะห์และวิจารณ์ผล

1. ความเข้มข้นของเหล็ก

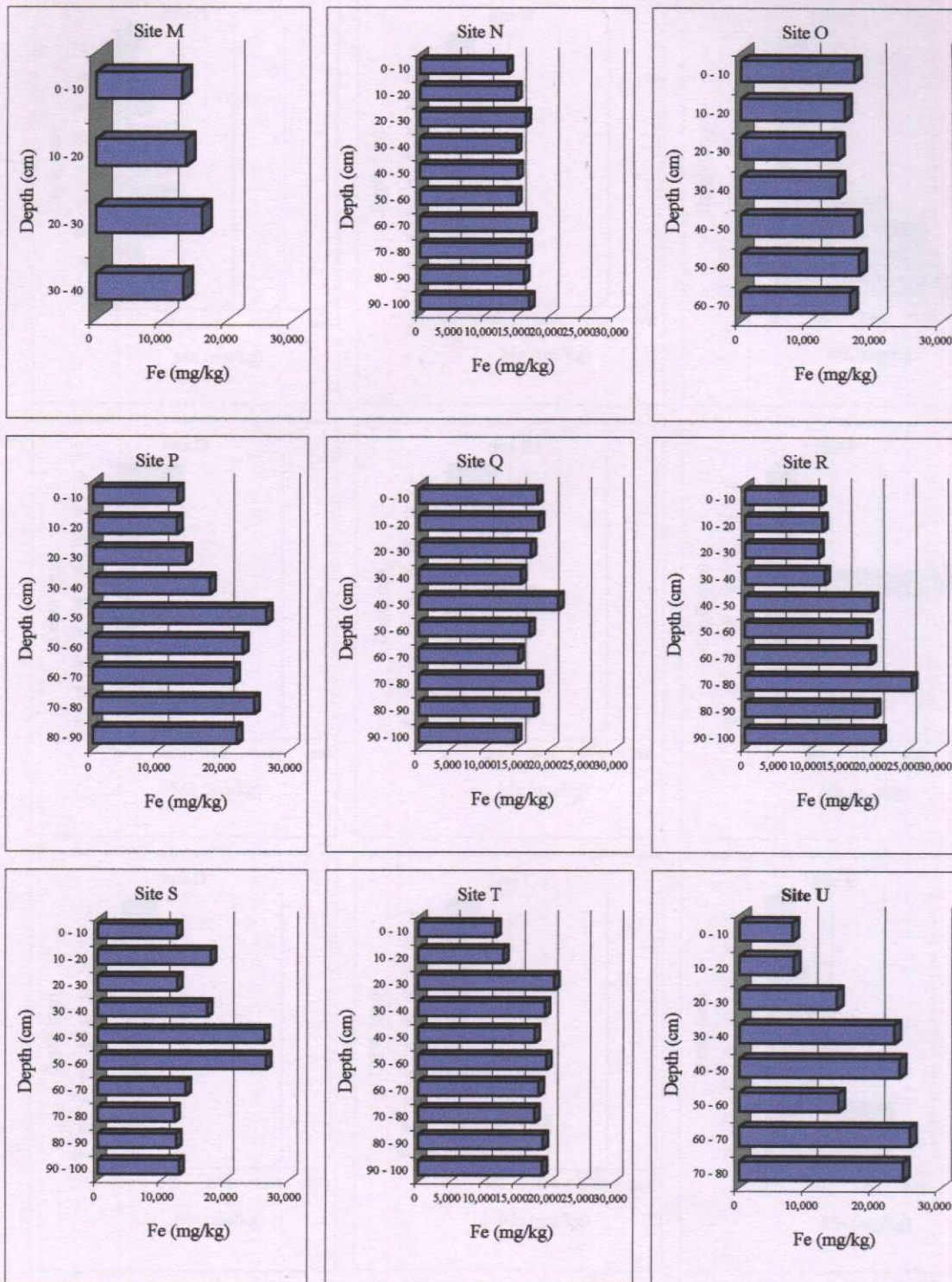
ความเข้มข้นของเหล็กในตะกอนจากทุกส่วนน้ำทึบจากการกรองด้วยและตะเกล(logging) พบว่าอยู่ในช่วง 16,362 - 26,472 mg/kg (รูปที่ 3-2) โดยมีค่ากลาง 6,486 mg/kg การเปลี่ยนแปลงความเข้มข้นความถี่ความลึกไฟฟ้า สีของน้ำเพียงอย่างเดียว ให้เห็นว่ามีการปนเปื้อนของเหล็กเกินกว่าความลึกได้ความลึกหนึ่ง ทั้งตะกอนจากตะเกล(logging) และตะเกล(logging) ตะกอนจากตะเกล(logging) ผ่านตะกราน (สารานี P R T และ U) พบว่าเหล็กมีความเข้มข้นประมาณ 10,000 mg/kg ที่ความลึกระหว่าง 0 - 30 เซนติเมตร แต่ความเข้มข้นเพิ่มขึ้นเป็นสองเท่าเมื่อความลึกมากกว่า 40 เซนติเมตร จากการศึกษาของ นางค์ (2522) พบว่าตะกอนพิடิดินในตะเกล(logging) มีความเข้มข้นของเหล็กอยู่ในช่วง 16,000 - 48,570 mg/kg ที่ความเข้มข้นที่รายงานไว้นี้แม้จะสูงกว่าค่าที่พบในการศึกษานี้แต่ไม่อาจถือว่ามีความแตกต่างอย่างมีนัยสำคัญ ถึงแม้โดยทั่วไปปกติแล้วเหล็กมีความเข้มข้นสูงกว่าโลหะหนักชนิดอื่น แต่ไม่ปรากฏรายงานความเป็นพิเศษของโลหะ เช่น เหล็กสับปะรดตัวต่อสัตว์น้ำในการนำรากควบคุมความเข้มข้นของเหล็กให้ลดลง เกิดจากปฏิกิริยา reduction ของสารประจำอย่างมีนัยสำคัญ ทำให้ความเข้มข้นของเหล็กลดลง

2. ความเข้มข้นของแมงงานน้ำสี

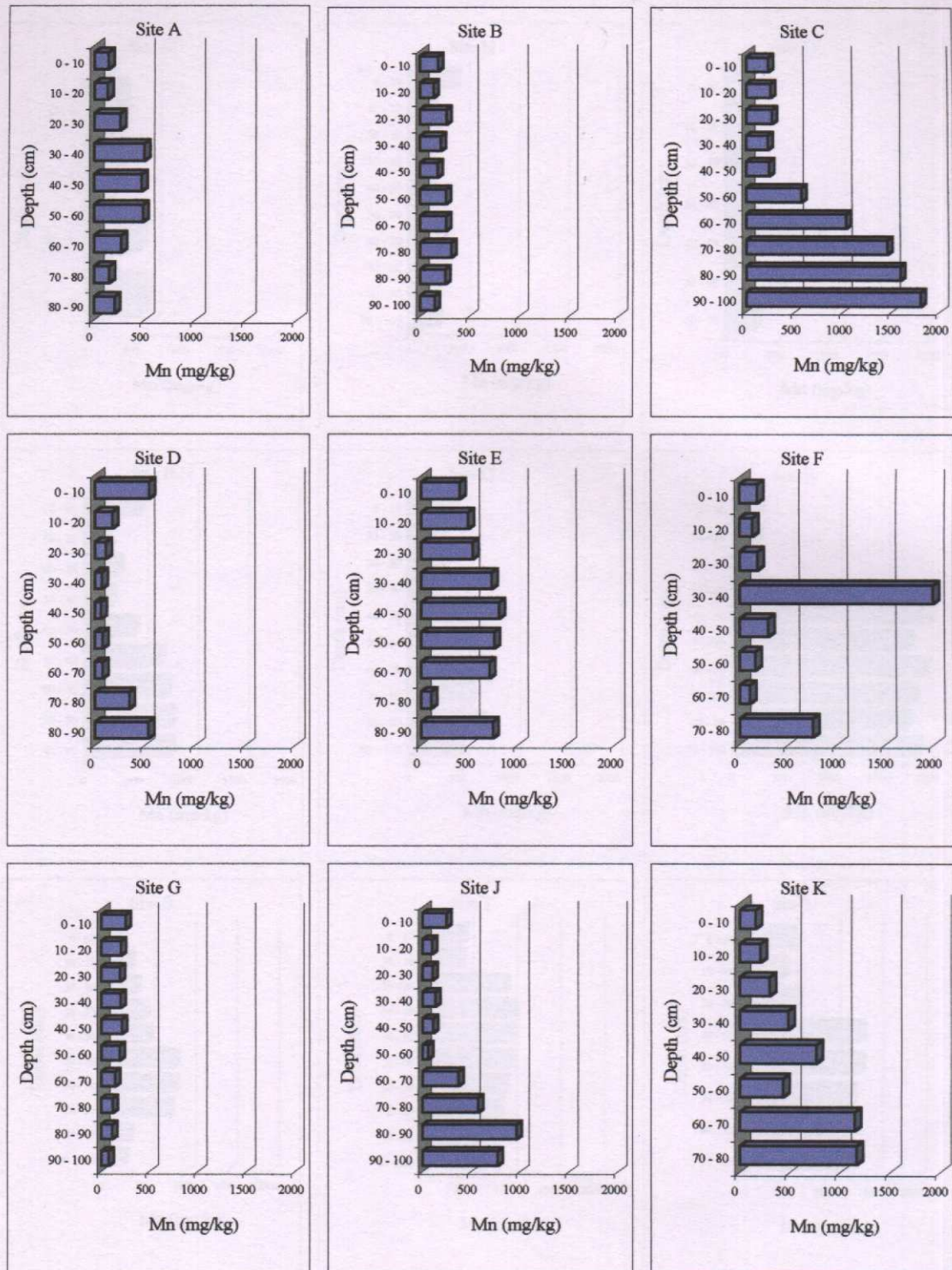
ความเข้มข้นของแมงงานน้ำสีในตะกอนจากทุกส่วนน้ำทึบจากการกรองด้วยและตะเกล(logging) พบว่าอยู่ในช่วง 32 - 3,849 mg/kg (รูปที่ 3-3) และทั่วไปความเข้มข้นเฉลี่ย 0 - 20 เซนติเมตร อยู่ในช่วง 32 - 545 mg/kg (ตารางที่ 3-1) ในรายงานที่ นางค์ (2522) รายงานพบว่า ตะกอนพิटิดินจากตะเกล(logging) มีความเข้มข้นอยู่ในช่วง 200 - 454 mg/mg หากเปรียบเทียบเฉพาะความเข้มข้นในตะกอนหน้าดินกับผลการศึกษาครั้งนี้ พบว่าไม่มีความแตกต่างอย่างมีนัยสำคัญ (ตารางที่ 3-1) การกระจายตามความลึกพบว่าความเข้มข้นในตะกอนพิटิดิน (0 - 20 เซนติเมตร) ต่ำกว่าความเข้มข้นในน้ำที่ลึกลงไป ตะกอนจากส่วน C (ตะเกล(logging)) พบว่าความเข้มข้นของแมงงานน้ำสีอย่างสูงขึ้นตามความลึก เมื่อความลึกมากกว่า 50 เซนติเมตร ตะกอนจากส่วน F ที่ความลึก 30 - 40 เซนติเมตร พบว่าแมงงานน้ำสีมีความเข้มข้นสูงถึง 2,403 mg/kg ซึ่งสูงติดกันจากความลึกที่อยู่ห่างต่ำลงมาก แสดงให้เห็นว่ามีการปนเปื้อนของแมงงานน้ำสีในตะกอนระหว่างทั้งน้ำ ความเข้มข้นที่สูงติดกันนี้ยังพบว่าที่ส่วน R ที่ความลึก 40 - 50 เซนติเมตร พบว่าความเข้มข้นสูงถึง 3,849 mg/kg แต่ความเข้มข้นจะลดลงหลังออกจากประมาณครึ่งหนึ่งเมื่อความลึกมากกว่านี้ แสดงให้เห็นว่ามีการปนเปื้อนกันที่ส่วนนี้ในอีกด้าน ถึงแม้ความเข้มข้นของแมงงานน้ำสีจะสูงจากเหล็ก และสูงกว่าโลหะอื่นในการศึกษานี้ แต่ก็ไม่ปรากฏรายงานความเป็นพิเศษของแมงงานน้ำสี



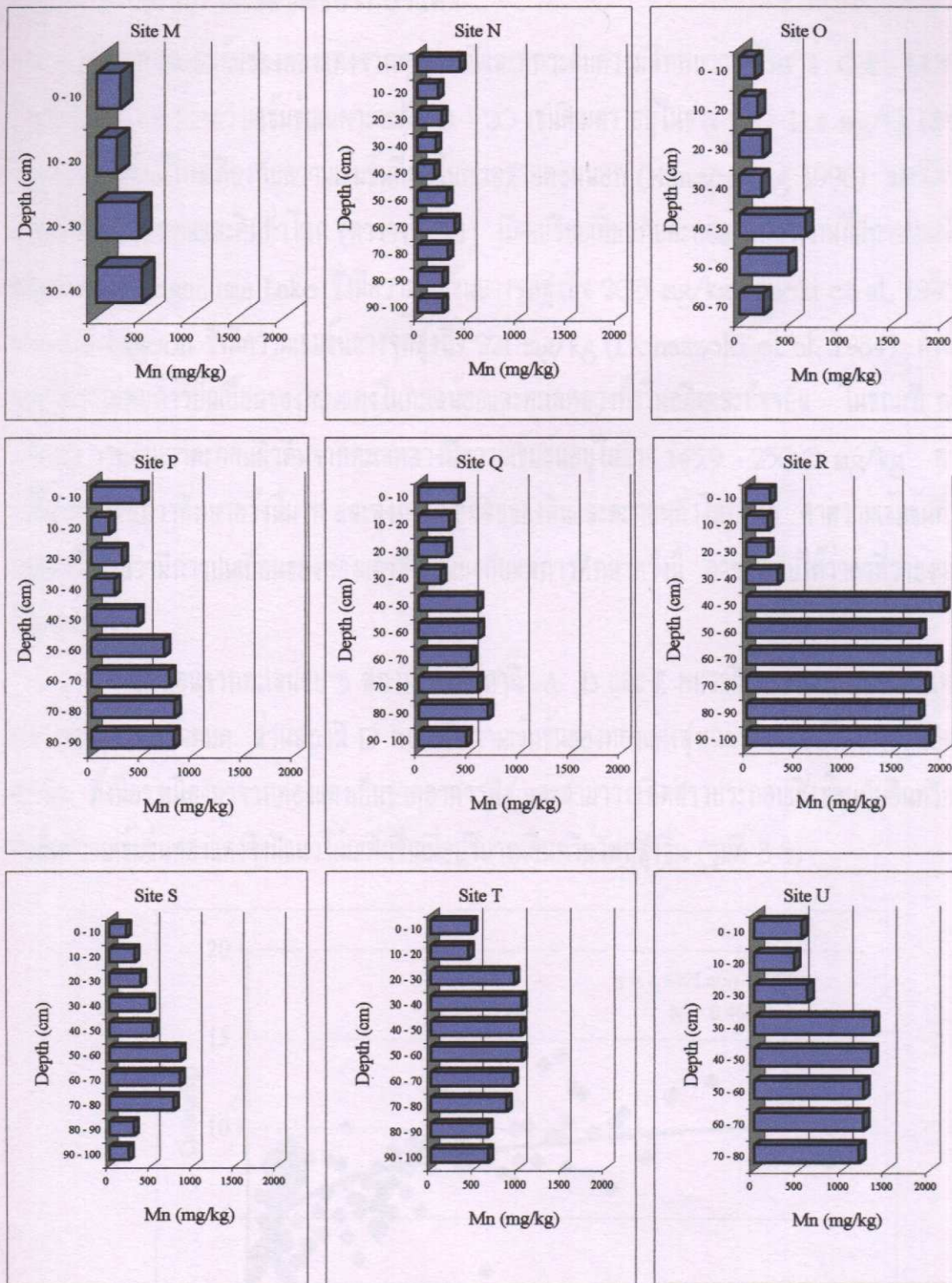
รูปที่ 3-2 ความเข้มข้นของเหล็กในตะกอนจากทะเลผอขและทะเลลางที่ระดับความลึกต่าง ๆ



รูปที่ 3-2 (๗๐)



รูปที่ 3-3 ความเข้มข้นของแมงกานิลในตะกอนจากทะเบียนและทะเบียนทั่วไปที่บีบความลึกต่าง ๆ

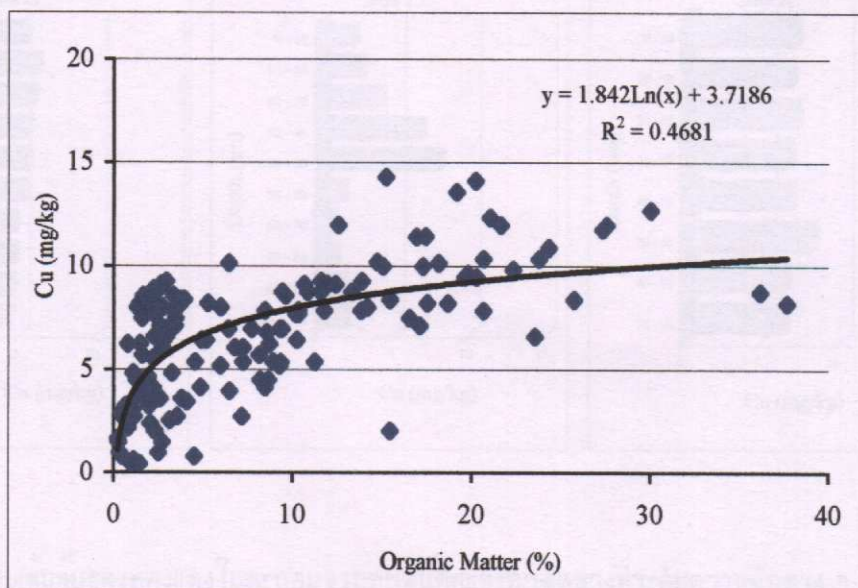


3-3 (10)

3. ความเข้มข้นของทองแดง

ความเข้มข้นของทองแดงจากทุกสถานีและทุกระดับความลึกพบว่าอยู่ในช่วง 0.4 - 14.3 mg/kg (รูปที่ 3-4) และช่วงความเข้มข้นเฉพาะระดับ 0 - 20 เซนติเมตร อยู่ในช่วง 2.2 - 11.4 mg/kg (ตารางที่ 3-1) ช่วงความเข้มข้นในเกล็ดเดียงกับความเข้มข้นที่พบในทะเลสาบทอน萩 (Maneepong 1996) และมีค่าต่ำกว่าค่าเฉลี่ยของตะกอนและดินทรายโลก (ตารางที่ 3-1) เมื่อเปรียบเทียบกับตะกอนจากบริเวณที่มีการปนเปื้อนของทองแดง เช่น Teganuma Lake ที่มีความเข้มข้นบางจุดสูงถึง 203 mg/kg (Saeck et al., 1993) หรือ Venice Lagoon ที่มีความเข้มข้นบางจุดสูงถึง 221 mg/kg (Donazzolo et al., 1984) ตั้งแต่เจ้าชาสรุปได้ว่าไม่พบการปนเปื้อนของทองแดงในทะเลน้อยและทะเลล่วงทึ่งในอดีตและปัจจุบัน ในขณะที่ ณ วงศ์ (2522) รายงานว่าตะกอนผิดนิทานจากทะเลล่วงมีความเข้มข้นอยู่ในช่วง 145.9 - 250.0 mg/kg ค่าที่รายงานไว้นี้สูงกว่าผลการศึกษาครั้งก่อนมาก และสูงกว่าค่าเฉลี่ยของดินและตะกอนห้องทรายตัวอย่าง ค่าความเข้มข้นที่รายงานไว้นี้แสดงให้เห็นว่ามีการปนเปื้อนของทองแดงซึ่ด้ายกับผลการศึกษาครั้งนี้ อาจเป็นไปได้ว่าค่าที่รายงานไว้นี้เป็นค่าที่ไม่ถูกต้อง

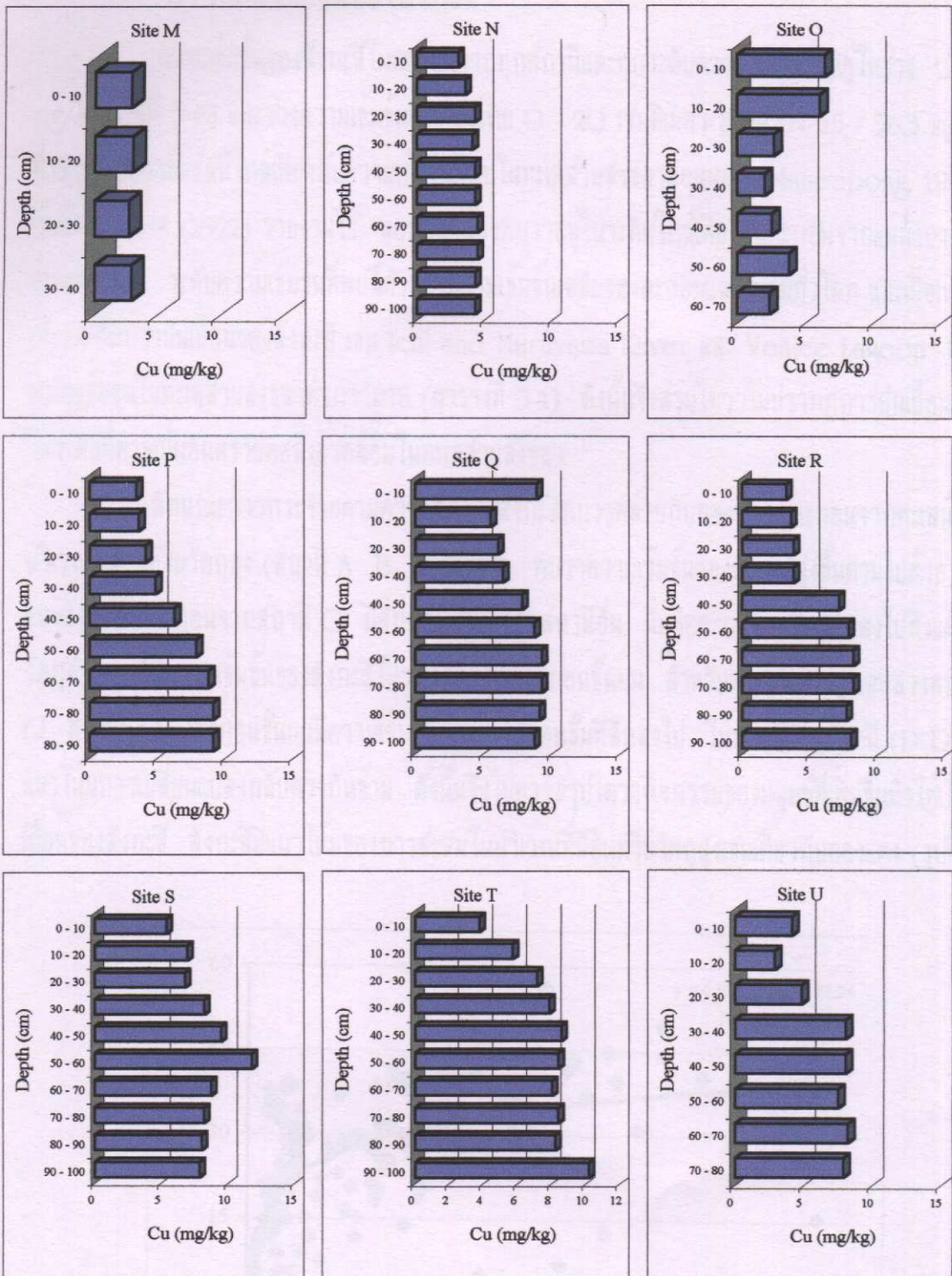
ตะกอนจากทะเลน้อย 3 สถานี คือที่สถานี A, B และ E พบร่วมความเข้มข้นของทองแดงสูงกว่าค่ากลางของตะกอนห้องทึ่งมาก ล้วนสถานี D พบร่วมความเข้มข้นของทองแดงสูงสุดเพียงพอที่จะแสดงให้เห็นว่ามีการปนเปื้อนของทองแดงในชั้ด้ายกับผลกระทบต่อเศรษฐกิจและสังคมต่อไปได้ตั้งแต่ต้นจนจบ (รูปที่ 3-5)



รูปที่ 3-5 ความสัมพันธ์ระหว่างความเข้มข้นของทองแดงกับอินทรีย์ตกตุลส์ในตะกอนจากทุกสถานี



รูปที่ 3-4 ความเข้มข้นของทองแดง ในตระกอนจากทะเลน้อยและทะเลหลวงที่ระดับความลึกต่าง ๆ

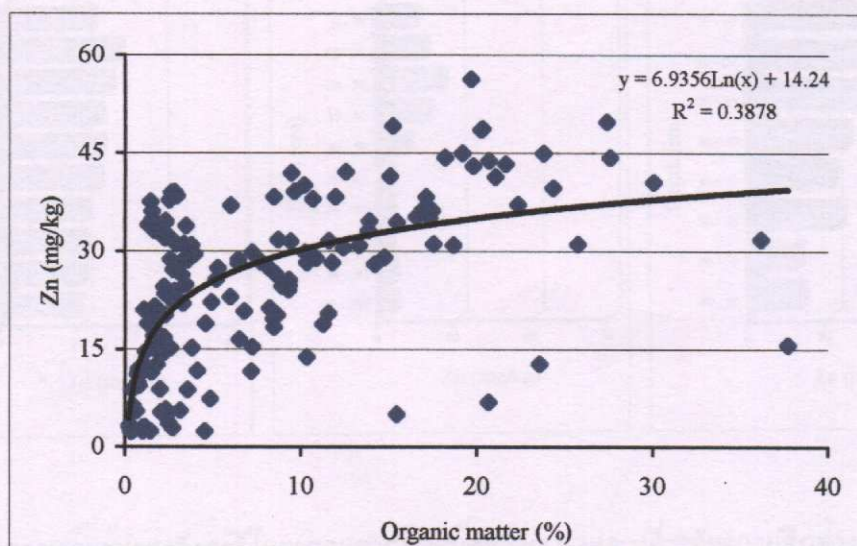


ຈຸດທີ 3-4 (ໜອ)

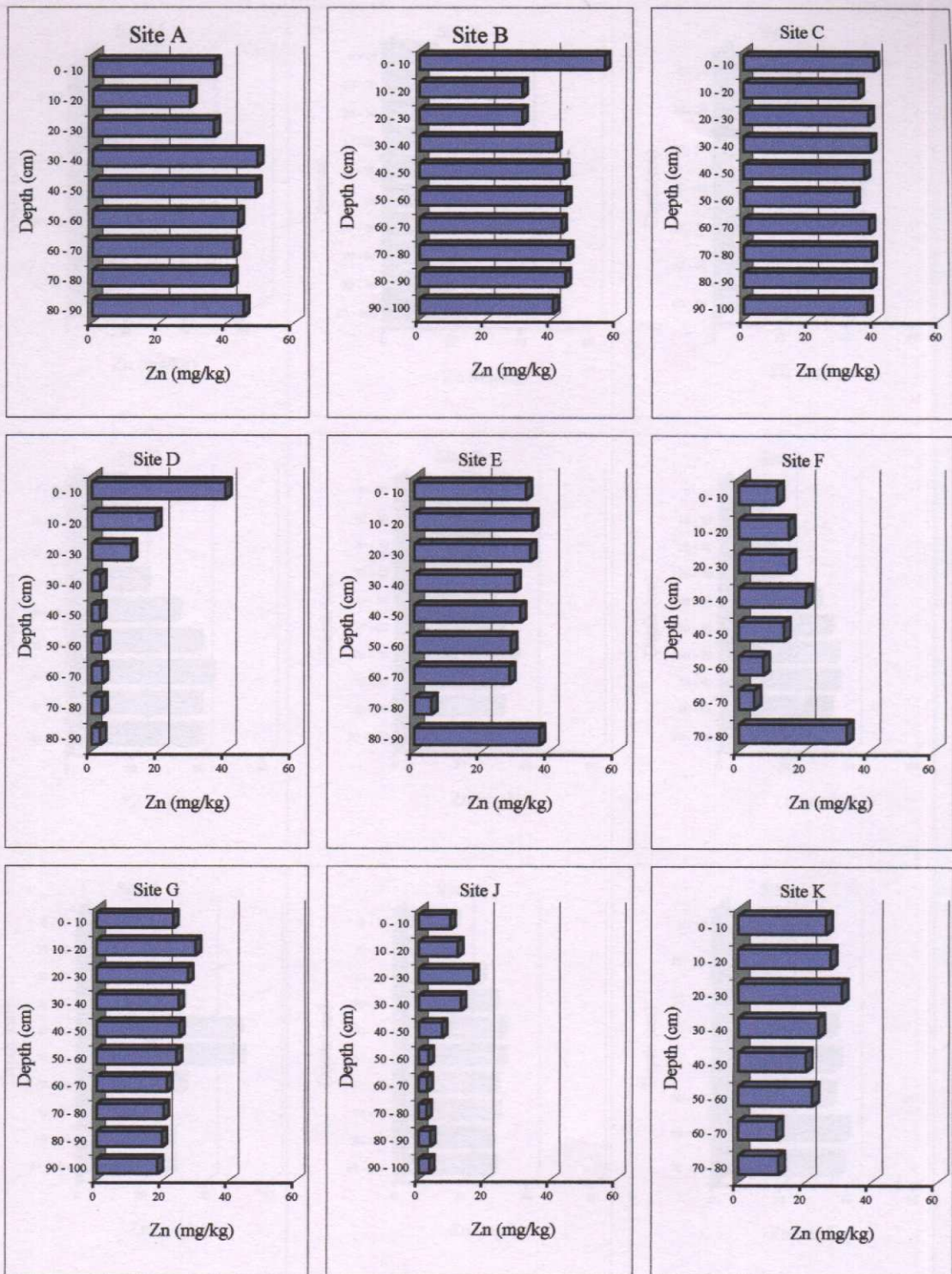
4. ความเข้มข้นของลังกะสี

ความเข้มข้นของลังกะสีในตะกอนจากทุกสถานีและทุกราดบ้านที่มีความลึกพบร้าอยู่ในช่วง 24 - 56.3 mg/kg (รูปที่ 3-6) และช่วงความเข้มข้นเฉพาะระดับ 0 - 20 เมตรต่ำอยู่ในช่วง 5.5 - 56.3 mg/kg (ตารางที่ 3-1) ความเข้มข้นไฟล์เดียงกับความเข้มข้นที่พบในทะเลสาบสงขลาตอนออก (Maneepong, 1996) และความเข้มข้นที่ นรนค์ (2522) รายงานไว้ นอกจากนี้ยังพบร้าอยู่ในระดับไฟล์เดียงกับตะกอนจากแม่น้ำบางปะกงและแม่น้ำเจ้าพระยา ระดับความเข้มข้นที่พบนี้ต่างกว่าความเข้มข้นเฉลี่ยของตะกอนและในตันท่าโภ แต่มีอิทธิพลต่อการเปลี่ยนแปลงของลังกะสี เช่น Ichi and Maruyama River และ Venice Lagoon พบร้าระดับความเข้มข้นในทะเลสาบสงขลาต่างกันมาก (ตารางที่ 3-1) ตั้งนี้จึงสรุปได้ว่าไม่ปรากฏการเปลี่ยนแปลงของลังกะสีในระดับที่อาจเป็นอันตรายต่อสิ่งแวดล้อมในทะเลสาบสงขลา

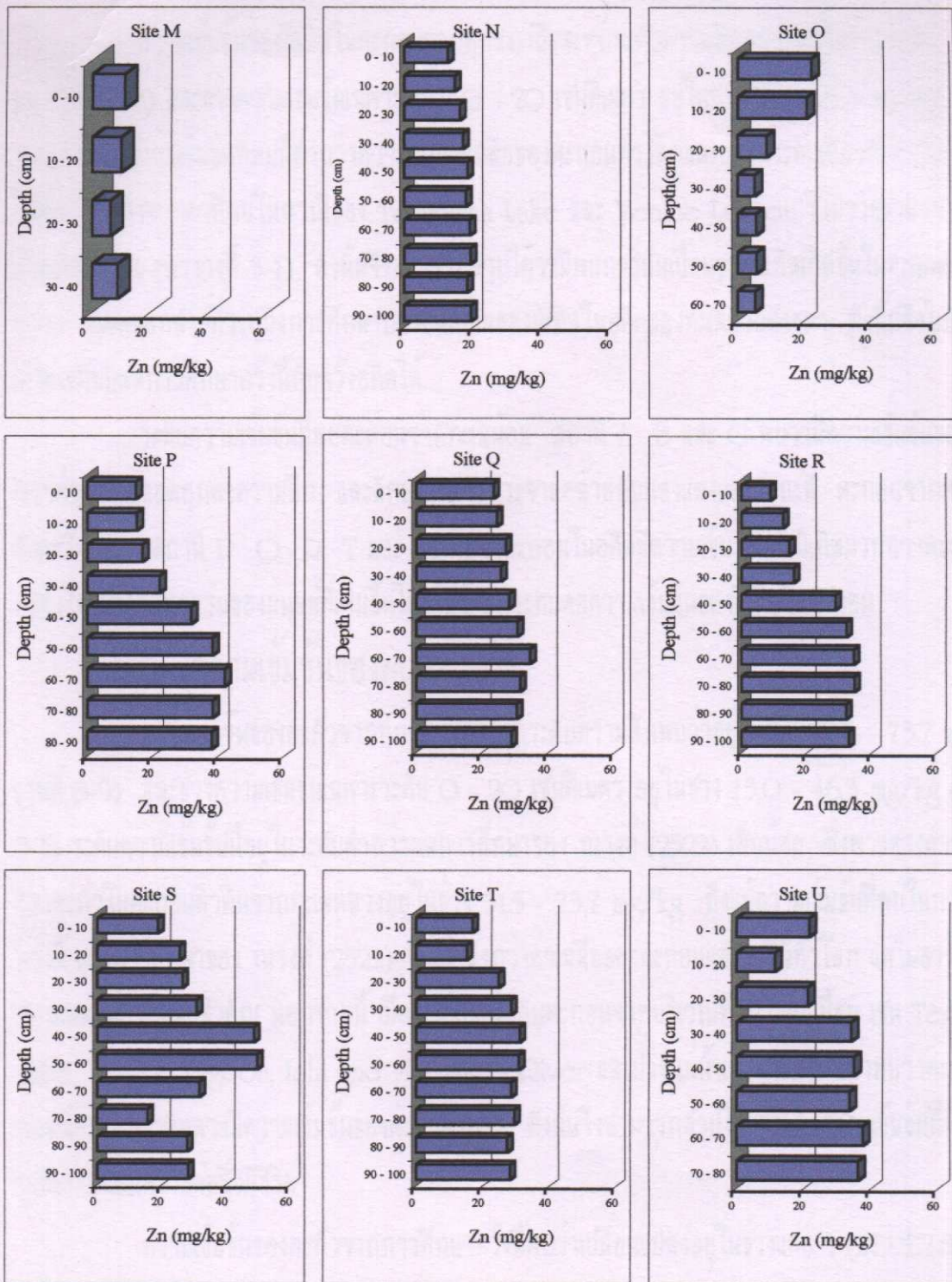
ลักษณะการกระจายตามความลึกของลังกะสีพบว่าคล้ายกับทองแดง ตะกอนจากทะเลสาบโดยเฉพาะบริเวณที่มีอินทรีย์ต่ำสุด (สถานี A B D และ E) พบร้าความเข้มข้นของลังกะสีสูงขึ้นตามไปด้วย การกระจายของลังกะสีในตะกอนจากสถานี C มีลักษณะพิเศษจากสถานีอื่น ผู้ศึกษาอนุญาตให้ลึกลงไปถึงแม่น้ำอินทรีย์ต่ำ แต่ก็มีความเข้มข้นของลังกะสีในระดับเดียวกับตะกอนอื่นๆ สำหรับตะกอนจากทะเลสาบบ่วนางสถานี (J K และ O) ตะกอนนี้นมีความเข้มข้นสูงกว่าตะกอนอื่นที่ลึกลงไป ในขณะที่บางสถานี (P Q T และ U) แนวโน้มการเปลี่ยนแปลงกลับตรงกันข้าม ตั้งนี้จึงไม่อาจสรุปได้ว่ากิจกรรมของมนุษย์ที่เพิ่มขึ้นทำให้เกิดการเปลี่ยนแปลงของลังกะสี ลังกะสีมีแนวโน้มของการสะสมในบริเวณที่มีอินทรีย์ต่ำ เช่นเดียวกับทองแดง (รูปที่ 3-7)



รูปที่ 3-7 ความสัมพันธ์ระหว่างความเข้มข้นของลังกะสีกับอินทรีย์ต่ำในตะกอนจากทุกสถานี



รูปที่ 3-6 ความเข้มข้นของลังกาลีในตะกอนจากที่เด่นอยู่และที่เดลหลวงที่ระดับความลึกต่าง ๆ



ຈຸດ 3-6 (ໜອ)

5. ความเข้มข้นของนิเกิล

ความเข้มข้นของนิเกิล ในตะกอนจากทุกส่วนและทุกรายดับความลึกพบว่าอยู่ในช่วง 1.9 - 30.5 mg/kg (ญี่ปุ่นที่ 3-8) และสำหรับความเข้มข้นเฉพาะระดับ O - 20 เซนติเมตร อยู่ในช่วง 29 - 273 mg/kg (ตารางที่ 3-1) ระดับความเข้มข้นที่พบนี้ต่างกว่าความเข้มข้นเฉลี่ยของตะกอนทั่วโลกและอยู่ในระดับเดียวกับความเข้มข้นเฉลี่ยในติน แต่ต่างกว่าค่าที่พบในกรณีของ Teganuma Lake และ Venice Lagoon ที่มีรายงานว่าเทียบการปนเปื้อนของนิเกิล (ตารางที่ 3-1) ตั้งนี้จึงสามารถสรุปได้ว่ามีพิษการปนเปื้อนของนิเกิลเกิดขึ้นในทะเลน้อยและทะเลหลวง ไม่พยากรณ์ไว้บุคคลที่ศึกษาการปนเปื้อนของนิเกิลในอีกสองทะเลสาบส่วนกลาง ตั้งนี้จึงไม่สามารถเปรียบเทียบผลการศึกษาครั้งนี้กับครั้งอื่นได้

ระดับความเข้มข้นที่พบตะกอนจากทะเลน้อย ส่วน A, B และ C พบร้ามความเข้มข้นของนิเกิลสูงกว่าค่าเฉลี่ยตลอดทุกค่าความลึก และลักษณะการกระจายคล้ายกับทองแดงและสังกะสี ตะกอนจากทะเลหลวง ผู้คนออก (สถานี D, Q, R, T และ U) พบร้ามระดับในอัตราที่ความเข้มข้นของนิเกิลมากกว่าตะกอนใหม่ แสดงให้เห็นว่ากิจกรรมของมนุษย์ที่เพิ่มขึ้นไม่ได้ส่งผลกระทบต่อความเข้มข้นของนิเกิลในตะกอน

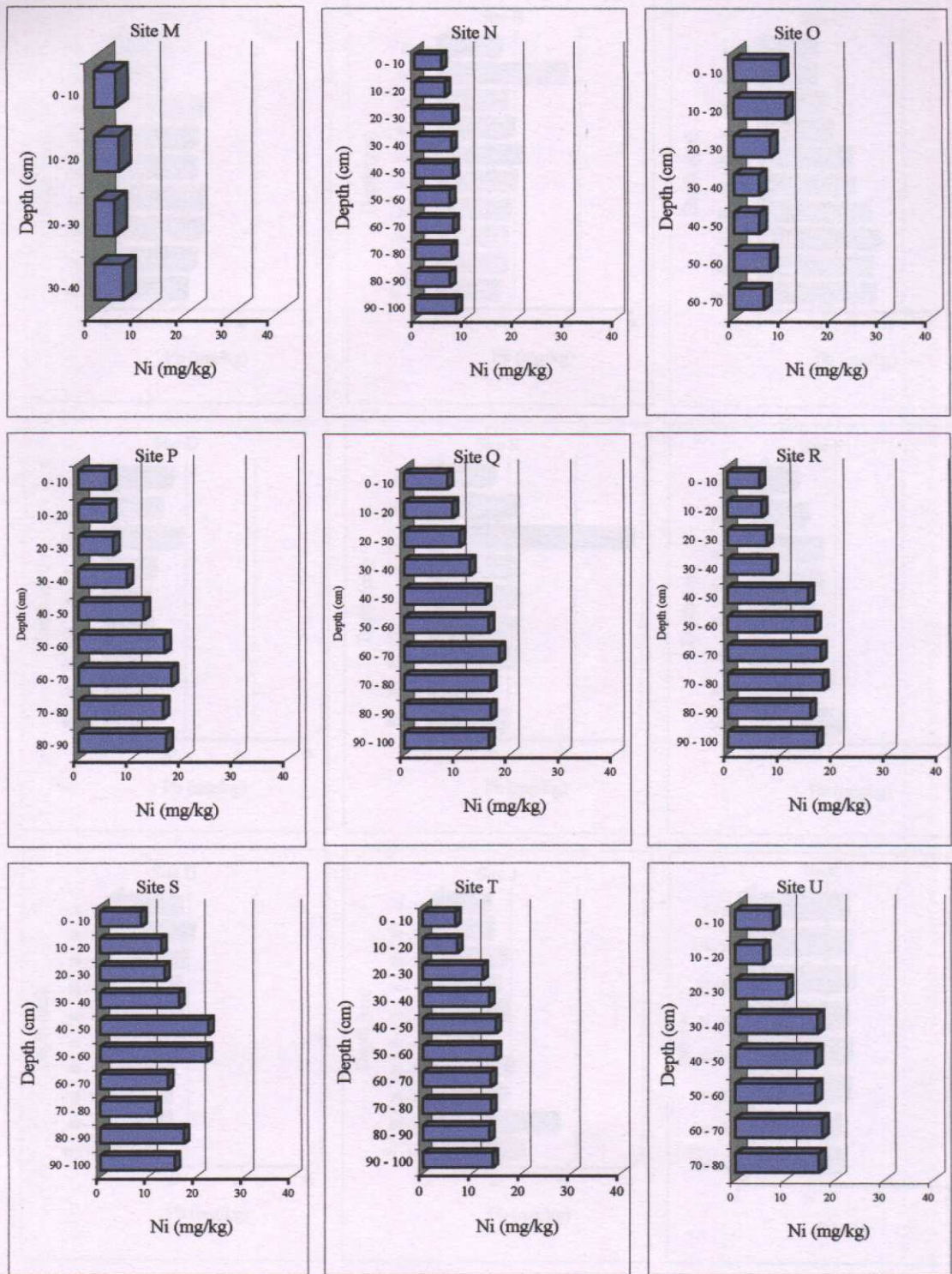
6. ความเข้มข้นของตะกั่ว

ความเข้มข้นของตะกั่วจากทุกส่วนและทุกรายดับความลึกพบว่าอยู่ในช่วง 10.6 - 73.7 mg/kg (ญี่ปุ่นที่ 3-9) และสำหรับความเข้มข้นเฉพาะระดับ O - 20 เซนติเมตร อยู่ในช่วง 13.0 - 46.3 mg/kg (ตารางที่ 3-1) ระดับความเข้มข้นน้อยในระดับต่างๆ ผลการศึกษาของ นาร์ค (2522) เผื่องอย่างพิเศษ สำหรับความเข้มข้นของตะกั่วในตะกอนผิวน้ำจากทะเลหลวงอยู่ในช่วง 31.5 - 73.7 mg/kg ทิ้งแม้ความเข้มข้นที่พบในการศึกษาครั้งนี้ และการศึกษาของ นาร์ค (2522) จะมีค่าสูงกว่าค่าเฉลี่ยของตะกอนและในตินทั่วโลก แต่ไม่อาจถือว่าเป็นความแตกต่างที่มั่นคงสำคัญ นอกจากนี้ เมื่อเปรียบเทียบกับตะกอนจากบริเวณที่มีการปนเปื้อน เช่น Teganuma Lake, Venice Lagoon, Ichi and Maruyama River และปากแม่น้ำเจ้าพระยา แล้วพบว่าตะกอนจากทะเลน้อยและทะเลหลวงมีความเข้มข้นของตะกั่วต่างกัน ตั้งนี้จึงสามารถสรุปได้ว่าระดับความเข้มข้นที่พบไม่อยู่ในระดับที่เป็นอันตรายต่อสิ่งมีชีวิต

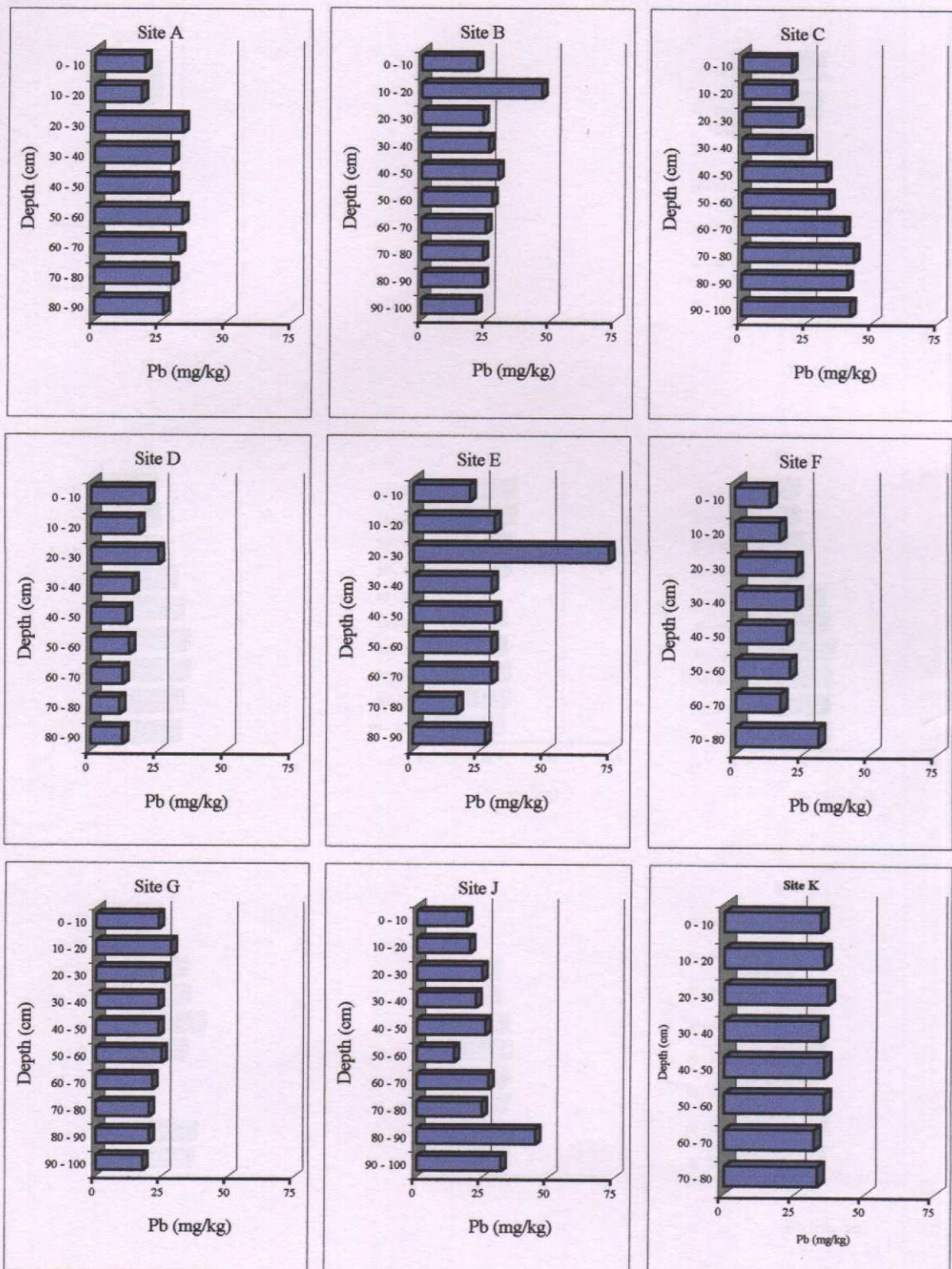
ความเข้มข้นของตะกั่วจากการศึกษาครั้งนี้พบว่าเปลี่ยนแปลงอยู่ในช่วงแคบ ๆ (27.1 ± 7.8 mg/kg ; mean \pm SD) ยกเว้นตะกอนจากส่วน B ที่ความลึก 10 - 20 เซนติเมตร และจากส่วน E ที่ความลึก 20 - 30 เซนติเมตร พบร้ามความเข้มข้นของตะกั่วสูงกว่าในตะกอนที่ความลึกอื่นมาก แสดงให้เห็นว่ามีการปนเปื้อนในส่วนตั้งกล่าว อย่างไรก็ตามระดับความเข้มข้นยังคงอยู่ในระดับที่ไม่เป็นอันตรายต่อสิ่งแวดล้อม



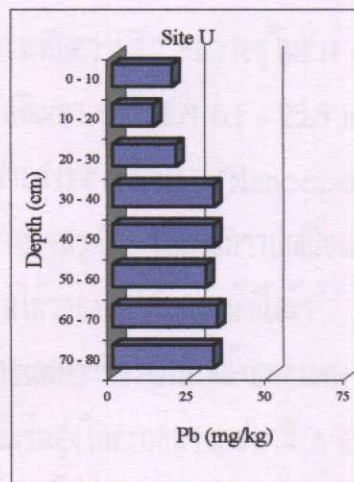
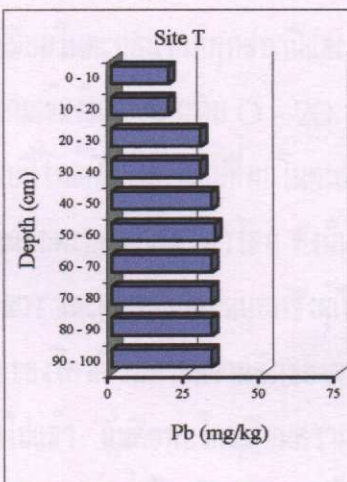
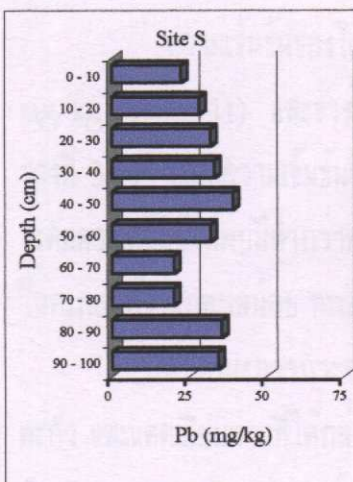
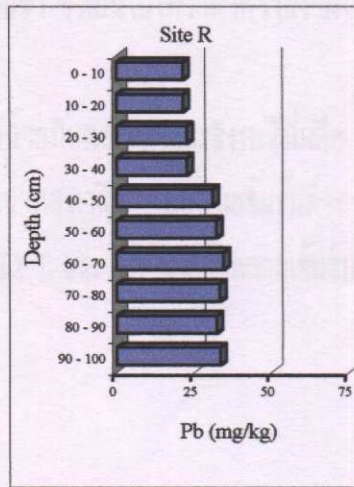
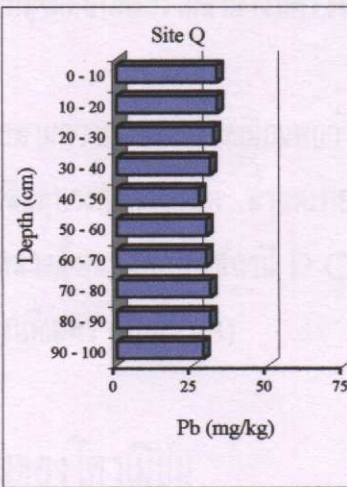
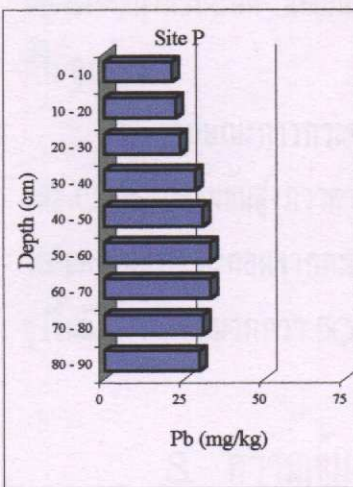
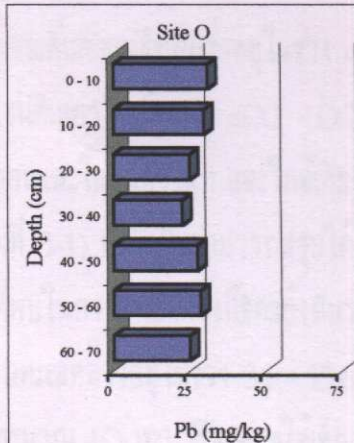
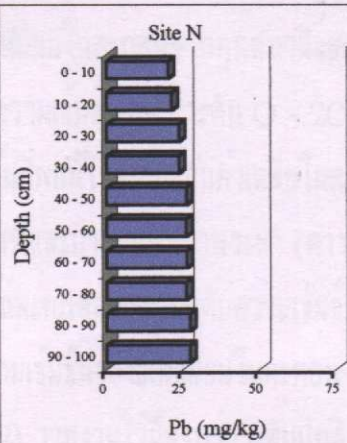
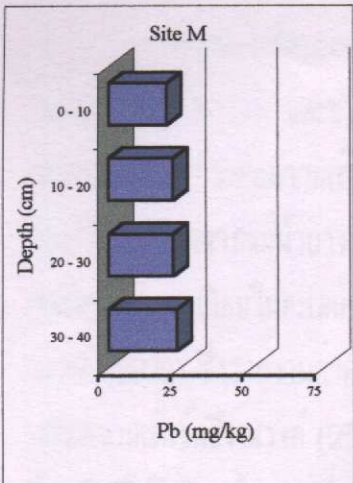
รูปที่ 3-8 ความเข้มข้นของนิเกล ในตะกอนจากทะเลดอนและทะเลลางที่ระดับความลึกต่าง ๆ



ຈົບທີ 3-8 (ໜອ)



รูปที่ 3-9 ความเข้มข้นของตะกั่วในตะกอนจากทะเลน้อยและทะเลลึกที่ระดับความลึกต่าง ๆ



ቍ 3-9 (ሀዕ)

7. ความเข้มข้นของแคดเมียม

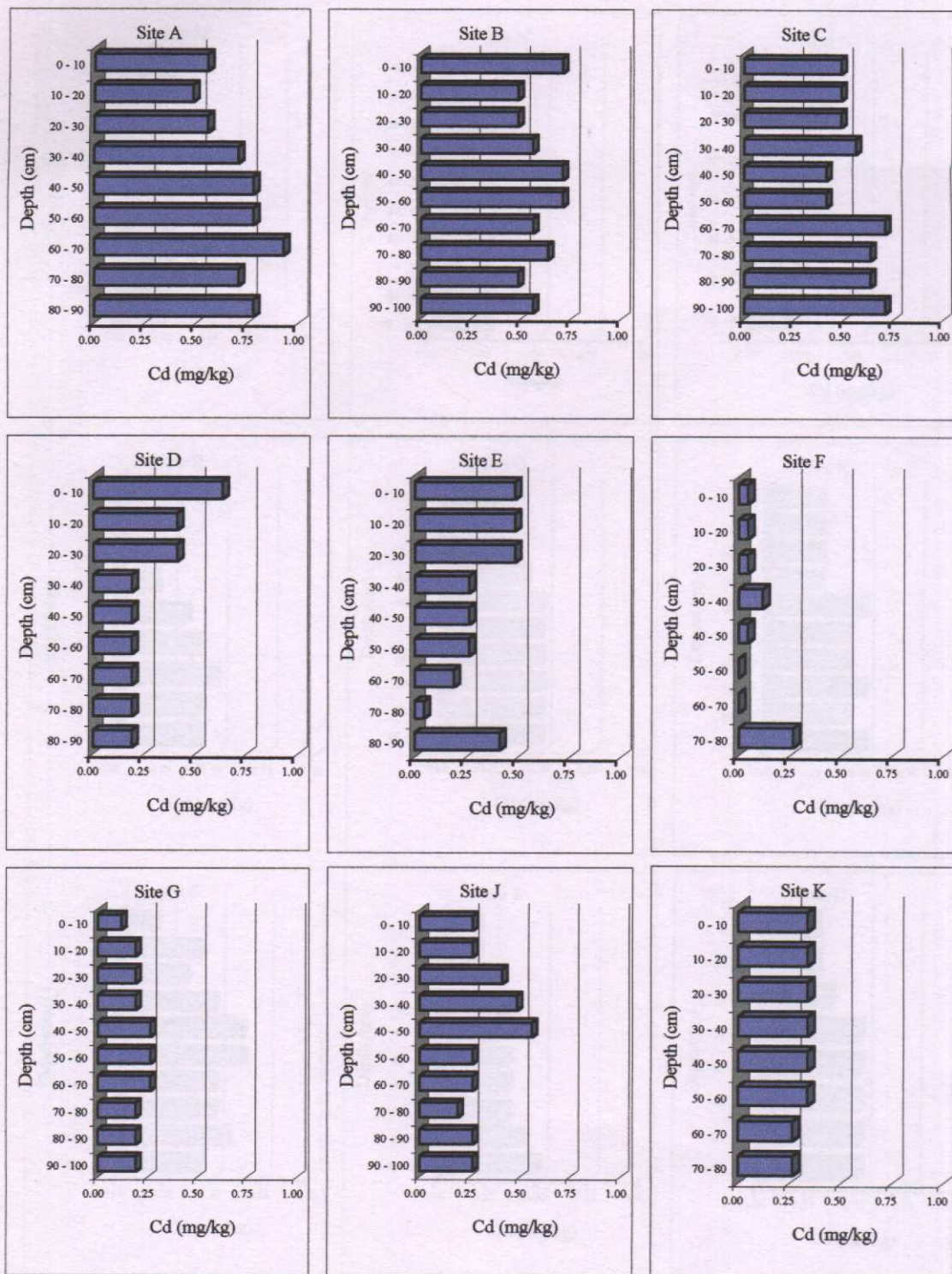
ความเข้มข้นของแคดเมียมในตะกอนจากทุกสถานีและทุกราชตั้บความลึกพบร้าอยู่ในช่วง $<0.1 - 0.9 \text{ mg/kg}$ (รูปที่ 3-10) และร่างความเข้มข้นเฉพาะระดับ O - 20 เซนติเมตร อยู่ในช่วง $<0.1 - 0.7 \text{ mg/kg}$ (ตารางที่ 3-1) ระดับความเข้มข้นที่พบนี้ใกล้เคียงกับค่าเฉลี่ยในตะกอนแหล่งใดๆ แต่ต่ำกว่าโลกลา และใกล้เคียงกับค่าที่รายงานไว้ในตะกอนจากแม่น้ำบางปะกงและปากแม่น้ำเจ้าพระยา (ตารางที่ 3-1) ตั้งนี้นิจสามารถสรุปได้ว่าไม่พบการปนเปื้อนของแคดเมียมในทะเลน้อยและทะเลกลาง ระดับความเข้มข้นที่พบในการศึกษาครั้งนี้ตัดแยกกับรายงานของผ่องค์ (2522) ใช้รายงานค่าความเข้มข้นของแคดเมียมในตะกอนจากทะเลกลางอยู่ในช่วง $21 - 15.6 \text{ mg/kg}$ ระดับความเข้มข้นผ่องค์ (2522) รายงานไว้สูงกว่าระดับปกติประมาณ 10 เท่า ซึ่งแสดงให้เห็นว่ามีการปนเปื้อนมากในช่วงนี้ แต่เป็นค่าที่สูงผิดปกติและไม่สามารถตรวจสอบได้ จึงเป็นไปได้ว่าค่าที่รายงานไว้อาจเป็นค่าที่ไม่ถูกต้อง

ลักษณะการกระจายตามความลึกของแคดเมียมพบร้าคล้ายกับทองแดงและสังกะสีน้ำเค็ม สถานี A B และ C มีความเข้มข้นสูงกว่าค่าเฉลี่ยทุกราชตั้บความลึก ส่วนตะกอนจากสถานี F มีความเข้มข้นต่ำกว่าค่าเฉลี่ยทุกราชตั้บความลึก ตะกอนจากทะเลกลางผู้หัวน้อยออก (สถานี P Q R T และ U) พบร้าความเข้มข้นของแคดเมียมสูงขึ้นเมื่อความลึกมากกว่า 50 เซนติเมตร (รูปที่ 3-8)

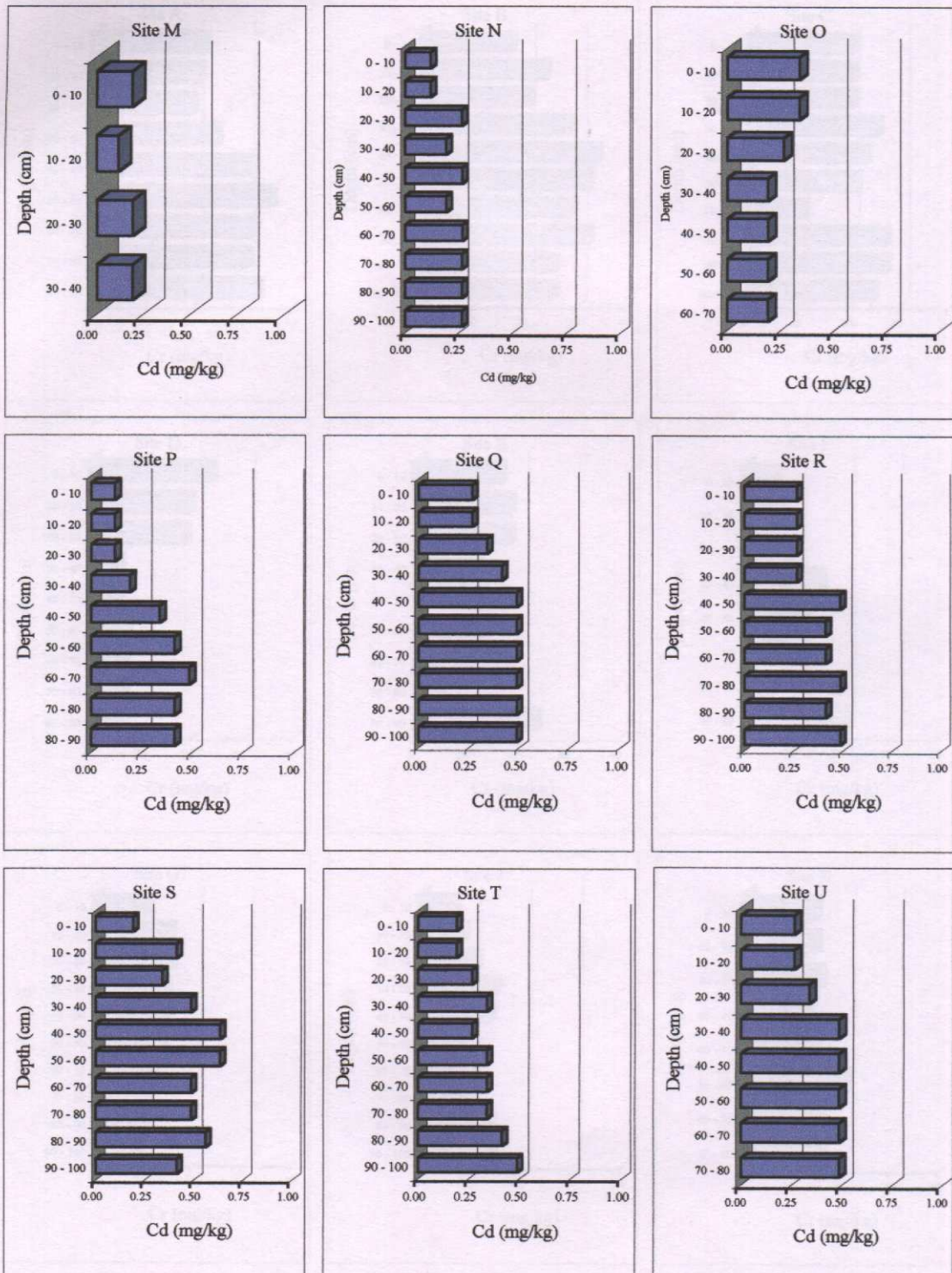
8. ความเข้มข้นของ โคโรเมียม

ความเข้มข้นของโคโรเมียมในตะกอนจากทุกสถานีและทุกราชตั้บความลึก พบร้าอยู่ในช่วง $4.3 - 35.3 \text{ mg/kg}$ (รูปที่ 3-11) และร่างความเข้มข้นเฉพาะระดับ O - 20 เซนติเมตร อยู่ในช่วง $6.1 - 25.8 \text{ mg/kg}$ (ตารางที่ 3-1) ระดับความเข้มข้นที่พบนี้ใกล้เคียงกับระดับที่พบในทะเลสาบสังขละกอนนอก (Maneepong, 1996) ระดับความเข้มข้นที่พบนี้ต่ำกว่าค่าเฉลี่ยตะกอนและต่ำกว่าโลกลา ตั้งนี้นิจอาจสรุปได้ว่าไม่พบการปนเปื้อนของโคโรเมียมในตะกอนที่จากทะเลน้อย ทะเลกลาง และทะเลสาบทอนนอกซึ่งพื้นที่ได้รายงานไปก่อนหน้านี้แล้ว

ลักษณะการกระจายของโคโรเมียมตามความลึกของตะกอนพบร้ามีลักษณะคล้ายกับทองแดง สังกะสี อะก้า และแคดเมียมตามที่ได้กล่าวไปแล้ว นั่นคือพบโคโรเมียมความเข้มข้นสูงในตะกอนจากสถานี A และ B ส่วนรากะนักของตะกอนจากทะเลกลางผู้หัวน้อยออกพบร้าโคโรเมียมมีความเข้มข้นสูงขึ้นเมื่อความลึกมากกว่า 40 เซนติเมตร แสดงให้เห็นว่ากิจกรรมของมนุษย์เพิ่มขึ้นรอบ ๆ ทะเลสาบ ไม่ส่งผลกระทบต่อระดับความเข้มข้นของโคโรเมียมในตะกอน



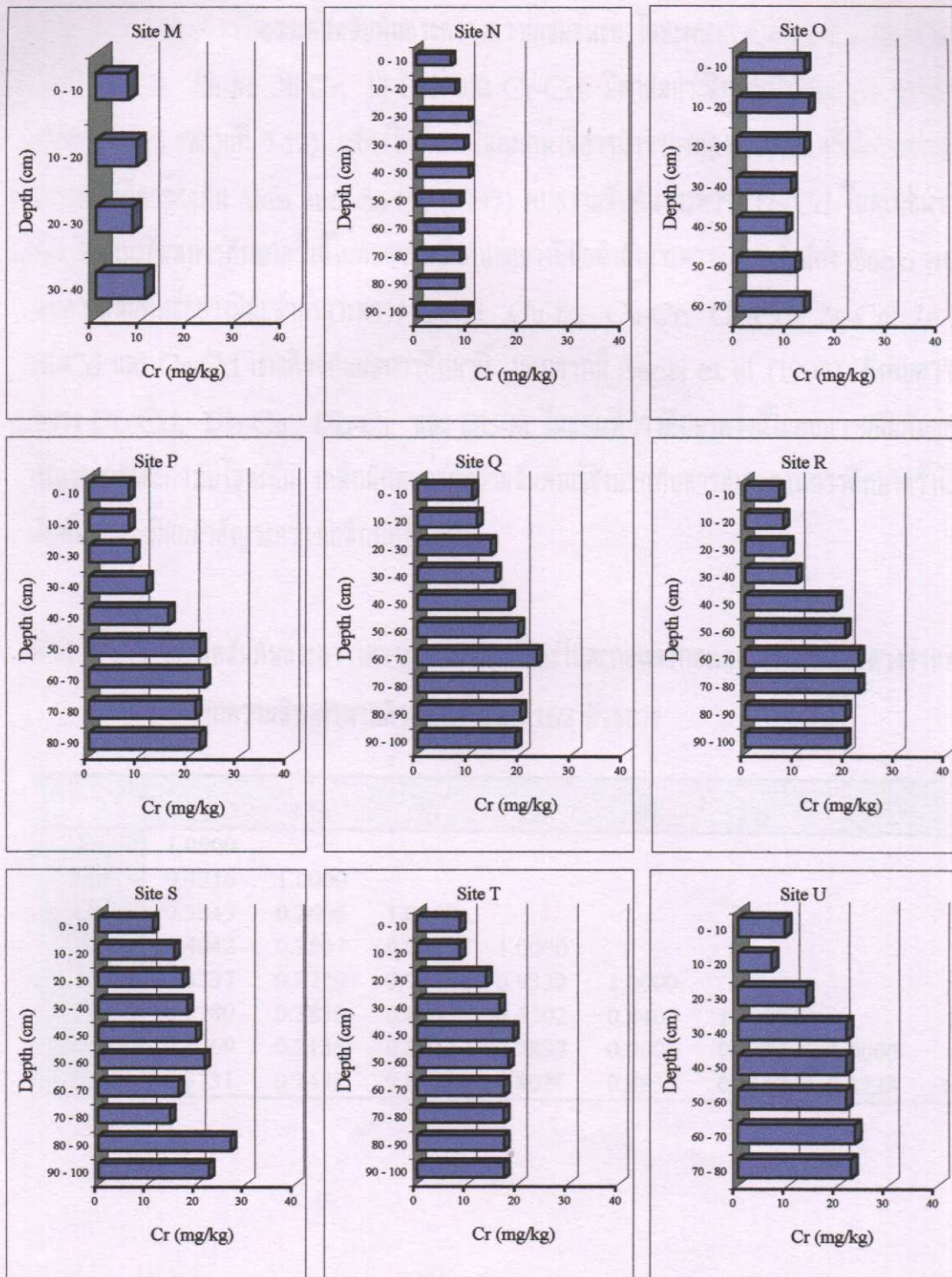
รูปที่ 3-10 ความเข้มข้นของแคดมิียม ในตะกอนจากทะเลน้อยและทะเลล้วนที่ระดับความลึกต่าง ๆ



ຈຸດ 3-10 (ໜອ)



รูปที่ 3-11 ความเข้มข้นของโครเมียมในตระกอนจากทะเลน้อยและทะเลหลวงที่ระดับความลึกต่าง ๆ



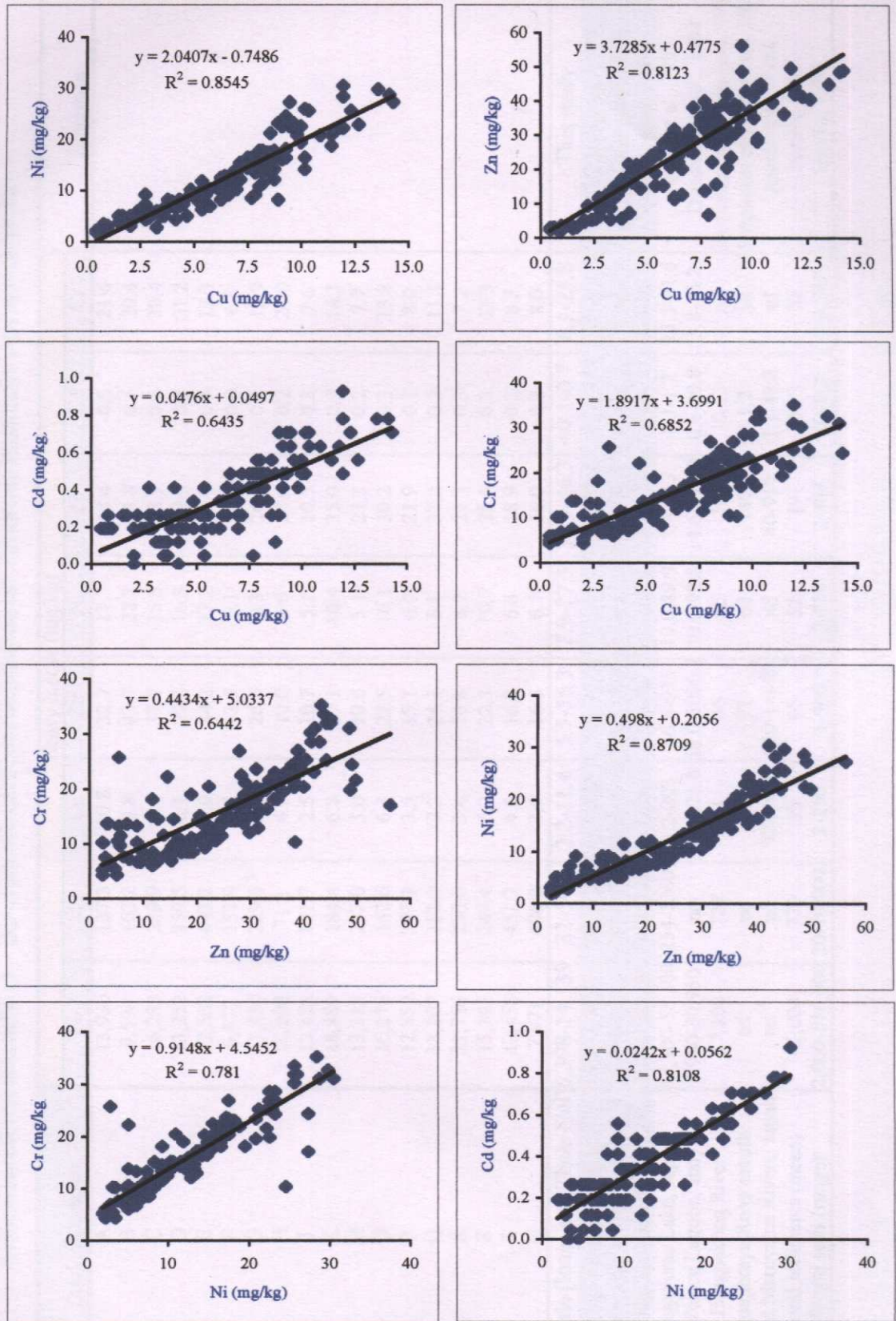
3-11 (๗๐)

9. สหสัมพันธ์ระหว่างโลหะ (matrix correlation)

จากการวิเคราะห์สหสัมพันธ์ระหว่างความเข้มข้นของโลหะพบว่า Cu-Ni, Cu-Zn, Cu-Cr, Cu-Cd, Zn-Cr, Zn-Ni, Ni-Cr, Ni-Cd และ Cr-Cd มีค่าสัมประสิทธิ์สหสัมพันธ์ (r) สูงอย่างมีนัยสำคัญ (ตารางที่ 3-2 และรูปที่ 3-12) แสดงให้เห็นว่าโลหะเหล่านี้อาจมาจากการหลังดีไซกัน หรือมีกระบวนการสารสืบในตะกอนที่เกี่ยวข้องกัน Alam and Sadiq (1993) พบความสัมพันธ์ระหว่าง Fe-Cd ในตะกอนจาก Antarctic ในขณะที่ผลการศึกษาครั้งนี้ไม่พบความสัมพันธ์อย่างมีนัยสำคัญระหว่างโลหะทั้งสอง Saeki et al. (1993) พบความสัมพันธ์อย่างมีนัยสำคัญระหว่าง Cu-Ni, Cu-Zn, Cu-Cr, Cu-Cd, Zn-Cr, Zn-Ni, Ni-Cr, Ni-Cd และ Cr-Cd เช่นเดียวกับผลการศึกษานี้ นอกจากนี้ Saeki et al. (1993) ยังพบความสัมพันธ์ระหว่าง Pb-Cd, Pb-Cu, Pb-Cr และ Pb-Ni ในขณะที่การศึกษาครั้งนี้ไม่พบความสัมพันธ์อย่างมีนัยสำคัญระหว่างตะกอนกับโลหะอื่น เหล็กมักพบว่ามีความสัมพันธ์เชิงบวกกับสารทั้ง แต่ในการศึกษาครั้งนี้ไม่พบความสัมพันธ์อย่างมีนัยสำคัญระหว่างเหล็กกับโลหะอื่น

ตารางที่ 3-2 สหสัมพันธ์ระหว่างความเข้มข้นของโลหะในตะกอนจากทะเลน้อยและทะเลหลวงจากทุกสถานีและทุกความลึก จำนวนตัวอย่างทั้งหมด 162 ตัวอย่าง

	Fe	Mn	Cu	Zn	Ni	Pb	Cd	Cr
Fe	1.0000							
Mn	0.4316	1.0000						
Cu	0.3843	0.2606	1.0000					
Zn	0.4042	0.2587	0.9013	1.0000				
Ni	0.3237	0.2729	0.9244	0.9332	1.0000			
Pb	0.5780	0.3830	0.4495	0.4502	0.4407	1.0000		
Cd	0.3069	0.2135	0.8022	0.7897	0.9005	0.4175	1.0000	
Cr	0.3731	0.2452	0.8278	0.8026	0.8837	0.4547	0.8233	1.0000



รูปที่ 3-12 ความสัมพันธ์ระหว่างความเข้มข้นของโลหะในตากอนจากแหล่งอุบลและแหล่งอื่นๆ

สรุป

ตะกอนจากทะเลน้อย โดยเฉพาะอย่างยิ่งบริเวณที่มีการสะสมของกริบหินมากพบว่า ความเข้มข้นของกองดอง สังกะสี นิกิล แคลดเมียม และโโคเมียม สูงกว่าตะกอนจากทะเลหลวง ลักษณะการสะสมของกองดอง และสังกะสีพบว่ามีแนวโน้มความล้มพังที่ร้าบากกับปริมาณอินทริวัตุในตะกอน

ความเข้มข้นของกองดองพบว่ามีความล้มพังที่ร้าบากอย่างมีนัยสำคัญกับความเข้มข้นของสังกะสี นิกิล แคลดเมียม และโโคเมียม ความเข้มข้นของสังกะสีพบว่ามีความล้มพังที่ร้าบากอย่างมีนัยสำคัญกับความเข้มข้นของ นิกิล และโโคเมียม สำหรับความเข้มข้นของนิกิลพบว่ามีความล้มพังที่ร้าบากอย่างมีนัยสำคัญกับความเข้มข้นของ แคลดเมียม และโโคเมียม แสดงให้เห็นว่าโลหะเหล่านี้อาจมาจากแหล่งเดิมกัน หรือมีกระบวนการการสะสมในตะกอนที่เกี่ยวข้องกัน ล้วนความเข้มข้นของเหล็ก แมงกานิส และตะกั่ว ไม่พบว่ามีความล้มพังที่ร้าบากอย่างเดือน

ระดับความเข้มข้นของเหล็ก แมงกานิส กองดอง สังกะสี นิกิล ตะกั่ว แคลดเมียม และโโคเมียม ในตะกอนที่จากการดูดซึมน้ำและทะเลหลวงพบว่าอยู่ในระดับปกติ ตั้งแต่นึงสำหรับกริบหินแล้วที่สำคัญและสหательสำหรับการใช้ประโยชน์จากการกรีดและการนำไปใช้ในภาคใต้ นอกจากนี้ยังไม่มีการเป็นปื่องของ โลหะเหล่านี้ในตะกอนที่จากการดูดซึมน้ำและทะเลหลวง

เอกสารอ้างอิง

นาร์ค น. เพียง ไฟ. 2522. รายงานผลการวิจัยโครงการทะเลสาบสงขลา 2521-2522. มหาวิทยาลัยสงขลานคร-

รัตน์และสำนักงานคณะกรรมการสิ่งแวดล้อมแห่งชาติ.

Alam, I. A. and Sadiq, M. 1993. Metal concentrations in Antarctic sediment samples collected during the Trans-Antarctica 1990 expedition. Mar. Pollut. Bull., 26: 523-527.

Asami, T., Honma, S., Tanabe, K. and Hata, A. 1981. Pollution of Ichi and Maruyama River sediments from discharging of Cd, Zn, Pb and Cu from Namano mining. Jap. J. Soil Sci. Plant Nutr., 52:433-438. (in Japanese)

Bryan, G.W. and Langston, W.J. 1992. Bioavailability, accumulation and effects of heavy metals in sediments with special reference to United Kingdom estuaries : a review. Environ. Pollut., 76:89-131.

Donazzolo, R., Orio, A.A., Pavoni, B. and Perin, G. 1984. Heavy metals in sediments of the Venice Lagoon, Oceanologica Acta, 7:25-32.

French, D.W. 1993. Post-industrial pollutant levels in contemporary Severn Estuary intertidal sediments, compared to pre-industrial levels. Mar. Pollut. Bull., 26:30-35.

Goldberg, G.D. 1992. Marine metal pollutants : A small set, Mar. Pollut. Bull., 25:45-47.

Han, B.C. and Hung, T.C. 1990. Green oysters caused by copper pollution on the Taiwan coast, Environ. Pollut., 65:347-362.

Imura, Y. 1991. History of heavy metal pollution. In Pollution of Toxic Metals in Soil, Japanese Soil Science and Plant Nutrition Society, Hakuyusha, Tokyo, p. 7-42. (in Japanese)

Maneepong, S. 1996. Distribution of heavy metals in sediments from outer part of Songkhla Lagoon, southern Thailand, Songklanakarin J. Sci. Technol., 18:87-97.

- Maneepong, S. and Aungsupanich, S. 1998. Concentration of Arsenic and Heavy Metals in Sediments and Aquatic Fauna from the Outer Part of Songkhla Lagoon, Phawong and U Taphao Canals. *Songklanakarin J. Sci. Technol.*, 20: (in print)
- Nachiangmai, N. 1979. Report of Songkla Lake Research Project, 1978-1979. Prince of Songkla University and National Environment Board of Thailand. (in Thai)
- Petpiroon, P. and Petpiroon, S. 1996. Distribution of heavy metals in the Bangpakong River and their variation at the mouth of the river. Proc. 3rd international symposium of ETERNET-APR, Chulalongkorn University, Bangkok, Thailand, Oct. 3-9, 1996: III-8 - III-16.
- Sacki, K., Okazaki, M. and Kubota, M. 1993. Heavy metal accumulations in a semi-enclosed hypereutrophic system: Lake Teganuma, Japan. Part 2 Heavy metal accumulation in sediments. *Water, Air, and Soil Pollution* 69:79-91.
- Sparks, D.L. 1995. Environmental Soil Chemistry. Academic Press, San Diago, p 24-25.

ภาคผนวก

ตาราง พ. ๑

ผลการวิเคราะห์ความเป็นการเดี่ยวๆ อินทรีย์ตัด ในการเจน

ฟอสฟอรัส และโพแทสเซียม

ตารางที่ ๕๑ สมบัติและองค์ประกอบทางเคมีของตะกอนจากทะเลเด่นชัยและทะเลหลวง

Station	Depth (cm)	pH in H ₂ O (1:2.5)	Ignition loss (%)	Organic C (%)	Organic matter (%)	Total N (%)	Total P (mg/kg)	Total K (mg/kg)	Total S (mg/kg)
A	0 - 10	3.16	21.81	9.83	16.94	0.142	231.72	1,502	12,997
	10 - 20	3.36	17.03	8.55	14.74	0.389	136.37	1,969	9,785
	20 - 30	3.23	18.86	10.13	17.46	0.318	116.20	3,258	18,238
	30 - 40	2.62	22.30	8.82	15.21	0.264	185.60	3,451	26,338
	40 - 50	2.91	20.41	11.73	20.22	0.185	168.10	3,635	30,529
	50 - 60	2.93	22.15	12.55	21.64	0.194	108.11	3,848	20,579
	60 - 70	3.12	13.74	7.29	12.56	0.135	125.14	4,047	16,874
	70 - 80	nd	20.44	12.21	21.05	0.221	141.40	4,246	17,898
	80 - 90	nd	19.98	11.11	19.16	0.223	130.71	8,280	24,069
B	0 - 10	3.29	22.58	11.40	19.66	0.486	162.45	2,372	12,426
	10 - 20	3.52	21.45	10.18	17.55	0.693	126.91	1,675	7,779
	20 - 30	2.74	29.03	14.94	25.75	0.583	118.51	3,984	19,539
	30 - 40	3.09	17.51	8.74	15.06	0.218	121.00	3,769	12,537
	40 - 50	3.21	21.86	12.00	20.69	0.258	95.11	3,378	12,437
	50 - 60	2.68	19.60	10.55	18.19	0.171	72.97	3,826	12,927
	60 - 70	2.70	20.79	11.49	19.80	0.182	125.89	3,620	16,767
	70 - 80	2.81	24.29	13.79	23.77	0.203	160.55	3,232	15,289
	80 - 90	3.04	29.22	15.99	27.56	0.329	158.02	2,852	23,148
	90 - 100	3.13	32.18	17.41	30.02	0.137	78.83	3,976	9,903
C	0 - 10	3.22	12.87	5.91	10.18	0.365	142.58	1,878	10,911
	10 - 20	3.63	18.40	9.60	16.55	0.329	151.22	1,647	6,044
	20 - 30	3.73	19.83	9.93	17.11	0.319	75.30	2,058	7,436
	30 - 40	3.5	11.52	5.59	9.63	0.202	79.49	2,316	9,453
	40 - 50	3.71	7.11	3.49	6.01	0.088	80.12	3,287	5,327
	50 - 60	4.48	6.22	2.01	3.46	0.059	114.35	3,861	5,338
	60 - 70	6.13	5.99	1.71	2.94	0.056	103.87	3,424	6,109
	70 - 80	6.47	6.45	1.63	2.81	0.058	122.21	3,422	4,317
	80 - 90	6.63	6.62	1.54	2.65	0.061	164.41	3,482	3,683
	90 - 100	6.81	6.56	1.46	2.52	0.061	82.51	1,748	2,865
D	0 - 10	3.66	30.27	14.11	24.33	0.246	82.36	2,416	5,704
	10 - 20	3.28	12.89	6.53	11.25	0.178	148.69	1,294	12,450
	20 - 30	3.15	21.98	4.16	7.18	0.084	43.16	1,228	6,151
	30 - 40	3.17	4.02	2.63	4.53	0.037	50.35	1,387	4,826
	40 - 50	3.14	3.46	0.84	1.45	0.027	30.65	1,362	6,908

ตารางที่ ๑ (ต่อ)

Station	Depth (cm)	pH in H ₂ O (1:2.5)	Ignition loss (%)	Organic C (%)	Organic matter (%)	Total N (%)	Total P (mg/kg)	Total K (mg/kg)	Total S (mg/kg)
D	50 - 60	3.31	4.43	1.44	2.49	0.047	32.94	1,572	5,280
	60 - 70	3.44	3.10	0.66	1.13	0.024	35.24	1,321	5,844
	70 - 80	3.90	3.35	0.58	1.00	0.021	34.73	1,133	4,976
	80 - 90	4.52	4.11	0.58	1.00	0.026	56.86	1,298	5,582
E	0 - 10	3.85	15.30	8.03	13.84	0.398	94.73	3,360	8,915
	10 - 20	3.21	19.86	10.03	17.30	0.396	116.66	1,948	16,219
	20 - 30	3.26	15.49	8.96	15.45	0.258	32.94	1,374	6,309
	30 - 40	3.27	8.92	5.94	10.25	0.074	90.94	4,085	15,546
	40 - 50	3.65	8.03	5.46	9.41	0.076	88.27	3,265	11,961
	50 - 60	3.49	8.64	3.73	6.43	0.095	103.40	4,566	12,748
	60 - 70	3.33	9.45	4.48	7.73	0.116	64.95	1,173	33,074
	70 - 80	3.47	16.01	8.96	15.45	0.204	74.48	1,375	6,137
	80 - 90	4.30	25.09	12.96	22.34	0.343	177.36	4,207	16,700
F	0 - 10	3.76	4.00	2.38	4.11	0.062	63.94	1,002	3,819
	10 - 20	3.98	3.76	2.21	3.81	0.066	53.62	1,314	2,687
	20 - 30	3.8	7.16	4.20	7.24	0.099	75.15	1,648	7,162
	30 - 40	4.02	14.10	6.71	11.57	0.194	100.45	2,269	13,115
	40 - 50	3.73	11.12	6.00	10.34	0.139	79.48	2,345	7,256
	50 - 60	3.29	5.14	2.81	4.85	0.059	46.88	1,524	6,787
	60 - 70	3.13	3.00	1.35	2.33	0.029	62.25	1,334	3,957
	70 - 80	3.35	2.44	0.96	1.65	0.025	36.54	702	6,595
G	0 - 10	3.53	6.45	3.47	5.98	0.111	139.04	1,305	4,658
	10 - 20	3.95	8.54	4.20	7.24	0.118	102.42	2,099	6,749
	20 - 30	4.22	8.56	4.73	8.15	0.036	85.68	1,952	7,503
	30 - 40	3.86	9.22	5.18	8.92	0.126	73.23	2,342	9,291
	40 - 50	3.07	9.64	5.42	9.34	0.074	117.67	2,182	16,975
	50 - 60	3.07	11.85	5.38	9.28	0.124	140.72	2,346	17,423
	60 - 70	2.72	10.89	4.76	8.21	0.097	123.82	1,682	15,621
	70 - 80	2.97	7.66	5.03	8.66	0.105	135.82	1,662	13,607
	80 - 90	3.12	8.47	4.89	8.44	0.103	98.68	1,436	12,450
	90 - 100	3.29	8.85	4.91	8.47	0.115	80.93	1,283	8,915
H	0 - 10	4.94	5.54	1.13	1.94	0.077	153.77	1,288	4,895
	10 - 20	5.16	4.48	0.38	0.65	0.026	91.10	1,452	2,954

ตารางที่ ๑ (ต่อ)

Station	Depth (cm)	pH in H ₂ O (1:2.5)	Ignition loss (%)	Organic C (%)	Organic matter (%)	Total N (%)	Total P (mg/kg)	Total K (mg/kg)	Total S (mg/kg)
J	0 - 10	5.54	2.61	0.47	0.81	0.047	184.07	1,052	31,087
	10 - 20	3.65	3.05	0.67	1.15	0.042	48.47	1,026	5,529
	20 - 30	3.70	8.21	3.76	6.49	0.092	160.83	1,545	42,823
	30 - 40	4.10	29.30	13.66	23.55	0.303	302.75	2,199	60,729
	40 - 50	4.38	27.88	11.99	20.68	0.285	146.86	2,391	43,478
	50 - 60	3.29	6.82	1.57	2.70	0.049	22.62	731	17,560
	60 - 70	3.71	3.98	0.27	0.47	0.021	49.45	958	22,829
	70 - 80	5.13	4.57	0.20	0.34	0.019	95.15	768	29,357
	80 - 90	5.54	6.93	0.16	0.27	0.022	92.51	798	20,579
	90 - 100	5.90	7.74	0.14	0.24	0.029	153.83	1,009	30,423
K	0 - 10	6.14	5.85	1.88	3.23	0.141	117.77	1,995	5,421
	10 - 20	6.58	6.45	1.71	2.94	0.144	245.51	1,931	4,813
	20 - 30	6.79	6.37	1.69	2.91	0.156	233.25	1,951	4,197
	30 - 40	7.29	6.23	1.63	2.81	0.145	271.50	1,655	3,908
	40 - 50	7.95	5.67	1.31	2.26	0.095	242.07	1,968	4,628
	50 - 60	6.79	2.57	1.59	2.75	0.085	135.87	1,797	4,771
	60 - 70	7.42	1.95	0.86	1.49	0.041	160.00	1,702	4,640
	70 - 80	7.50	2.42	0.45	0.78	0.041	207.56	1,762	5,168
M	0 - 10	6.92	2.97	0.41	0.71	0.054	129.48	1,062	21,779
	10 - 20	4.3	3.13	0.43	0.74	0.036	42.86	1,293	5,063
	20 - 30	4.44	3.93	0.27	0.47	0.027	88.25	1,171	11,618
	30 - 40	4.41	4.15	0.24	0.41	0.025	91.66	1,047	36,526
N	0 - 10	6.26	3.76	0.63	1.08	0.061	137.84	1,283	3,315
	10 - 20	6.50	3.41	0.69	1.18	0.059	152.06	1,076	3,540
	20 - 30	6.89	3.15	0.94	1.62	0.054	101.60	1,209	8,444
	30 - 40	5.89	5.29	0.96	1.66	0.054	79.01	1,814	15,863
	40 - 50	5.49	3.48	0.90	1.55	0.047	78.30	1,308	4,117
	50 - 60	6.09	4.06	0.96	1.66	0.050	228.35	1,435	54,606
	60 - 70	6.26	3.56	0.74	1.28	0.052	183.70	1,588	39,915
	70 - 80	6.56	3.66	0.90	1.55	0.050	58.15	1,647	4,052
	80 - 90	6.48	3.62	0.90	1.55	0.053	175.01	1,896	12,704
	90 - 100	6.05	3.45	0.86	1.49	0.049	237.29	1,393	29,576

ตารางที่ ๑ (ต่อ)

Station	Depth (cm)	pH in H ₂ O (1:2.5)	Ignition loss (%)	Organic C (%)	Organic matter (%)	Total N (%)	Total P (mg/kg)	Total K (mg/kg)	Total S (mg/kg)
O	0 - 10	5.94	1.40	2.85	4.91	0.115	220.45	1,791	7,006
	10 - 20	4.43	1.23	3.94	6.79	0.095	52.21	2,223	7,641
	20 - 30	3.41	0.84	2.06	3.56	0.040	116.97	2,040	11,199
	30 - 40	3.46	1.21	1.33	2.30	0.024	76.83	2,157	6,221
	40 - 50	3.99	3.81	1.82	3.14	0.032	60.34	1,041	11,315
	50 - 60	4.56	6.84	1.35	2.33	0.038	108.93	1,691	7,965
	60 - 70	5.35	7.45	1.18	2.04	0.035	81.75	1,764	5,024
P	0 - 10	5.86	9.34	1.28	2.20	0.089	97.80	1,603	2,354
	10 - 20	5.62	7.94	1.50	2.59	0.080	140.65	1,058	4,741
	20 - 30	5.16	4.35	1.28	2.20	0.051	118.42	929	5,436
	30 - 40	3.59	5.09	1.89	3.27	0.055	69.30	1,697	7,211
	40 - 50	4.14	3.34	5.04	8.70	0.078	79.62	3,744	20,799
	50 - 60	3.77	2.28	4.91	8.47	0.104	73.23	856	5,108
	60 - 70	3.89	3.18	5.48	9.44	0.106	88.46	872	2,568
	70 - 80	5.33	3.16	6.94	11.96	0.136	216.69	4,156	23,574
	80 - 90	4.72	5.12	6.19	10.67	0.120	113.28	4,071	12,428
Q	0 - 10	5.80	2.54	1.31	2.26	0.096	185.89	1,127	2,978
	10 - 20	5.65	1.91	1.28	2.20	0.077	79.81	455	13,693
	20 - 30	4.65	1.90	1.58	2.72	0.071	100.23	1,877	12,699
	30 - 40	3.66	4.34	3.00	5.17	0.087	77.99	1,974	7,125
	40 - 50	2.74	11.60	6.84	11.79	0.128	114.85	3,316	18,900
	50 - 60	3.47	13.46	7.73	13.32	0.114	117.23	3,972	49,718
	60 - 70	3.18	15.58	8.06	13.90	0.079	95.18	2,466	14,384
	70 - 80	4.24	13.15	6.73	11.61	0.103	105.44	3,814	15,427
	80 - 90	3.31	5.38	7.21	12.43	0.104	136.97	4,597	16,575
	90 - 100	3.09	12.74	6.30	10.86	0.105	151.50	3,846	13,346
R	0 - 10	5.01	3.04	1.16	2.00	0.070	94.27	1,349	2,538
	10 - 20	4.79	2.82	1.05	1.81	0.054	235.60	1,055	2,679
	20 - 30	4.09	2.92	1.29	2.23	0.040	62.87	1,197	4,076
	30 - 40	4.58	2.70	0.96	1.65	0.032	41.08	1,175	2,688
	40 - 50	6.01	5.52	1.50	2.59	0.044	83.02	3,387	7,853
	50 - 60	6.60	6.26	1.46	2.52	0.058	152.32	4,198	9,508
	60 - 70	7.26	4.50	1.33	2.30	0.037	143.05	2,408	7,296

ตารางที่ ๑ (ต่อ)

Station	Depth (cm)	pH in H ₂ O (1:2.5)	Ignition loss (%)	Organic C (%)	Organic matter (%)	Total N (%)	Total P (mg/kg)	Total K (mg/kg)	Total S (mg/kg)
R	70 - 80	7.56	9.51	1.33	2.30	0.048	182.16	3,110	7,790
	80 - 90	7.79	5.96	1.31	2.26	0.040	141.11	4,010	6,140
	90 - 100	7.82	22.66	1.13	1.94	0.053	145.16	2,038	6,612
S	0 - 10	3.48	5.73	2.64	4.56	0.091	82.21	1,151	6,984
	10 - 20	2.91	10.91	5.40	9.31	0.122	92.19	1,166	13,998
	20 - 30	3.52	10.22	4.97	8.57	0.117	143.08	3,469	10,304
	30 - 40	2.44	20.88	10.84	18.69	0.180	126.57	2,458	24,419
	40 - 50	2.36	24.94	11.78	20.30	0.203	177.09	3,487	40,133
	50 - 60	2.74	29.50	15.86	27.35	0.255	128.01	903	14,356
	60 - 70	4.02	43.68	20.98	36.17	0.287	306.04	1,369	8,739
	70 - 80	4.55	39.26	21.86	37.69	0.266	721.08	4,559	50,376
	80 - 90	3.72	14.46	8.23	14.19	0.129	38.72	1,346	5,801
	90 - 100	3.09	9.39	6.00	10.34	0.087	49.55	2,183	4,653
T	0 - 10	5.79	2.69	0.94	1.62	0.081	115.55	1,303	3,803
	10 - 20	4.62	2.47	0.92	1.59	0.046	44.49	693	2,983
	20 - 30	5.11	5.59	2.00	3.45	0.052	107.76	3,634	9,508
	30 - 40	3.66	5.49	1.92	3.31	0.053	47.72	1,603	6,546
	40 - 50	5.96	5.66	1.94	3.35	0.057	117.30	2,270	7,835
	50 - 60	6.11	6.19	2.19	3.78	0.060	193.72	3,197	12,378
	60 - 70	6.20	6.24	2.06	3.55	0.060	149.38	2,292	8,077
	70 - 80	6.26	6.59	2.29	3.95	0.126	131.21	2,222	10,783
	80 - 90	4.45	5.55	3.06	5.27	0.074	135.55	2,013	5,794
	90 - 100	5.46	7.56	3.74	6.45	0.089	171.28	4,383	37,043
U	0 - 10	5.45	3.08	0.98	1.69	0.092	113.81	1,232	3,405
	10 - 20	5.51	1.82	0.43	0.74	0.034	84.79	886	6,465
	20 - 30	6.23	3.15	0.63	1.08	0.041	283.30	3,131	89,187
	30 - 40	7.10	5.60	0.76	1.32	0.050	261.21	1,925	17,330
	40 - 50	7.35	5.33	0.88	1.52	0.045	276.54	2,027	6,652
	50 - 60	7.74	8.12	0.92	1.59	0.048	210.03	2,206	6,524
	60 - 70	7.82	8.34	0.84	1.45	0.052	147.91	1,308	3,383
	70 - 80	7.98	8.03	0.88	1.52	0.051	240.49	3,112	5,932
<i>Max</i>		7.82	43.68	21.86	37.69	0.69	721.08	8,280	89,187
<i>Min</i>		3.04	0.84	0.14	0.24	0.02	22.62	455	2,354
<i>Mean</i>		4.87	9.78	4.59	7.91	0.12	125.22	2,188	12,996
<i>SD</i>		1.62	8.28	4.60	7.92	0.11	75.99	1,166	12,504

ຕາՐາງ ພ. ເກ

ພລກາຣີເຄຣະທ່ເຫສົ້າ ແມງການິສ ຖອງແຕງ ສັງກະລຸ ນິກິລ
ຕະກຳ ແຄດເມືຍນ ແລະ ໂຄຮເມືຍນ

ตารางที่ ๘.๒ (ต่อ)

Station	Depth (cm)	Heavy metals (mg/kg)							
		Fe	Mn	Cu	Zn	Ni	Pb	Cd	Cr
D	50 - 60	9657	77.46	0.97	3.64	2.86	14.18	0.19	6.93
	60 - 70	6486	77.13	0.62	3.11	2.22	11.81	0.19	6.07
	70 - 80	12553	342.77	0.44	2.98	2.22	10.62	0.19	6.07
	80 - 90	14632	534.35	0.44	2.46	2.22	11.81	0.19	4.34
E	0 - 10	22019	400.30	7.86	33.22	14.82	21.31	0.49	16.45
	10 - 20	22985	486.09	10.00	35.11	19.49	30.83	0.49	18.20
	20 - 30	23549	534.49	8.39	34.48	15.48	73.69	0.49	18.20
	30 - 40	25525	730.31	6.44	29.84	12.84	29.63	0.27	12.12
	40 - 50	21117	807.36	6.97	31.52	13.50	30.82	0.27	12.98
	50 - 60	20491	757.82	6.97	28.78	13.17	29.63	0.27	13.85
	60 - 70	20374	708.51	6.97	28.33	13.17	29.64	0.19	14.72
	70 - 80	6508	104.85	2.02	5.09	3.49	16.56	0.04	4.34
	80 - 90	13944	741.45	9.82	37.16	20.84	27.26	0.41	23.43
F	0 - 10	6599	183.17	3.43	11.72	5.08	13.00	0.04	6.07
	10 - 20	6755	132.61	3.61	15.23	5.08	16.56	0.04	6.93
	20 - 30	9399	184.06	5.38	15.38	6.36	22.51	0.04	9.52
	30 - 40	14247	2402.94	8.75	20.57	12.18	22.50	0.12	15.15
	40 - 50	10711	295.40	7.68	13.82	8.61	18.94	0.04	11.61
	50 - 60	7477	162.29	4.14	7.43	4.44	20.13	0.00	7.19
	60 - 70	8122	104.49	2.02	4.72	3.17	16.57	0.00	5.42
	70 - 80	21530	752.59	8.57	33.16	17.48	30.83	0.27	20.47
G	0 - 10	10712	253.51	5.20	23.08	7.97	23.69	0.12	10.72
	10 - 20	11388	205.61	6.08	29.88	10.55	28.44	0.19	15.15
	20 - 30	12496	197.29	5.73	27.59	10.23	26.08	0.19	15.16
	30 - 40	13382	200.52	5.38	24.72	9.58	23.70	0.19	14.27
	40 - 50	16249	216.14	5.37	24.86	10.23	23.69	0.27	14.26
	50 - 60	18110	194.44	5.20	24.12	9.26	24.88	0.27	13.38
	60 - 70	14712	144.39	4.49	21.32	7.97	21.32	0.27	11.61
	70 - 80	14045	118.93	4.49	20.28	7.64	20.13	0.19	10.72
	80 - 90	12251	117.03	4.32	19.71	7.32	20.13	0.19	10.73
	90 - 100	10273	76.06	4.14	18.40	6.68	17.75	0.19	8.95
H	0 - 10	24139	109.77	4.67	14.53	5.08	37.97	0.27	22.25
	10 - 20	21257	32.53	3.26	5.53	2.86	17.75	0.12	25.79

